

少 金

第2回 第1号 昭和10年1月

- | | | | | |
|------------|-----------------------|-------------|---------------|-------------|
| 1. 土木工学(1) | 3. 土質工学(6) | 4. 水理(11) | 5. 測量(1) | |
| 6. 材料(14) | 7. リンガート及鋼筋コンクリート(16) | 8. 施工(20) | 9. 橋梁及構造物(25) | |
| 10. 河川(13) | 11. 小力發電(1) | 12. 輸送(49) | 13. 上水道(50) | 14. 下水道(53) |
| 15. 港湾(51) | 16. 道路(57) | 17. 都市計画(1) | 18. 鐵道(58) | 19. 駆道(59) |
| 20. 雜(1) | | | | |

() 内は本號頁を示す。

2. 用 力 學

偏心壓縮を受けた鋼棒の耐荷力の近似計算

(K. Ježek, "Näherungsberechnung der Tragkraft exzentrisch gedrückter Stahlstäbe", Stahlbau, 7. Juni 1935, S. 89~90.)

偏心壓縮を受けた棒の強度的な斷面決定は鋼構造の重要な問題である。最大総應力が斯る棒の相應力を決定する上では、専門家は誤りである。即ち中心断面及び曲げを受けた鋼棒の耐荷力は、完全な應力に依りて定まるのではなく、材料の特性に依りて條件付けられる不安定平衡に依りて定まるものである。偏心壓縮を受けた棒の耐荷力は平衡問題に依り決定される事を始めて示したのは Kármán である。その後、Krohn, Roß-Brunner 及び Hartmann 等の研究がある。

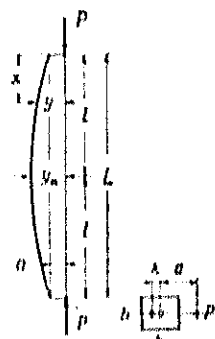
此の研究は彈性塑性理論軌跡によつてある爲に簡単な假定、何一ば理想塑性の假定と、曲げを受ける場合断面が平面のまゝ残ると云ふ假定によつて解析計算が可能である。此の假定は確率率が 10 倍位の場合には充分正しい。著者は此の假定の下に偏心壓縮を受けた棒の平衡問題を解析的に厳密に解き、更に集中横荷重及び等分布横荷重をうけた偏心壓縮の嚴密な計算を行つた。此の研究は偏心壓縮を受けた棒は鉛支承の棒及び直角性棒の周囲の荷重の場合に限つた。理想塑性の假定により硬化規則を無視したが、之は實際上耐荷力の大きさに影響を有しない。又それは硬化作用が起る前で不安定平衡に達するからである。降伏點迄 Hooke の法則に従ふと假定したところでは、降伏點迄の距離は中央荷重(鉛直)の場合が最大で偏心度に随ずるに従ひ減少する。又その調査は實際上許容率、單に理論的興味をそへるに過ぎない。

然し乍ら、嚴密な解析的解法は非常に手数を要し、實際に適しない。提つて次に理想應力塑形線の假定の下に、偏心壓縮を受けた偏心壓縮面を有する棒の解析的近似

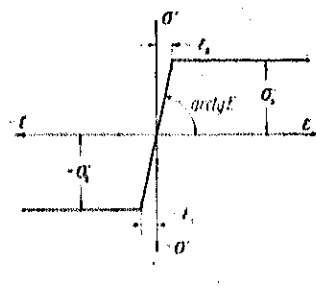
解法を示し、次に實際の構造鋼に対する此の近似解の應用を示す。

1. 偏心壓縮面に於ける限界應力狀態 偏心壓縮を受けた長さ L の棒(第 1 圖)は断面 σ に於て軸方向力 P 及び曲げモーメント $M = Pg$ を受ける。此の場合構造材料の應力塑形線は第 2 圖の如く假定する。即ち降伏點迄 Hooke の法則が成立し、その後は塑形が増する應力に増加るものとする。又曲げの場合は断面は平面のまゝ残るものと假定する。

第 1 圖



第 2 圖



完全に Hooke の法則に従ふ構造材料からなる偏心壓縮を受けた棒は平衡位置が 1 つで問題とならない。不安定平衡状態を生ずるには永久塑形の生ずる事が必要である。偏心壓縮を受けた棒は荷重の増大につれ、はじめ棒中央の内側に於て屈曲降伏點に達し、次に棒中央の外側に於て引張降伏點に達するに至る。提つて次に示す 2 つの應力狀態が考られる。次の計算で屈曲應力は正、引張應力は負とし、 σ_0 又は σ_u は棒の内側又は外側の應力を、 ϵ_0 又は ϵ_u は夫々の塑形率を示す。

應力狀態 I

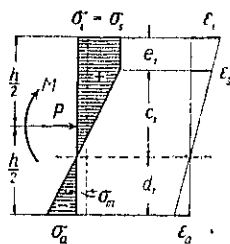
$$\sigma_0 > \sigma_u, \epsilon_0 < -\epsilon_u, \sigma_1 = \sigma_0, \sigma_2 = -\sigma_0 \quad (\text{第 3 圖})$$

平衡條件

$$\int \sigma dJ = P, \quad \int \sigma s dJ = M = Py \dots\dots\dots(1)$$

から次の如くなる。

第 3 圖



$$\left. \begin{aligned} \frac{e_1}{h} &= \frac{3\sigma_m}{(\sigma_s - \sigma_m)} \cdot \frac{y - \frac{1}{2}}{h} - \frac{1}{2} \\ \frac{e_1}{h} &= \frac{9[(\sigma_s - \sigma_m) - \frac{2y}{h} \cdot \sigma_m]^2}{8(\sigma_s - \sigma_m)^3} \cdot \sigma_s \\ e_1 &= \left(1 + \frac{e_1}{c_1}\right) e_s, \quad \sigma_a = -\frac{d_1}{c_1} \cdot \sigma_s \\ \alpha_1 &= \frac{2h\sigma_m}{9E} \left(\frac{\sigma_s}{\sigma_m} - 1\right)^3 \\ \beta_1 &= \frac{h}{2} \left(\frac{\sigma_s}{\sigma_m} - 1\right) \end{aligned} \right\} \dots\dots\dots(3)$$

とおれば、断面 (x, y) に於る棒の曲率は次式で示される。

$$\frac{1}{\rho} \div y'' = -\frac{e_s}{c_1} = -\frac{\alpha_1}{(\beta_1 - y)^2} \dots\dots\dots(4)$$

内歯が引張降伏點に達した時 ($\sigma_t = \sigma_s, \epsilon_t = \epsilon_s$) の揃みは次式で示される。

$$\eta_1 = \frac{h}{6} \left(\frac{\sigma_s}{\sigma_m} - 1\right) \dots\dots\dots(5)$$

外歯が引張降伏點に達した時 ($\sigma_a = -\sigma_s, \epsilon_a = -\epsilon_s$) の最大揃みは次式で示される。

$$\eta_2 = \frac{h}{6} \left(\frac{\sigma_s}{\sigma_m} - 1\right) \left(1 + \frac{2\sigma_m}{\sigma_s}\right) = \eta_1 \left(1 + \frac{2\sigma_m}{\sigma_s}\right) \dots\dots\dots(6)$$

従つて微分方程式 (4) の成立つ範囲は次式に依つて與へられる。

$$\eta_1 \leq y \leq \eta_2 \dots\dots\dots(7)$$

應力状態 II

$\epsilon_t > \epsilon_s, \epsilon_a \geq -\epsilon_s, \sigma_t = \sigma_s, \sigma_a = -\sigma_s$ (第 4 圖)
平衡條件 (1) から次の如くなる。

$$\left. \begin{aligned} \frac{e_2}{h} \cdot \frac{d_2}{h} &= \frac{1}{2} \left(1 \pm \frac{\sigma_m}{\sigma_s}\right) \\ -\sqrt{\frac{9}{4} \left(1 - \frac{\sigma_m^2}{\sigma_s^2}\right) - \frac{3\sigma_m}{\sigma_s} \cdot \frac{y}{h}} \end{aligned} \right\} \dots\dots\dots(8)$$

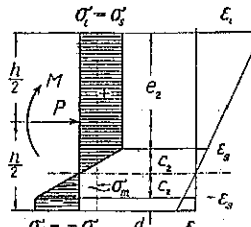
$$\frac{e_2}{h} = \sqrt{\frac{3}{4} \left(1 - \frac{\sigma_m^2}{\sigma_s^2}\right) - \frac{3\sigma_m}{\sigma_s} \cdot \frac{y}{h}}$$

$$\epsilon_1 = \left(1 + \frac{e_1}{c_1}\right) e_s, \quad \epsilon_a = -\left(1 + \frac{d_2}{c_2}\right) e_s$$

$$\alpha_2^2 = \frac{\sigma_s^3}{3hE^2\sigma_m}, \quad \beta_2 = \frac{h\sigma_s}{4\sigma_m} \left(1 - \frac{\sigma_m^2}{\sigma_s^2}\right) \dots\dots\dots(9)$$

とおれば、断面 (x, y) の棒の曲率は次式で得られる。

第 4 圖



$$\frac{1}{\rho} \div y'' = -\frac{e_s}{c_2} = -\frac{\alpha_2}{\sqrt{\beta_2 - y}} \dots\dots\dots(10)$$

断面が完全に塑性化する時 ($e_2 = 0$) の最大揃みは次式で與へられる。

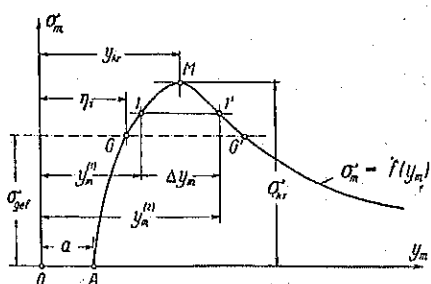
$$\eta_3 = \beta_2 = \frac{h\sigma_s}{4\sigma_m} \left(1 - \frac{\sigma_m^2}{\sigma_s^2}\right) \dots\dots\dots(11)$$

従つて微分方程式 (10) の成立つ範囲は次式で與へられる。

$$\eta_2 \leq y \leq \eta_3 \dots\dots\dots(12)$$

2. 棒の限界荷重(耐荷力)の算定 第 5 圖に断面寸法、長さ及び荷重の偏心度の知れた棒に就て軸方向應力 σ_m と中央の揃み y_m との關係を示した。之でわかる様に棒は 2 つの平衡位置が可能である。即ち軸方向力を

第 5 圖



同じまゝで第 1 の平衡位置(點 1) から第 2 の平衡位置(點 1') に移る事が出来る。一次平衡位置は安定であるが、二次平衡位置は不安定である。第 1 の平衡位置の安定度として次式を考へる事が出来る。

$$\Delta y_m = y_{m(2)} - y_{m(1)} \dots\dots\dots(13)$$

此の安定度は $\sigma = 0$ の時無限大であり、或る最高應力

の時零となる。此の應力を限界應力 σ_{kr} であらはし、その時の捕みを y_{kr} とする。此の y_{kr} の大きさを決定するのに次式が用ひられる。

$$\sigma_m = f(y_m), \quad \frac{d\sigma_m}{dy_m} = 0 \quad \dots \dots \dots (14)$$

一次平衡位置が彈性彎形狀態にある限度は、危險應力 σ_{get} で與へられる。此の場合、危險荷重 $P_{get} = bh\sigma_{get}$ に依り棒中央の内線は子度屈縮降伏點 σ_s に達し、中央の捕みは η_1 となる。此の危險應力は次式に依つて得られる。

$$\left(\frac{\sigma_s}{\sigma_{kr}} - 1 \right) \cos \left(\frac{2l}{h} \sqrt{\frac{3\sigma_{get}}{E}} \right) - \frac{6a}{h} = 0 \quad \dots \dots \dots (15)$$

此の危險荷重は限界荷重の下限であり、推屈荷重はその上限である ($P_{get} \leq P_{cr} \leq P_k$)。

限界荷重を計算するには函数 $\sigma_m = f(y_m)$ を知らねばならぬ。所が嚴密な解は超幾何函数となり、その解は時間を要する。従つて近似的解にとどめるならば棒軸の平衡形を正弦波で表すかえる事が出来る。之は中心荷重 (推屈) の場合は厳密に正確である。圖式解法の時は正弦波の一部を用ひる事が出来るが、解折解法の時は正弦波を用ひた方が都合よく、充分正確な結果が得られる。

正弦曲線の方程式は次式の如くなる (第 1 圖)。

$$y = (y_m - a) \sin \frac{\pi x}{2l} + a \quad \dots \dots \dots (16)$$

故に曲率は次式の如くなる。

$$\frac{1}{\rho} = y'' = -\frac{\pi^2}{4l^2} (y_m - a) \sin \frac{\pi x}{2l} \quad \dots \dots \dots (17)$$

此の曲率の近似式を用ひ、第 1 の應力狀態に對し軸方向應力 σ_m と中央の捕み y_m との關係を出す事が出来る。

應力狀態 I

棒中央の曲率は式 (4) 及び式 (17) から得られるから、之を互ひに等しいとおけば次式が得られる。

$$\frac{1}{\rho_m} = \frac{\alpha_1}{(\beta_1 - y_m)^2} = -\frac{\pi^2}{4l^2} (y_m - a) \quad \dots \dots \dots (18)$$

従つて中央の捕み y_m に對し次の 2 次式が得られる。

$$\Phi_1 = (y_m - a)(\beta_1 - y_m)^2 = -\frac{4\alpha_1 l^2}{\pi^2} = 0 \quad \dots \dots \dots (19)$$

限界應力の計算に必要な第 2 の式は式 (14) に依り次の如くなる。

$$\frac{d\sigma_m}{dy_m} = 0 = \frac{dP_1}{dy_m} = (\beta_1 - y_m)(\beta_1 - y_m) - 2(y_m - a) \quad \dots \dots \dots (20)$$

$y_m = \beta_1$ であるから限界捕みは限界應力の函数として示される。即ち

$$y_m = y_{kr} = \frac{\beta_1}{3} + \frac{2a}{3} \quad \dots \dots \dots (21)$$

$k = \frac{h}{6}$ を断面の核距、偏心の核距に對する比を $m = \frac{a}{k}$ 又 $\sigma_m = \sigma_{kr}$ とすれば、式 (21) 及び (3) から次式が得られる。

$$\frac{y_{kr}}{h} = \frac{1}{6} \left(\frac{\sigma_s}{\sigma_{kr}} - 1 \right) + \frac{m}{9} \quad \dots \dots \dots (22)$$

之を式 (19) に代入すれば限界軸方向應力が得られる。即ち

$$\sigma_{kr} = \frac{\pi^2 P_k}{\lambda^2} \left[\frac{\left(\frac{\sigma_s}{\sigma_{kr}} - 1 \right) - \frac{m}{3}}{\left(\frac{\sigma_s}{\sigma_{kr}} - 1 \right)} \right]^3 \quad \dots \dots \dots (23)$$

茲に $\lambda = \frac{2l}{i}$ 即ち棒の細長比である。式 (23) は σ_{kr} の 4 次の方程式で、 $m=0$ の極限の場合に推屈應力として Euler 値又は屈縮降伏點が得られる。即ち

$$\sigma_{kr} = \sigma_k = \frac{\pi^2 E}{\lambda^2} \quad \text{又は} \quad \sigma_k = \sigma_s \quad \dots \dots \dots (24)$$

式 (23) から細長比を軸方向應力及び偏心度の函数として示す事が出来る。即ち

$$\lambda^2 = \frac{\pi^2 P_k}{\sigma_{kr}} \left[\frac{\left(\frac{\sigma_s}{\sigma_{kr}} - 1 \right) - \frac{m}{3}}{\left(\frac{\sigma_s}{\sigma_{kr}} - 1 \right)} \right]^3 \quad \dots \dots \dots (25)$$

式 (23) 及び (25) の成立の範囲は此の場合の應力狀態を決定する最大捕み η_2 に依て與へられる。式 (6) から

$$y_{kr} = \eta_2 = \frac{h}{6} \left(\frac{\sigma_s}{\sigma_{kr}} - 1 \right) \left(1 + \frac{2\sigma_{kr}}{\sigma_s} \right) \quad (26)$$

となる。従つて

$$\frac{m}{3} = 1 - \frac{\sigma_{kr}}{\sigma_s} \quad \dots \dots \dots (27)$$

となる。之を式 (25) に代入すれば此の範囲の極限細長比が得られる。即ち

$$\lambda_0^2 = \frac{\pi^2 P_k}{\sigma_{kr}} \left(1 - \frac{\sigma_{kr}}{\sigma_s} \right)^3 \quad \dots \dots \dots (28)$$

應力狀態 II

式 (10) 及び (17) を等しいとおけば次式が得られる。

$$\frac{1}{\rho_m} = -\frac{\alpha_2}{\sqrt{\beta_2 - y_m}} = -\frac{\pi^2}{4l^2} (y_m - a) \quad \dots \dots \dots (29)$$

従つて中央の捕み y_m に對し次の 3 次式が得られる。

$$\Phi_2 = (y_m - a)\sqrt{\beta_2 - y_m} - \frac{4\alpha_2 l^2}{\pi^2} = 0 \quad \dots \dots \dots (30)$$

限界應力の計算に必要な第 2 の式は次の如くなる。

$$\frac{d\sigma_m}{dy_m} = 0 = \frac{d\Phi_2}{dy_m} = 2(\beta_2 - y_m) - (y_m - a) \quad (31)$$

故に限界捕みは次式の如くなる。

$$y_m = y_{kr} = \frac{2\beta_2}{3} + \frac{m}{3} \quad \dots \dots \dots (32)$$

偏心度 m を代入すれば次式が得られる。

$$\frac{y_{kr}}{h} = \frac{\sigma_s}{6\sigma_{kr}} \left(1 - \frac{\sigma_{kr}^2}{\sigma_s^2} \right) + \frac{m}{18} \quad \dots \dots \dots (33)$$

之を式 (30) に代入すれば限界軸方向應力 σ_{kr} が得られる。

$$\sigma_{kr} = \frac{\left(\frac{\lambda^2 \sigma_s}{\pi^2 E} \right)^2 \sigma_s}{\left[\frac{\sigma_s}{\sigma_{kr}} - \frac{\sigma_{kr}}{\sigma_s} - \frac{2m}{3} \right]^3} \quad \dots \dots \dots (34)$$

式 (34) から細長比を軸方向應力及び偏心度の函数として示す事が出来る。即ち

$$\lambda^2 = \frac{\pi^2 E}{\sigma_s} \sqrt{\frac{\sigma_{kr}}{\sigma_s} \left[\frac{\sigma_s}{\sigma_{kr}} - \frac{\sigma_{kr}}{\sigma_s} - \frac{2m}{3} \right]^3} \quad \dots \dots \dots (35)$$

式 (34) 及び (35) の成立する範囲は $\eta_2 \leq y_{kr} \leq \eta_3$ で與へられる。下限は式 (38) と等しい。次に

$$y_{kr} = \eta_2 = \frac{h\sigma_s}{4\sigma_{kr}} \left(1 - \frac{\sigma_{kr}^2}{\sigma_s^2} \right) \quad \dots \dots \dots (36)$$

であるから、式 (33) 及び (36) から $\lambda = 0$ となり、限界應力は次式の如くなる。

$$\sigma_{kr(0)} = \frac{\sigma_s}{3} (\sqrt{m^2 + 9} - m) \quad \dots \dots \dots (37)$$

此の場合断面は完全に塑性化するから、 $\sigma_{kr(0)}$ は偏心度 m に対する絶対最大軸方向應力である。

此の研究は硬化範囲を考慮に入れてゐないから、硬化の生じない範囲に於てのみ正しい結果が得られる。今降伏點に於ける變形の p 倍に等しい變形 ϵ_F の時硬化が生ずるものとすれば、之に相當する偏心度及び細長比は次の如くなる。

應力狀態 I

$$m = 3 \left(\frac{\sigma_s}{\sigma_{kr}} - 1 \right) \left(1 + \frac{1 - \frac{\sigma_{kr}}{\sigma_s}}{p-1} \right) \times \left[1 - \sqrt{1 - \frac{1}{\left(1 + \frac{1 - \frac{\sigma_{kr}}{\sigma_s}}{p-1} \right)^2}} \right] \quad \dots \dots \dots (38)$$

$$\lambda p^2 = \frac{\pi^2 E}{\sigma_{kr}} \left\{ \left(1 - \frac{\sigma_{kr}}{\sigma_s} \right) \times \left[\sqrt{1 + \frac{3(p-1)}{\left(1 - \frac{\sigma_{kr}}{\sigma_s} \right)^2}} - 1 \right] \right\}^3 \quad \dots \dots \dots (39)$$

應力狀態 II

$$m = \frac{3}{2p^2} \left(\frac{\sigma_s}{\sigma_{kr}} + 1 \right) \left[p^2 \left(1 - \frac{\sigma_{kr}}{\sigma_s} \right) - \left(1 + \frac{\sigma_{kr}}{\sigma_s} \right) \right]$$

$$y_m = y(\lambda, m) \quad \dots \dots \dots (40)$$

$$\lambda p^2 = \frac{\pi^2 E}{p^2 \sigma_{kr}} \left(1 + \frac{\sigma_{kr}}{\sigma_s} \right)^3 \quad \dots \dots \dots (41)$$

公式の總括

理想鋼（降伏點 σ_s 、彈性係数 E ）からなる偏心壓縮を受けた棒の、與へられた軸方向力 σ_{kr} 及び偏心度 m に對する平衡細長比は偏心度に應じ次の公式により計算される。

$$\text{公式 (I)} \quad \lambda^2 = \frac{\pi^2 E}{\sigma_{kr}} \left[\frac{\left(\frac{\sigma_s}{\sigma_{kr}} - 1 \right) - \frac{m}{3}}{\left(\frac{\sigma_s}{\sigma_{kr}} - 1 \right)} \right]^3 \quad \dots \dots \dots$$

$$\dots \lambda^2 - \frac{\pi^2 Em^3}{9\sigma_s(3-m)} > 0$$

$$\text{公式 (II)} \quad \lambda^2 = \frac{\pi^2 E}{\sigma_s} \left[\frac{\sigma_{kr}}{\sigma_s} \left(\frac{\sigma_s}{\sigma_{kr}} - \frac{\sigma_{kr}}{\sigma_s} - \frac{2m}{3} \right)^3 \right] \quad \dots \dots \dots$$

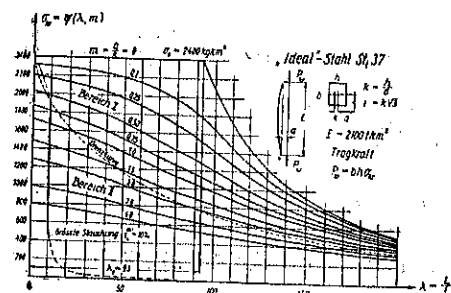
$$\dots \lambda^2 - \frac{\pi^2 Em^3}{9\sigma_s(3-m)} < 0$$

3. 理想鋼 St 37 及 St 52 に對する限界應力圖表

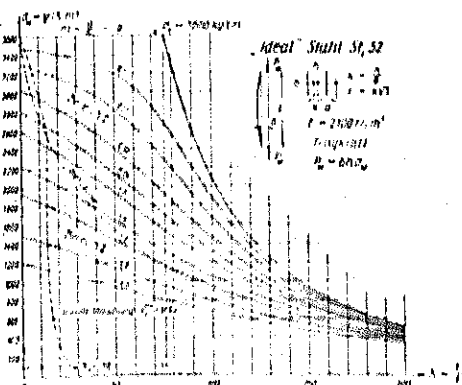
偏心壓縮を受けた理想鋼からなる棒の耐荷力を示す公式 (I) 及び (II) に依り、2つの場合に就て計算を行つた。即ち獨逸の規格にある St 37 及び St 52 であつて、その彈性俫数は $E = 210000 \text{ kg/cm}^2$ 、降伏點は夫々 $\sigma_s = 2400 \text{ kg/cm}^2$ 又は 3600 kg/cm^2 である。此の特性を有し第 2 圖の如き應力變形線を有するものを今後 St 37 又は St 52 であらはす。

計算の結果を第 6 及び 7 圖に示した。限界應力 $\sigma_{kr} = \psi(\lambda, m)$ を偏心度 $m = 0.10 \sim 4.00$ 、細長比 $\lambda = 0 \sim 200$ に對し計算した。公式 (I) 及び (II) の有效範囲は極限曲線に依り分たれる。此の近似方法の結果は厳密な解の結果とよく一致した。 $\lambda = 0$ に對する應力値は (37) 式に依り等しい。又 $\lambda = \infty$ に對しては兩方とも $\sigma_{kr} = 0$ となる。その間の細長比に對する限界應力の最大差は 3% 以下で實際上問題にならない。

第 6 圖



第 7 圖



硬化範囲を無視した影響を知る爲、棒中央の内線に硬化の生ずる限界平衡位置を計算した。變形 $\epsilon_r = 10\%$ の時硬化が生ずる λ は $\lambda > 10$ と假定し、此の條件に相當する曲線を式 (30) 又は (41) に依り計算し、第 6 及び 7 図に示した。斯る變形は S437 は $\lambda < 10$ 、S459 は $\lambda > 10$ に對し生ずる事を知る。又 $\epsilon_r = 10\%$ 時硬化が生ずはじめる λ は $\lambda > 30$ に對し生ずる。機械普通の場合 ($\lambda < 30$) は硬化のはじまる前に限界应力が得られるものと考へられる。

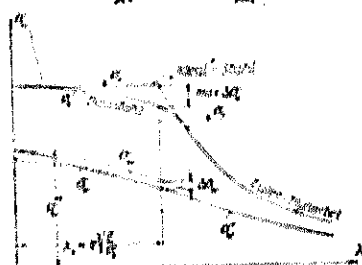
4. 構造鋼からなる棒の應用 構造鋼の應力變形線の限界应力に及ぼす影響は埋屈應力の場合に最も著るしい。第 8 圖の如き應力變形線を有する構造構に對する埋屈應力線は Engle-

ser Körnlein に依れば第 9 圖の太線の如くなる。屈屈降伏點より上の點線は硬化範圍に屬するものと示す。此の限界應力線 σ_{kr} は同一鋼種でも比例限界と降伏點間の曲線の差異に依り異なるものである。例へば國際鋼鐵協會の實驗せるものは實際上殆ど誤差がない (最大誤差 4%)。

第 8 圖



第 9 圖



第 9 図に一定の偏心度に對する限界應力線 σ_{kr} (理想鋼) 及び σ_{kr}' (第 8 図の構造鋼) を細長比の函数として示した。此の 2 つの線は $\lambda=0$ に対し同じ縱距 $\sigma_{kr}(0)$ を持つ。 λ 軸を漸近線としてある。應力値の差 ($\sigma_{kr} - \sigma_{kr}'$) $= \Delta\sigma_{kr}$ は偏心度 m の増につれ減少し、 $m \rightarrow \infty$ に對し零となる。埋屈應力線に對しては $\lambda_s = \sqrt{\frac{\pi^2 E}{\sigma_s}}$ の時應力差は最大となる ($\max \Delta\sigma_{kr}$)。而して應力差 $\Delta\sigma_{kr}$ は $\max \Delta\sigma_{kr}$ と關係がある。

實際上の目的には假想偏心度 $m > m$ を導入し、之を與へられた偏心度に相當する $\max \Delta\sigma_{kr}$ に應じて選び公式 (I) 及び (II) の m の代りに m を用ひて計算すればよい。第 9 図に σ_{kr} を示した。細長比の小なる時 ($\lambda < 30$) は可成りの誤差があるが、實際上は問題でない。Hartmann の構造鋼 S437 ($\sigma_s = 2400 \text{ kg/cm}^2$) からなる偏心屈縮を受ける棒に對する結果に依れば m を次式に依つて與へる事が出来る。

$$m = m \left[1 + \frac{600 \times \Delta\sigma_{kr}}{\sigma_s (1+m)^2} \right] \dots \dots \dots (42)$$

此の式は他の鋼種のものにも用ひる事が出来る。 m を m で置き換へて得た結果は $m = 0.1$, $\lambda = 30$ に對し充分正確であり、第 6 及び 7 図の値も用ひる事が出来る。他の鋼種のものに假想偏心度を應用した時の最大誤差は細長比 $\lambda \sim 30$ の時約 -10% である。

5. 偏心屈縮を受けた棒の斷面決定 P を使用荷重、 P を断面積、 ν を安全率とすれば次式が成立たねばならぬ。

$$\frac{P}{F} = \sigma_m = \frac{\sigma_{kr}}{\nu} \quad \text{又} \quad \sigma_m \leq \sigma_{kr} \dots \dots \dots (43)$$

今偏心屈縮を受けた棒の安全率を中心屈縮を受けた棒の安全率と等しいものとし、

$$\kappa = \frac{\sigma_k}{\sigma_{kr}} \dots \dots \dots (44)$$

とすれば、埋屈係数 ω を用ひ中心屈縮を受けた棒に對する側邊の規定にならひ次式が得られる。即ち

$$\kappa \omega \cdot \frac{P}{F} \geq \sigma_{ml} \dots \dots \dots (45)$$

κ 値の計算を行ふ場合假想偏心度 m は次式に依る事が出来る。

$$S437 \dots m = m \left[1 + \frac{0.075}{(1+m)^2} \right] \dots \dots \dots (46)$$

$$S459 \dots m = m \left[1 + \frac{1.014}{(1+m)^2} \right] \dots \dots \dots (47)$$

(奥田秋夫)

3. 土質工學

土の支持力試験に就て

(Marvin L. Davis, "Soil-Bearing Test Values on Proportional Areas")
E. N. R. July 11, 1935, p. 46.

發電所改造のために土の支持力試験を行つた結果が發表されてゐる。これは Ohio 州 Akron の Firestone Tire Rubber Co. の行つたものである。この建物は二階建で底面から一段目の床まで 10 呎、床から屋根まで 52 呎ある。

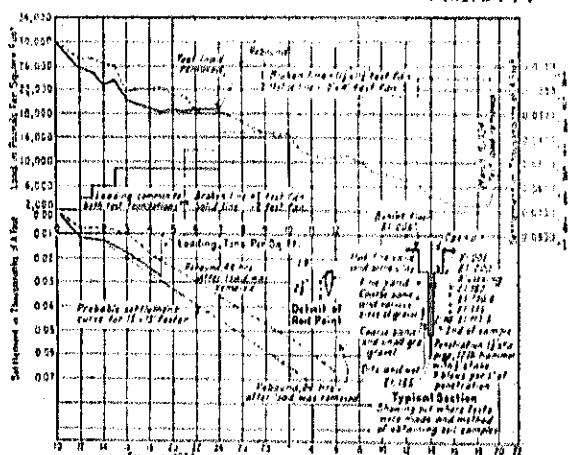
1. 改造計畫 現在構造物検査の結果屋根の構組を除き基礎及構造物は全部改造の必要があつた。新基礎の大きさは $8\frac{1}{3} \times 0\frac{1}{2}$ 呎～ $14\frac{1}{3} \times 14\frac{1}{2}$ 呎である。最大の柱は 10 时 204 封度の II 型である。この基礎に與へられた荷重は 498 000～1 075 000 封度、土の支持すべき荷重は 473 000～1 182 500 封度である。

鋼材の粗立を速めるために急硬セメントを規定した。コンクリートは 7 日試験に於て 2 600 封度/吋² の耐壓力を要し、且セメント 1 袋に付骨材中の含有水分を含

第 10 圖 Ohio 發電所改造に際し土の支持力試験を行つた場所



第 11 圖 荷重と沈下及荷重による時間的沈下圖



め 6 gallon 以上の水を使ふことを禁じた。各基礎から試験片を取つて 7 日試験を行つた結果耐壓強度は平均 2 615 封度/吋² であつた。

元の構造物に對する土の支持力試験のデーターが全然無かつたために、新に試験を行ひ 1934 年 2 月 10 日から 3 月 21 日までかかつた。

2. 試験法 横い底面下に於ける大柱の支持力を定め、全荷重の際の基礎の沈下概略を豫想するため、二方法の試験を行つた。

試験柱 1 は木杭 11 $\frac{1}{2}$ 吋角であり試験柱 2 は 2×4 吋角の鋼筋コンクリートである。その柱の位置は第 10 圖の如し。この 2 種の柱には常に単位面積當りの荷重を等しくした。1 平方呎當りの荷重は上段増加し 3 倍に達して後は 1 $\frac{1}{2}$ 倍増加した。これは沈下が止んで後に荷重を増して行った。斯くて試験柱 1 には 12 呎² に達するまで、試験柱 2 には 4 $\frac{1}{2}$ 呎² まで行った。それは第 2 柱には荷重體を乗せる場所が無かつたためである。次にこの荷重を全部取去つて 24 時間後、48 時間後、6 日後の跳ね上りを記録した。

3. 試験の結果 第 11 圖にその結果を示す。即ち荷重と沈下の關係は兩方共に直線的である。これから推定沈下曲線を求める。

1935 年 1 月 26 日に實際の構造物につき沈下を測定した結果平均 1/16 吋、最大 3/16 吋の沈下であった。その中 3/16 吋は推定沈下曲線と一致してゐる。

4. 地質觀察 荷重試験を終つて試験装置を取拂つて、この部分の地質を更に研究した。8 吋の鐵管を打込んでは 1 呎毎に土を検した。基礎面下 9 呎處は稍上層り細砂で、9～13 呎は砂が荒くなり、13 呎の處では砂利も混じてゐた。

更に 1 $\frac{1}{2}$ 吋の鐵管の先端を尖らせて打込み引抜きまで調査した。この際 12 封度の錐で一撃の侵入量を調べて、公式から大體の支持力を決定した。計算の結果安全率を 4 に取つて支持力は 6 500 封度/呎² と出たので、荷重は 6000 封度に取つた。（傍島一謙）

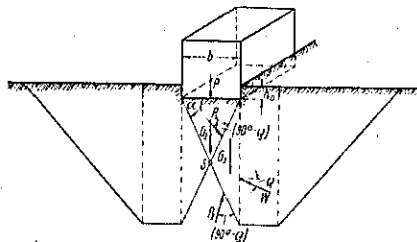
地盤の支持力と變形抵抗

(P. Müller, "Tragfähigkeit und Formänderungswiderstand des Bodens," Bautech. 19, April 1935, S. 219-220.)

地盤の變形に對する抵抗を表す地盤の彈性係数は支持力に重大な關係があるが、之に靜力學的に扱はれた E_{stat} と動力學的に求められた E_{dyn} とがある。此の兩者は載荷の面積が等しくても異つた値を有し、夫々又載荷の面積並に地表面よりの深さに關係する。

沈下と變形抵抗との關係を檢べる爲に地盤の支持力に關する Dr. Schultz の論文を引用する。

第 12 圖 Schultz の示せる地盤に働く諸力



第 12 圖で與へられる地盤の支持力 P_0 は (1) 式の P を α に就き微分して最小値を求めるべき。

$$\begin{aligned} P = & -\frac{b^2}{2} \cdot \tan \alpha + b \cdot \tan \alpha \left[\frac{1}{2} \cdot \tan^2 \left(45^\circ + \frac{\rho}{2} \right) \right. \\ & \times (2h_0 + b \cdot \tan \alpha) + \cos^2 \rho \sin \rho (h_0 + b \cdot \tan \alpha) \left. \right] \\ & \times \frac{\sin \rho + \cos \rho \cdot \cot(\alpha - \rho)}{\cos \rho - \sin \rho \cdot \tan \rho} \quad (1) \end{aligned}$$

茲に γ は土の單位重量である。

上式の微分は六ヶ數ないので Schultz は試索によつて求めた。例へば $b=20 \text{ cm}$, $\gamma=1.0$, $\rho=30^\circ$, $h_0=0$ の場合には $\alpha=43^\circ$ となつて P_0 は幅 1 cm に就き 4.5 kg となる。

角 α が決まるとき (1) 式に代入して $\frac{dP_0}{db}=p_1$ より土盤の強度を求め得る。即ち

$$\frac{p_1}{\gamma} = \frac{b}{2} \cdot \gamma + h_0 \zeta \quad (2)$$

茲に

$$\begin{aligned} \zeta &= 2 \cdot \tan \alpha \left\{ -1 + \frac{\sin \rho + \cos \rho \cdot \cot(\alpha - \rho)}{\cos \rho - \sin \rho \cdot \tan \rho} \right. \\ &\left. \left[\tan^2 \left(45^\circ + \frac{\rho}{2} \right) + 2 \cdot \cos^2 \rho \cdot \sin \rho \right] \tan \alpha \right\} \quad (3) \end{aligned}$$

$$\begin{aligned} \zeta &= \tan \alpha \cdot \frac{\sin \rho + \cos \rho \cdot \cot(\alpha - \rho)}{\cos \rho - \sin \rho \cdot \tan \rho} \\ &\left[\tan^2 \left(45^\circ + \frac{\rho}{2} \right) + \cos^2 \rho \cdot \sin \rho \right] \quad (4) \end{aligned}$$

壓力の分布狀態は梯形を爲し
線維強度 $p_0=h_0 \zeta \gamma$ となり、端よ
り x の點の強度 $p_x=(x \gamma + h_0 \zeta)$
(第 13 圖参照) となる。

更に Schultz は圓の直徑 $2r$ を b として (1) 式より (4) 式迄に代入して角 α 及び基礎の壓力を求めて差支無い事を示した。

$$P = \frac{r^2 \pi}{3} (2p_0 + p_1) \quad (5)$$

$$h_0=0 \text{ の場合}, p_0=0 \text{ 故 } P = \frac{r^2 \pi p_1}{3} \quad (5a)$$

$$(2) \text{ 式より } p_1=r \gamma \gamma \quad (2a)$$

$$\therefore P = \frac{r^3 \pi}{3} \cdot \gamma \gamma \quad (5b)$$

一方 Boussinesq が誘導した直徑 $2r$ の圓筒形物體の加壓による沈下量は

$$\delta = 0.5 \frac{m^2 - 1}{m^2} \cdot \frac{P}{rE}$$

地表面に於ける $m=3.7$ とすれば

$$\delta = 0.464 \cdot \frac{P}{rE} \quad (6)$$

鉛直に對し 35° の角度を爲して圓錐形に壓力が分布するとき

$$\delta' = 0.426 \frac{P}{rE} \quad (6a)$$

(5b) 式より求めた P を (6) 式と (6a) 式に代入すれば

$$\delta = \frac{0.155 \pi r^2 \gamma \gamma}{E} \quad (7)$$

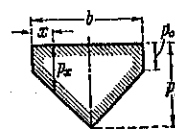
又は $\delta = 0.486 r^2 \gamma \gamma \cdot \frac{1}{\theta} \quad (8)$
 95° の角度を爲して圓錐形に壓力が擴大分布すると假定すれば

$$\delta = 0.446 r^2 \gamma \gamma \cdot \frac{1}{\theta} \quad (8a)$$

この (8), (8a) 兩式によつて載荷面が地表面に在る時静荷重を受けた場合の土の變形抵抗をその沈下量の測定に依て求める事が出来る。

之迄に扱つたのは靜力學的の場合で、荷重が土の支持力を超過すると三角構の交點 S がめり込んで變動を生ずるが、之に反し振動を與へると變形が彈性的に反復する。

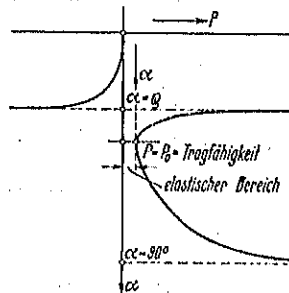
彈性限界即ち $0 < P < P_0$ に於ても勿論變形は起り得る。この P は前述の如く α の函数である。例へば $\rho=30^\circ$, $2r=20 \text{ cm}$, $h_0=0$ とすれば

第 13 圖
壓力分布圖

$$P = \left[-0.02 \cdot \tan \alpha + 0.073 \cdot \tan^2 \alpha \cdot \frac{0.5 + 0.866 \cdot \cot(\alpha - 30^\circ)}{0.5775} \right] \gamma \quad t/m \quad \cdots (1a)$$

第 14 図は P と α の関係を圖示したものである。

第 14 圖
函数 $P=f(\alpha)$ の曲線



h_0 が増加すると變形抵抗は次式によつて變化する。

$$E = \lambda \cdot \frac{\gamma}{\delta} (r\gamma + 3h_0 \zeta) \quad \cdots \cdots (9)$$

これをりで表はせば

$$E = \lambda \cdot \frac{\gamma}{\delta} \left[r\gamma + 3h_0 \cdot \frac{\epsilon + \psi}{\epsilon + 2\psi} \left(1 + \frac{\gamma}{2 \cdot \tan \alpha} \right) \right] \cdots (10)$$

λ は係数で Boussinesq によれば 0.486, 35° の角度を爲して土盤が圓錐形に分布するとすれば 0.416 となる。

$$\epsilon = \tan^2 \left(45^\circ + \frac{\rho}{2} \right), \quad \psi = \cos^2 \rho \cdot \sin \rho$$

荷重試験に際しては先づ土の単位重量及び摩擦角 ρ を求める。然る後 (1) 式の函数 $P=f(\alpha)$ を用ひて P の最小値 P_0 と之に該當する α を求める。 P_0 は彈性限界を示しこの荷重の下に生じた沈下量を測つて $E=f(\alpha, \theta)$ [(8)～(10) 式] を用ひて變形抵抗 E を求める。

勿論 $0 < P < P_0$ の範囲内で荷重と沈下との關係を調べて置く。之迄の實驗の結果では兩者の比は一定ではなく荷重に關係する。

猶判り易くなるため彈床係数を常数と假定して上述の事項を例題を以て説明して見る。

$\rho=30^\circ$, $\gamma=1.8 \text{ t}/\text{m}^3$, $b=2r=0.20 \text{ m}$, $h_0=0$ とすれば $\alpha=43^\circ$ で $\gamma=45^\circ$, $\zeta=23$ となる。

∴ 軸に於ける土盤強度 $p_1=r\gamma\gamma=0.1 \cdot 1.8 \cdot 1.8=81 \text{ t}/\text{m}^2$

$$\text{支持力 } P = \frac{\pi^2 \rho p_1}{3} = \frac{0.1^2 \pi}{3} \cdot 8.1 = 0.085 \text{ t}$$

$$\text{平均土盤強度 } p_m = \frac{P}{\pi^2 \rho} = \frac{0.085}{0.1^2 \pi} = 2.7 \text{ t}/\text{m}^2$$

$C=4 \text{ kg}/\text{cm}^2$ と假定すれば

$$\theta = \frac{p_m}{C} = \frac{0.27}{4} = 0.0075 \text{ cm}$$

$$(8) \text{ 式より } E = 0.485 \cdot 0.1^2 \cdot 1.8 = \frac{1}{0.0075} = 582 \text{ t}/\text{m}^2 = 58.2 \text{ kg}/\text{cm}^2$$

$C=4 \text{ kg}/\text{cm}^2$ と假定して h_0 を種々にかへると第 1 表を得る。

第 1 表

h_0 (cm)	P (kg)	P_0 (kg/cm ²)	p_1 (kg/cm ²)	θ (cm)	E (kg/cm ²)
0	86	0	0.61	0.0075	58.2
10	27.3	0.58	1.43	0.216	58.8
23	44.8	1.13	2.01	0.355	59.4
49	62.1	1.67	3.53	0.493	59.5

第 1 表で明らかに如く彈床係数が一定であると變形抵抗は殆ど常数である。

精論として支持力の決定には Schultze の土盤説は推奨に倣する。上層の分布状態に就いては何れかに假定しなければならないが、Boussinesq の説でも圓錐形擴大の説でも結果として大差がない。

上述の根本を追究するには種々の土質の變形抵抗を檢べ、 E と載荷面積との關係及び支持力と載荷面積との關係を研究する必要がある。(瀧山 篤)

壓氣式測定器による地盤支持力

Otto Seitz, "Versuche mit einer neuartigen pneumatischen Bodendruckmeßdose," Bautech. 14 Juni 1935, p. 329-330

數年前に土木技術 Detig 氏が壓氣式による地盤支持力に就いて發表されてゐるが、此處に述べる測定器はアメリカ式のものを新に改良し、工夫を加へたもので、圓筒型の外觀を有し、可動的な銀筒と密閉せる蓋板とから成る。蓋板は接觸面となり地盤の壓力に依つて荷重を受けるもので器に輪狀の銀子で固着してある。内部に壓縮氣を注入して外側に接する地盤面より稍高處とも蓋板を外方に膨脹せしめる。此の時器の部分の電気回路が遮断され、内部に裝置した信號燈が明滅して外盤及内盤の平衡狀態を表示し、之れを同じ附屬壓力計で読み得る様になつてゐる。

此の測定器の特徴は操作の一目瞭然にして而も簡単なるにあり、加へて電氣的接續に依る敏感さと器具の堅牢なること及び何等の經驗的諸事項を必要とせぬことがある。

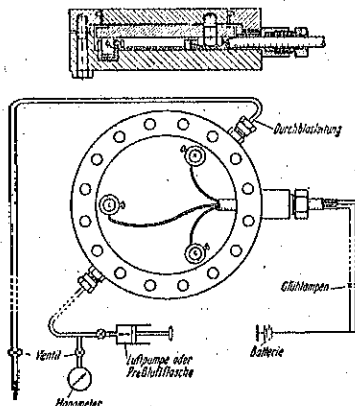
著者は以前 Niederfinow に於ける測定の際に既にこ

の測定値が實際値より高めに出る傾向を認め、之れが原因を圓型接觸面に於ける周邊の影響其の他にありと考へた。即ち接觸面に於ける加壓の狀態は各部に對して何れの方向にも一様ではなく從つて接觸面の隆起も一様でないのみか、寧ろ可成偏した現象を呈し、接觸面の周邊部に於てはこの際對力を生ずる。一方充分に加壓されて隆起せる部分、即ち信號燈の消滅せる場所では氣壓の増加と共にこの對力を打消したかの如く見える。

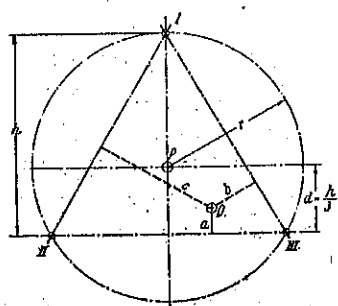
此の事實は後に他の地點に於て觀測せる際にも他の器械に依つた場合に比べて體氣式によるものは幾分高い測定値を表すと云ふ同様の結果が認められ、その原因も側面に作用する剪斷力、地盤の不等沈下等の蓋板に作用する側面にあるものと考へられた。

此等の缺點を補ふ爲既に Detig 氏の提倡せる如く、三點接觸法による測定法が Hochenzollen 連河の架橋に際して用ひ頗る良好なる結果を實證した。此の方法に用ひる測定器は第 15 圖に示す如くである。接觸點を強度の大なる尖點に仕上げて而もこの 3 點で全壓力を負擔せしめるることは相當困難であるので、實際には 10 mm 直徑の防錆鋸釘の絶縁せるものを用ひた。各釘は信號

第 15 圖



第 16 圖



燈と電氣的に接続してある。使用法は第 16 圖に示す如くで圖中 I, II, III は互に 120° を爲す 3 接點で等邊三角形を形成する。外側から作用する地盤壓力を 1 個の力 Q で表はし、その作用點を 3 邊から各々に a , b , c なる距離にあるものとする。内側の氣壓合力を P とするとき之れは三角形の重心を通る。先づ内壓が P_1 に等しくなつた場合に蓋板は軸 II ~ III に依つて迴轉せんとして、此の間に $d \cdot P_1 = a \cdot Q$ なる力の平衡が成立し、更に外壓が増加して P_2 に達した時には軸 I ~ III に對して、 $d \cdot P_2 = b \cdot Q$ となり最後に内壓が外壓より大となつた場合には、 $d \cdot P_3 = c \cdot Q$ となる。この β 力を合計すると、

$$Q = (P_1 + P_2 + P_3) \left(\frac{d}{a+b+c} \right)$$

P は重心を通過する故に、 $d = \frac{h}{3}$ であるから、3 邊よりの距離の和は $a+b+c=h$ なる故に、

$$Q = \frac{P_1 + P_2 + P_3}{3}$$

内壓 P_1 , P_2 , P_3 は各々壓力計の讀みから得られるから Q は直ちに算出され、更に外壓の作用點は次の如くに見出される。

$$a = \frac{h}{3Q} \cdot P_1, \quad b = \frac{h}{3Q} \cdot P_2, \quad c = \frac{h}{3Q} \cdot P_3$$

此等の結果の實際に就いては、橋梁基礎の滑面工事に際して、充分にその正確さを立証した。即ち粘土質の基礎地盤に前述の舊式の測定器を並べて裝置し、更に同じく測定弦を有する Schäfer の壓力氣測定器をも注意深く基礎地盤 60×70 cm 上に裝置し、滑面の沈下後第 2 表の如き測定値を得た。

第 2 表 地盤壓力 kg/cm²

壓氣式測定器		測定法を有する Schäfer の装置
輪狀接觸式	三點接觸式	
1.37	$P_1=0.77$ $P_2=0.87$ $P_3=1.37$ $Q=1.04$	0.09

前記の數値は實驗の結果から鉛直の抵抗に対する壓力の中 0.08 kg/cm^2 を測定値から引いてある。

$$r = 4.5 \text{ cm}, \quad h = 1.5 \text{ r} = 6.75 \text{ cm} \quad \text{とする}$$

$$a = b = \frac{6.75}{3 \times 1.04} \cdot 0.87 = 1.88 \text{ cm},$$

$$c = \frac{6.75}{3 \times 1.04} \times 1.37 = 2.06 \text{ cm}$$

三點接觸式と Schäfer 式とはよく一致した數値を示し、舊式の壓氣式では稍高い値を示してゐる。是等の實

測に就いては例へ今後多くの観測の結果、同一地盤に對して良好なる數字的關係を得たとしても、更に斯る結果を廣範なる比較測定を通じて確證あるものと爲すことが必要であり、以て地盤支持力に關する此の方面的問題に對する解決の一端に資することが望ましいわけである。

(糸川一郎)

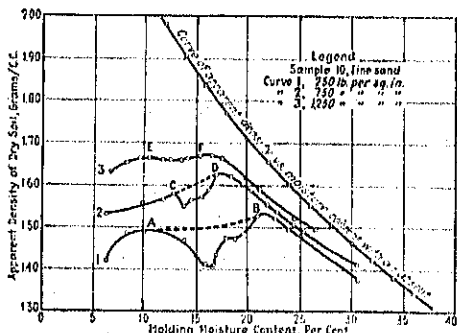
土壤の最高緊硬度の含水量の測定

(B. G. Zimmerman, "Laboratory Determination of Optimum Soil Moisture," "Little Effect of Soil Classes on Optimum Moisture" E. N. R. June 13, 1935, p. 838-839, June 20, 1935, p. 875-877.)

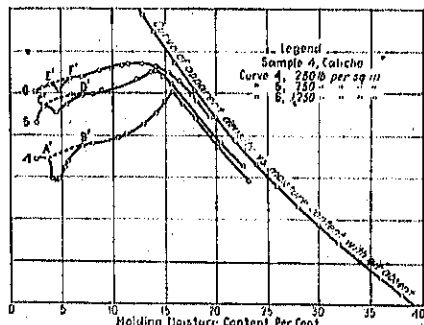
或る方法に土壤を緊密にする時、最大の見掛け密度を與へる一定の湿度があるもので、之を最高緊硬度の含水量(optimum moisture)と呼ぶ。其の最高緊硬度の含水量の測定法について述べる。

第17圖、第18圖は8段に變化する壓力に於ける密度含水量曲線である。湿度の増加と共に初めのうちは見掛け密度は増大してAに到り、後體積の膨脹——多分包含する空氣のため——に依りて密度減少し、更に増大して最大値Bに到り、其の後は略一樣に減少してゐる。

第17圖



第18圖



(曲線1)。此のB點の含水量を最高緊硬度の含水量と云ふ。第17圖に用ひられた試料——No. 10——は少量の雲母を含む細粒の砂土で、第18圖に用ひられた試料——No. 4——はTexasのcalicheである。兩者の最高緊硬度の含水量の相異は土壤の型の相違に依るものであらう。此等の曲線にて明らかなる如く、壓力が増大すると、それに於ける最高緊硬度の含水量は減少するが、その減少も壓力が高くなるに従ひ、次第に小になる。即ち第18圖に於て、壓力が250 lb/in²から750 lb/in²まで變化する時、最高緊硬度の含水量は4.0% 減少してゐるが750 lb/in²から1250 lb/in²まで變化する間には1.4% しか減少して居ない。此の時は第17圖のものについてても云へる。

今 M =塑型にした土壤の乾燥重量 (gr)

V =塑型の體積 (c.c.) G =土壤の粒子の比重

X =含水量と乾燥重量との比 (乾燥湿度)

D =塑型にした土壤の乾燥見掛け密度

とし、空隙が存在しないとすれば

$$D = \frac{M}{V} = \frac{M}{M(X+1/G)} = \frac{G}{GX+1}$$

なる關係あり。即ち空隙がないとした時は、 G を比重計にて知れば、各 X に對する D がわかるので、此の X の値を%で表したもののが、第17圖、第18圖に示す無空隙の密度——含水量曲線である。又空隙の存在を無視しない場合の曲線即ち1, 2, 3の曲線は次の方法によりて M , V を測定して、其の時の X に對する D を求めることが出来る。

試料はアメリカ標準筛の40目篩を通過したものである。試料をとり、ある水を加えてよく混ぜ150 gr. を測つて型に入れ、水筒ピストンで壓縮して一定の壓力に1分間保つ。かくして出來た塑型の體積を測定する。その體積が式にある V に相當する。始めに加えた水量が多い時にはピストンで壓縮するとき水が押し出される事があるが、此の時には塑型を作る前後の重量の差が押し出された水量であるから、その重量の差をc.c.で表しただけ塑型の體積に加えて、それを V とす。此の塑型を120°Cの爐の中に入れて、重量の減少を來さないまで燃し、その重量が M に相當する。塑型の乾燥前後に於ける重量の減少より含水量が知れ、従つてその時の X がわかる。かくて空隙の存在を無視しない時の密度——含水量曲線がわかる。而してその曲線より最大密度の點を求むれば、その時の含水量が最高緊硬度の含水量である。但し此處に求めたる零

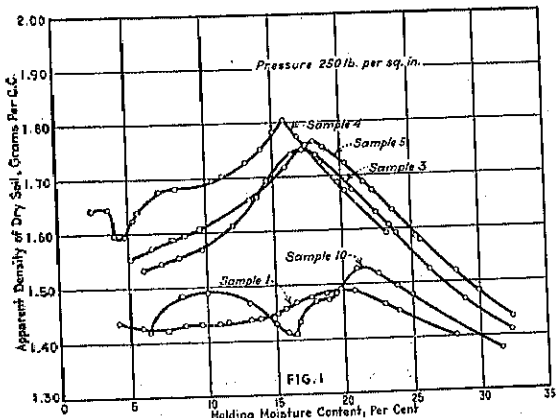
度は乾燥見掛け密度であるから前の M の代りに乾燥前の重量を用ふれば湿润見掛け密度が得られる。

土壤の種類に依りて、その最高緊硬度の含水量の變化について Procter 氏は次の如く述べてゐる。

土壤の最高緊硬度の含水量はその土壤を構成する粒子によりて變化し、小なる粒子の土壤は大なる粒子の土壤より大なる最高緊硬度の含水量を有する。

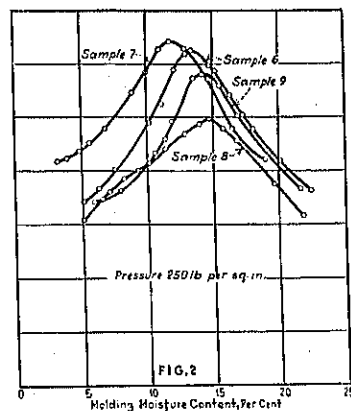
第 19 圖は密度一含水量線で、試料 No. 4 と No. 10 は前節のものである。圖より明らかの如く、1) No. 1 (砂土) は No. 3, 5 (粘土) より大なる最高緊硬度を有してゐるが、此れは粗粒の砂土が細粒の粘土より大なる最高緊硬度の含水量を有することになる。2) 又 No. 10 (細粒砂土) は No. 1 より細粒であり、大なる最高緊硬度の含水量を示す。3) No. 4 caliche は No. 3, 5 より粗粒であり、且つ最高緊硬度の含水量は小さい。即ち 1) の場合は Procter 氏の説は適用出来ないに反し、2), 3) の場合は適用出来る。筆者はこれはコロイド質によるものであると思ふ。即ちコロイド質が水によりて完全に湿されると膨脹し始め、これが土壤の最高緊硬度を減少せしめるものであるから、多くのコロイド質を含む粘土は最高緊硬度の含水量は減少する。然らば No. 4 の caliche は何故 No. 3, 5 の粘土より大なる最高緊硬度の含水量を示さないかと云ふと、その含むコロイド質の性質が異なる故である。

第 19 圖



第 20 圖は色々の粘土を実験室にて混合した物の密度一含水量曲線である。No. 6 は No. 1 を 56.7%, No. 5 を 43.3% の混合土であり、No. 7 は No. 1 を 56.7%, No. 4 を 43.3% の混合土の曲線である。此の割合は No. 1 の最高緊硬度の含水量の時の空隙を充す様に計算された割合である。又 No. 8 は No. 1 を 75%, No. 5

第 20 圖



を 25%, No. 9 は No. 1 を 36%, No. 5 を 64%, 各その最高緊硬度の含水量の時の空隙には関係なく混合したものである。此の圖によりて次の事が理解出来る。

混合土の最高緊硬度の含水量はそれを構成してゐる各土壤よりも大なる最高緊硬度の含水量を表すものであり、大なる粒子の最大量を含み、その空隙が粘土や caliche の如き細粒によりて充されてゐる時は最大の緊硬度を有するものである。 (高坂紫朗)

4. 水理

Severn 河口に関する模型実験に就て

(A. H. Gibson, "Etudes sur un modèle de l'estuaire de la Severn," Ann. d. Travaux Publics de Belgique, Feb. 1935, p. 139-151.)

Severn 河口附近に堰を建設する事が計画されてゐるが、その工事施行の結果は之が河床の洗掘又は沈没、下流の水位昇降の大きさ、河口附近の海流等に甚からぬ影響を及ぼす事は當然想される處である。従つて之に關する模型試験が行はれる事となつたが、その鉛直縮尺 1/100、水平縮尺 1/8500 であつて模型の總長は 45 咪に達する。

この實験に於て最も問題になるのは模型中の河床を形成する土砂の大きさの決定であるが、之に關しては曾て Osborne Reynolds によつて行はれた Mersey 河の模型試験に於ける資料が参考に供された。

先づ流れに關する水理學的相似律に就ては模型と實際に於ける量を次々長さ L 及び H 、高さ h 及び H 、時間 t 及び T を以て表はせば一般に

$$\frac{t}{T} = \frac{l}{L} \sqrt{\frac{H}{h}}$$

なる關係がある時に相似律が成立するものとしてある。但しこの關係中には粒性、表面張力等の影響は無視してゐる。砂の大きさに關しては O. Reynolds は Mersey 河の模型を作る爲に Calais にて採取された細砂を用ひたが、同氏によれば砂粒の大きさは相似律に影響する處が案外に小さいのであつて、模型と實際の砂粒の平均徑を d 及び D とすれば

$$\frac{D}{d} = \left(\frac{H}{h} \right)^q, \text{ 但し } q=0.045$$

即ち $H:h=100$ の時は $D:d=1.23$ であるが、 $H:h=200$ の時は $D:d=1.27$ となると言ふ結果が與へられてゐる。之は土砂の移動によって生じた形から定められたものであつて、土砂の運動狀態に關してはそれに應じた相似律がある。例へば兩者に於ける土砂の沈降速度の比は $\left(\frac{H}{h} \right)^{3/2} \frac{l}{L}$ によって與へられる。(本間 4)

流水の掃流力に就て

(Egidio Indri "Sulla forza di trascinamento delle correnti liquide." L'energia elettrica, Diec. 1934, Vol. II, No. 12, p. 988~908.)

Du Bois によれば流水の掃流力は $T=\rho \phi$ (ρ は水の比重、 h は水深、 ϕ は底勾配) にて表はされ、之が土砂の抵抗力と釣合にある時に河床は安定するのであつて、その時の掃流力 T_0 を限界掃流力と名付ける。

河床を作る土砂の中には徑 d なるものと含水量を $p\%$ とし、次の如き A_1 及び A_2 を規定する。

$$A_1 = \sum_{p=0}^{p=100} d \Delta p, \quad A_2 = \sum_{p=0}^{p=100} d \Delta p$$

この土砂の平均徑 d_m は次の様に定める。

$$d_m = \frac{\sum_0^{p=100} d \Delta p}{\sum_0^{p=100} \Delta p}$$

斯の如き土砂に対する限界掃流力を表はす從來の公式は次の形である。

$$T_0 = \frac{100}{0} d_m \frac{(\rho_1 - \rho)}{M}$$

但し ρ_1 は土砂の比重、 M は A_2/A_1 であつて d_m は mm、 T_0 は gr/m² にて表はず。

著者は各種の砂にてこの T_0 を實測し且つ Meyer-Peter 及び Gilbert の實驗結果をも參照して T_0 に対する次の公式を得た。

$$T_0 = 13.3 d_m \frac{\rho_1 - \rho}{M} + 12.16 \quad (T_0 < 100)$$

$$T_0 = 54.85 d_m \frac{\rho_1 - \rho}{M} - 78.48 \quad (T_0 > 100)$$

荷流量 q 、土砂の流量 g (何れも kg/sec) 及び土砂の徑 d (mm) に関する Meyer-Peter の公式

$$\frac{g^2}{d} = 17.4 + 0.4 \frac{g^2}{d}$$

より得た値とも比較的よく一致した。(本間 4)

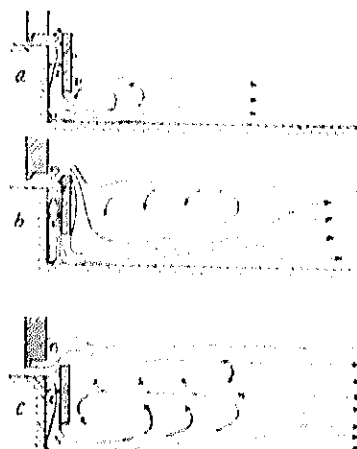
渦のない閘門取水口の進歩

(Emil Burkhardt, "Die Entwicklung der Schleuse ohne Umläufe," Bantech., 12 Juli 1935, S. 407~413.)

歐洲大陸の諸河川又は運河に於ける閘門の様に落差が 10m に近い大きさに達する時は、取水口より流出する水の運動勢力を消滅せしめる事が必要である。その目的に用ひられる方法は出口に面して隔壁を置き、流出せる水が之に垂直に衝突して種々の形の渦を生じ運動勢力の一部は消費される様にする。

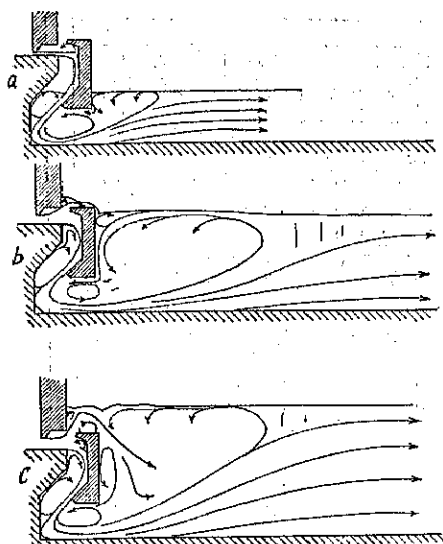
本文に記載する處はこの隔壁の形又はその位置に關する實驗的研究であつて、例へば第 21 圖の様な簡単

第 21 圖

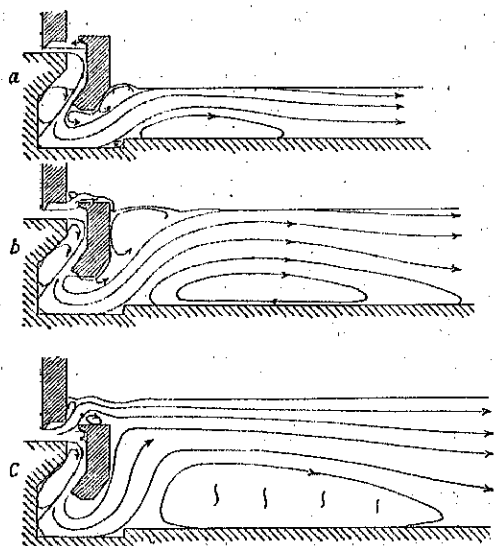


な形の隔壁を置き閘室内的水位を一様に變化させた場合には、隔壁の背後に於ける渦が非常に著しい事が知られる。然しその如く隔壁の背後に大なる渦を生ずる事は閘室内的船舶にとつては不都合であり、隔壁に取つても大なる船が加へられる事となるから流出口開放の速度が制限される事となつて来る。先づ隔壁の形はそのままとして流出口と隔壁の距離 x を $3x$ 及び $3x$ と

第 22 圖



第 23 圖



せる場合の実験の結果を示してゐるが之は第 21 圖と大差はない。

次に第 22 圖の様な形の隔壁を用ひ水の流路を弯曲せしめた場合は隔壁の下に於て水は比較的大なる上向きの分速度を有し、従つて速かに一樣の流れの状態に近づく。然し隔壁背後の渦は相當に著しいが、更に第 23 圖

の様に形を改めればこの有害なる渦は殆ど取り除く事が出来る。従つて隔壁に加はる外力も遂に減少する。

(木間 仁)

Manning 並 Lacey 公式と Kutter 公式の比較

Montes, "Simple Chart Showing Agreement
of the Manning's and Lacey's formulae
with that of Kutter" Water and
Water Engineering, June 1935,
p. 303~305.

開渠の流量に関する Kutter 公式は、英・米を始めとし世界各國に於ける標準公式である。従つて新しい流量公式の價値は、其の式形の單純さと Kutter 式に對する近似程度によつて評價される様な狀態である。Manning 公式即ち $v = 1.486/n R^{0.6} S^{0.5}$ の雖公式が、河川・上下水道等に廣く使用せられるのも、要するに計算の容易にして Kutter 公式とよく似た數値を示す事によるからである。但し H. W. King 教授の實驗によれば、Manning 公式は寧ろ Kutter 公式に優るとも考へられる。更に Lacey 氏は各種水路の實測に基き $v = 1.345/n R^{0.75} S^{0.5}$ の實驗式を得てゐる。此の兩者の粗度係数 n は Kutter 公式に於ける n と同一である。其の後流量に關する雖公式は多數の新公式が發表されてゐるが、多くは Manning 式と同型にして S の指數を 0.5 とし係數及び R の指數を變化せしめ、 $v = a/n R^{\alpha} S^{0.5}$ にて示す事が出来るものである。是等をよく観察すれば、指數 α が 0.65~0.88 の範囲では係數 a との間に $a = 1/x$ の關係が存在してゐる。そこで一例として $v = 1.22/n R^{0.82} S^{0.5}$ を作り、Manning 並 Lacey 公式と共に Kutter 公式との數値比較を行つて見た。其の階水路に於ける流量の許容誤差を約 5% とし、 n 、 R 、 S を變化して Kutter 式との差異が 5% 以下の公式を選出した。差異の更に大なるものは % をもつて示し、無記號は Kutter 公式の適用し難き範囲である。第 3 表にても明らかの如く、Kutter 式に對して Manning 式が最も廣範囲に類似してゐることがわかる。又各種の實驗により自然水路のみならず上下水道の管渠にも、Manning 式のよく適合することが認められてゐる。

以上の如き雖公式も最近に於けるノモグラムの研究によつて計算が益容易となり、今後大いに利用されるべきものと思ふ。

(米屋秀三)

第 3 表

n	.010	.015	.020	.025	.030	.040	.100
S	.000025	.000025	.000025	.000025	.000025	.000025	.000025
R	.00001	.00001	.00001	.00001	.00001	.00001	.00001
.10	● ○ +	● - 1	128 11	121 12	155 152	125 122	162 142
.20	○ ○ ○	● - 2	119 14	112 16	131 131	111 111	141 131
.40	○ ○ ○	● ○ ○	117 15	115 15	128 115	118 118	146 123
.60	○ ○ ○	● ○ ○	118 15	115 15	129 113	118 118	147 126
.80	● ○ ○	● ○ ○	116 14	114 14	116 10	114 114	143 114
1.00	● ○ ○	● ○ ○	117 14	117 14	117 10	117 117	143 117
1.50	○ ○ ○	● ○ ○	116 14	116 14	117 10	117 117	143 117
2.00	○ ○ ○	● ○ ○	116 14	116 14	118 10	118 118	143 118
4.00	○ ○ ○	● ○ ○	116 14	116 14	118 10	118 118	143 118
6.00	○ ○ ○	● ○ ○	116 14	116 14	118 10	118 118	143 118
10.00	○ ○ ○	● ○ ○	116 14	116 14	118 10	118 118	143 118
15.00	○ ○ ○	● ○ ○	116 14	116 14	118 10	118 118	143 118
30.00	○ ○ ○	● ○ ○	116 14	116 14	118 10	118 118	143 118
50.00	○ ○ ○	● ○ ○	116 14	116 14	118 10	118 118	143 118

Note:— ○ Manning $v = 1406/n \cdot R^{6.6} S^{3.0}$
 ● Lacey $v = 1745/n \cdot R^{7.5} S^{3.0}$
 ✕ $v = 1240/n \cdot R^{12} S^{3.0}$

7) 例句は一定の内力以下では止まるが、一定の内力以上では止まらない。

8) 弹性限以上の一一定の内力に対する歪の増加の速さは、時を経て一定となる。

9) 試験中に度々荷重を除去する時は、部分の伸長が甚だしく不規則になり、伸長率は甚だしく増加する。

10) 鉛の破損の原因は拘束内力である。

11) 烧鍊試験片は錫物試験片より引張抵抗が小である。

2. 扭曲試験に於て

1) 引張り試験に於ける 4) 5) 7) 10) 11) は鉛錫の場合にも認められる。

2) 扭曲の抵抗力は、試験片の形、歪の増加の速さで異なる。

3) 鉛の屈曲點は錫鐵の破壊點に似た點のあるのを認めた。

3. 摺り及剪断試験

1) 摺り及剪断試験に於ても、歪の増加の速さの大なる程、抵抗は大である。

2) 摺り試験に於て、摺りの角が相當に大になれば、それ以上の摺りに於て、摺リモーメントは一定となる。

3) 剪断試験に於て、最大剪断抵抗は僅少の応力の生じたる時に起る。

4. 加工、焼鍊及時效試験に於て

1) 加工の硬化は加工度の少ない間は、殆ど認め難い。

6. 材 料

鉛の機械的性質とその塑性理論

(中原益治郎、同上名パンフレット)
昭和 10 年 4 月

鉛の機械的性質は鐵や銅等と著しく異なる。著者は、引張り、壓縮、捩り、剪断、加工、焼鍊及時效の諸試験を行つて、試験片の標準を定め延性、弾性、脆性的測定法を見出し、又鉛管の設計方法、又鉛管の内圧試験に関する必要事項を調べた。上記諸試験の結論を列記すれば下記の如くである。

1. 引張試験に於て

1) 抗張力は歪の増加の速さの大なる程大である。
焼鍊試験片、錫物試験片及び鉛試験片について抗張力を比較すると、前二者は大差なく、後者は最も強い。

2) 全伸長率も最大荷重點に於ける伸長率も共に歪の増加の速さが大なる程大である。

3) 内力は歪と歪の増加の速さとに關係する。そして伸長の途中で歪の増加の速さを變化すれば、内力も亦變化する。

4) 弹性抵抗の大きさは、歪の増加の速さの外に歪の大きさにも關係する。

5) 鉛も比例限を測定し得られたるが爲に、彈性限あるものと認む。

が、加工度の増加と共に漸次増すが或程度以上になると餘り硬化に影響しない。

2) 加工の硬化は圧縮の歪よりも、圧縮力の方に大なる關係を有す。

3) 圧縮加工されたものでは、抗張力は焼鈍後數日間に、徐々に減少し、伸長率は30分間の焼純にて大に増大する。

4) 焼鈍後の常温放置は抗張力を少し減少し伸長率を減少する。

5) 試験片に10%の伸長を與へた後の常温放置は、抗張力を減少し、伸長率を減少する。

6) 20%の圧縮及焼鈍の後の常温放置は、初めの3日間に抗張力を減少せしめるが、其後は餘り影響を與へぬ。そして加工硬化の大部分は焼鈍と常温放置に依つても失はれずして、残存する。又伸長率は初めの1日の常温放置に依つて大に増大される。

之等の結果に基き著者は、内部摩擦説を探用し Saint-Venant の假定 "Maximum shear and maximum slide-velocity are co-directional" を内部摩擦説に適用し得る如く修正し、其上、"基本的塑性に於ては、一定量の $(\tau + \mu\sigma)_{max}$ に対して、一定量の塑性に力をなす、但しにりの方向は、 $(\tau + \mu\sigma)_{max}$ を含む面上に於て、其 τ の方向に等し" と云ふ假定を設けて、新らしい塑性理論を提言し、前述の通り、鉛管の問題に論及した。

(最上武雄)

木材の防火剤に関する実験報告

Kristen u. Sohlze, "Bericht über Versuche mit geschütztem und ungeschütztem Holz bei Feuerwirkung" Bauing, 24 Mai 1935, S. 252-254.

1. 実験の目的 所謂"必須塗料"即ち、安價で至る所で何時でも任意の量大求必得る簡単な薬剤に就て、その木材に及ぼす防火作用を試験し、又その效力を若干の著名な化學防火剤と新らしい試験規定に従つて比較せんとするのが此の実験の目的である。總ての家の持主が危險な時直ぐ大きな浪費なしに、又専門知識なしに小屋組に處理出来る、現在の木材構造物の處理に適當な薬剤を見出さんとするので、實験には塗抹及び吹付方法のみを採用した。Berlin 及び北獨逸の状況に應じ、實験に松を用ひた。

2. 実験法 實験は1934年8月30日、プロシヤの大蔵大臣の火災防止に関する構造物審査規定の告示に於て定められた試験方法に従ひ"燃焼困難さ"の證明

を行つた。此の告示に依れば火熱の作用の下に發火し即ち炭化し得るも、大氣中に於て自ら燃え續けない構造材料は"燃焼困難"なりと云ふ。即ち構造材料の加熱を中止された部分は短時間火灼熱の狀態に在り、幾分残つた焰が消え、從つて構造材料の燃焼が進行しない。"火にならぬ"と云ふ觀念は吹付又は塗抹方法を施した木材構造物では問題にならぬ。

木材は總ての實験に對するものを同時に1會社から求め、出来る丈同じ性質を有する様注意した。規定に依れば木材の溫度は8~10%でなければならぬ。後の圖に示す様な厚2.4cmの1×2mの板を作り、2枚を1組とし、防火剤を2回塗抹又は吹付けた。此の板の他に、防火剤を施さない板を有する面積4×2mの2回塗抹した小屋組を試験した。

3. 使用した防火剤 "必須塗料" としては著名な昔から防火剤として使はれた薬剤を用ひ、比較の爲、市場販賣の化學防火剤も用ひた。此の薬剤の1部分にアルミニウム・ブロンズの細粉を10%混じた。次に防火剤と處理法を示す。

1) 石灰乳 2回吹付, 2) 石灰乳 2回塗抹, 3) 石灰乳+水ガラス 10% 2回塗抹, 14日後試験, 4) 石灰乳+水ガラス 10% 2回塗抹, 28日後試験, 5) 泥白墨 2回塗抹, 6) 泥白墨+植物膠 2回塗抹, 7) 動物鹽 (Viehsalz) (飽和溶液) 2回吹付, 8) 明礬 (飽和溶液) 2回吹付, 9) 石膏泥 2回塗抹, 10) 石膏泥 2回吹付, 11) セメント泥 2回塗抹, 12) セメント泥+Trikosal 2回塗抹, 13) 動物鹽, 石灰及び水の混和 2回塗抹, 14) 泥漿 2回塗抹, 15) 水ガラス 2回塗抹, 16) 水ガラス 2回吹付, 17) 薬剤 A 2回塗抹, 18) 薬剤 A+アルミニウム・ブロンズ 10% 2回塗抹, 19) 薬剤 B 2回塗抹, 20) 薬剤 B+アルミニウム・ブロンズ 10% 2回塗抹, 21) 薬剤 C 3回吹付, 22) 薬剤 C+アルミニウム・ブロンズ 10% 2回塗抹, 23) 薬剤 D 2回塗抹, 24) 薬剤 E 2回塗抹, 25) 薬剤 F 2回塗抹, 26) 薬剤 F+アルミニウム・ブロンズ 10% 2回塗抹, 27) 薬剤 G 2回塗抹, 28) 薬剤 H 2回塗抹, 29) 防護しない松

4. 実験方法 板を第24圖の様に煉瓦積の實験室の燃焼室の戸口に差込んだ。實験室は2箇の油を用ひる火口を有し、一定溫度(最高約750°)を保つた。規定に依つて、火は5及び10分の燃焼後1/2分間中斷し、15分の燃焼後消した。更に5分(此の間に残つた焰は

消える)の後に板を戻す。第24図は、板が燃えながらも防護して、火災から保護するため、部屋に置き観察した結果である。そして約15分後、火は消えた。その後、炎熱部分が消失した。

燃焼室の内部、板から約18cmの3箇所(第24図右方至T₃)で温度の変化を測り、それから平均を出した。試験は処理後14日で行った。燃焼中の板の状態はたえず観察し、燃焼後の状態も調べた。

5. 実験結果 最も成績の良かった薬剤の材質係数を100とし、防護されない松の材質係数を30とし、その他の薬剤はその抵抗性に応じ100と30の間に並べた。第25図に總ての薬剤の材質係数を示す。薬剤1~11は規定に合格する。そのうちにも“必須条件”が5つある。

アルミニウムブロンズの附加は期待に反して不成績である。

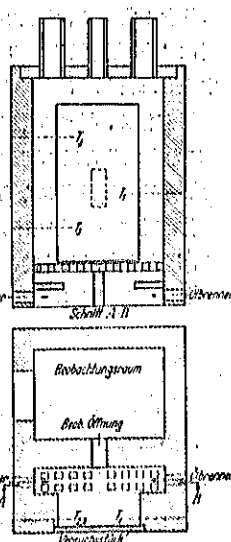
第4表

番號	薬剤	材質係数
8	B Al なし	90
7	B Al あり	80
4	F Al なし	90
14	F Al あり	60
10	G Al なし	70
17	G Al あり	65
2	A Al なし	90
18	A Al あり	65

水ガラスは塗抹方法は成績よく、吹付方法は悪い。明確及び泥石墨は期待通りでなく、石膏泥の塗抹は有效でなかった。然し石膏板及び塗抹は非常な防火性を有してみた。市場販賣の防火剤D, E及びIIは使用説明書通りに使つたが、アルミニウム・ブロンズを混用せずとも成績不良であった。動物油の飽和溶液が最も良く、期待以上であつたので試験をやり直したが同じでもつた。

小量組の場合は5kgの石油をかけた木を燃したが、火は15分で消えた。防火剤を処理した小量組は大きな防火性を示した。

6. 結論 動物油、セメント土池、石灰乳、水ガラスの如き“必須条件”が多く、高価な化学薬剤に決して劣らず、恐らく作用期間が異なるのみであると此の實験から



第25図

An. Material	Art der Behandlung	Durchfuehr.	
		Grund	Grund mit Zusatzstoffen
1	Zweckige Heizbehandlung	Grund	Grund
2	Mittel	Grund	Grund
3	Alte D	Grund	Grund
4	Mittel F	Grund	Grund
5	Zusatzstoffe und Zusatzstoffe	Grund	Grund
6	Kunstharz	Grund	Grund
7	Wasserfestes Alumosilicat	Grund	Grund
8	Zusatzstoffe	Grund	Grund
9	Alte D	Grund	Grund
10	Mittel C	Grund	Grund
11	Alte D	Grund	Grund
12	Alte D	Grund	Grund
13	Alte D	Grund	Grund
14	Alte D	Grund	Grund
15	Alte D	Grund	Grund
16	Alte D	Grund	Grund
17	Alte D	Grund	Grund
18	Alte D	Grund	Grund
19	Grund mit Zusatzstoffen	Grund	Grund
20	Grund mit Zusatzstoffen	Grund	Grund
21	Grund mit Zusatzstoffen	Grund	Grund
22	Grund mit Zusatzstoffen	Grund	Grund
23	Grund mit Zusatzstoffen	Grund	Grund
24	Grund mit Zusatzstoffen	Grund	Grund
25	Grund mit Zusatzstoffen	Grund	Grund
26	Grund mit Zusatzstoffen	Grund	Grund
27	Grund mit Zusatzstoffen	Grund	Grund
28	Grund mit Zusatzstoffen	Grund	Grund
29	Grund mit Zusatzstoffen	Grund	Grund
30	Grund mit Zusatzstoffen	Grund	Grund
31	Grund mit Zusatzstoffen	Grund	Grund
32	Grund mit Zusatzstoffen	Grund	Grund
33	Grund mit Zusatzstoffen	Grund	Grund
34	Grund mit Zusatzstoffen	Grund	Grund
35	Grund mit Zusatzstoffen	Grund	Grund
36	Grund mit Zusatzstoffen	Grund	Grund
37	Grund mit Zusatzstoffen	Grund	Grund
38	Grund mit Zusatzstoffen	Grund	Grund
39	Grund mit Zusatzstoffen	Grund	Grund
40	Grund mit Zusatzstoffen	Grund	Grund
41	Grund mit Zusatzstoffen	Grund	Grund
42	Grund mit Zusatzstoffen	Grund	Grund
43	Grund mit Zusatzstoffen	Grund	Grund
44	Grund mit Zusatzstoffen	Grund	Grund
45	Grund mit Zusatzstoffen	Grund	Grund
46	Grund mit Zusatzstoffen	Grund	Grund
47	Grund mit Zusatzstoffen	Grund	Grund
48	Grund mit Zusatzstoffen	Grund	Grund
49	Grund mit Zusatzstoffen	Grund	Grund
50	Grund mit Zusatzstoffen	Grund	Grund
51	Grund mit Zusatzstoffen	Grund	Grund
52	Grund mit Zusatzstoffen	Grund	Grund
53	Grund mit Zusatzstoffen	Grund	Grund
54	Grund mit Zusatzstoffen	Grund	Grund
55	Grund mit Zusatzstoffen	Grund	Grund
56	Grund mit Zusatzstoffen	Grund	Grund
57	Grund mit Zusatzstoffen	Grund	Grund
58	Grund mit Zusatzstoffen	Grund	Grund
59	Grund mit Zusatzstoffen	Grund	Grund
60	Grund mit Zusatzstoffen	Grund	Grund
61	Grund mit Zusatzstoffen	Grund	Grund
62	Grund mit Zusatzstoffen	Grund	Grund
63	Grund mit Zusatzstoffen	Grund	Grund
64	Grund mit Zusatzstoffen	Grund	Grund
65	Grund mit Zusatzstoffen	Grund	Grund
66	Grund mit Zusatzstoffen	Grund	Grund
67	Grund mit Zusatzstoffen	Grund	Grund
68	Grund mit Zusatzstoffen	Grund	Grund
69	Grund mit Zusatzstoffen	Grund	Grund
70	Grund mit Zusatzstoffen	Grund	Grund
71	Grund mit Zusatzstoffen	Grund	Grund
72	Grund mit Zusatzstoffen	Grund	Grund
73	Grund mit Zusatzstoffen	Grund	Grund
74	Grund mit Zusatzstoffen	Grund	Grund
75	Grund mit Zusatzstoffen	Grund	Grund
76	Grund mit Zusatzstoffen	Grund	Grund
77	Grund mit Zusatzstoffen	Grund	Grund
78	Grund mit Zusatzstoffen	Grund	Grund
79	Grund mit Zusatzstoffen	Grund	Grund
80	Grund mit Zusatzstoffen	Grund	Grund
81	Grund mit Zusatzstoffen	Grund	Grund
82	Grund mit Zusatzstoffen	Grund	Grund
83	Grund mit Zusatzstoffen	Grund	Grund
84	Grund mit Zusatzstoffen	Grund	Grund
85	Grund mit Zusatzstoffen	Grund	Grund
86	Grund mit Zusatzstoffen	Grund	Grund
87	Grund mit Zusatzstoffen	Grund	Grund
88	Grund mit Zusatzstoffen	Grund	Grund
89	Grund mit Zusatzstoffen	Grund	Grund
90	Grund mit Zusatzstoffen	Grund	Grund
91	Grund mit Zusatzstoffen	Grund	Grund
92	Grund mit Zusatzstoffen	Grund	Grund
93	Grund mit Zusatzstoffen	Grund	Grund
94	Grund mit Zusatzstoffen	Grund	Grund
95	Grund mit Zusatzstoffen	Grund	Grund
96	Grund mit Zusatzstoffen	Grund	Grund
97	Grund mit Zusatzstoffen	Grund	Grund
98	Grund mit Zusatzstoffen	Grund	Grund
99	Grund mit Zusatzstoffen	Grund	Grund
100	Grund mit Zusatzstoffen	Grund	Grund

云えよう。従つて尚木材の防火剤に對し、總ての化學工業の研究すべき條件があるものと考えられる。

(奥田秋夫)

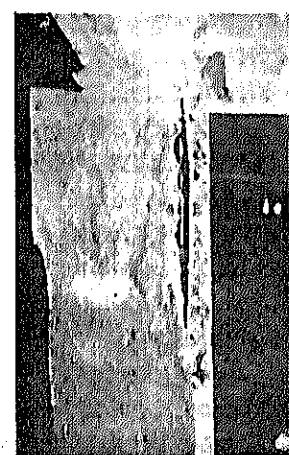
7. コンクリート及鐵筋コンクリート

二三の鐵筋コンクリート構造物の損壊と其の対策

(R. Bortsch, "Schwere Bauschäden an einigen Eisenbetonbauten und ihre Behandlung")
B. u. E. 6. Juli 1935, S. 201~203.

第1例 某モルタル工場に於て、竣工後約2年にして或る建物が危険な状態になつた。柱には、その縱鐵筋の捲屈に基づく縦の亀裂が無数に現れ(第26図)床板や床版にも多數の亀裂が発生した。柱の縦鐵筋捲屈の原因は、幅30cmの柱に對して縦鐵筋の間隔が所に依つては70cmであつた。やうに、縦鐵筋の間隔が大に過ぎたためである。

全面的崩壊の原因は劣等なコンクリートにある。即ち實際の構造物から切り取った供試體に就ての結果から、材齡28日の壓縮



強さを推定するより $57 \sim 75 \text{ kg/cm}^2$ になった。このやうな結果は、劣等な、そして風化したものを著しく多量に含む骨材を使用したこと、及び工場排水で汚染された水車用ホースから混淵用の水を探取したことによる。

修理方法：柱は鋼筋コンクリートで包被した。これは床桁の径間を縮めてその負荷を軽減する意味にもなる。龜裂が著しい床版では、悪いコンクリートを新しいコンクリートで置き換へたが、大して危険でないものでは、機械油等の滲透を防ぐために龜裂を閉塞しただけである。

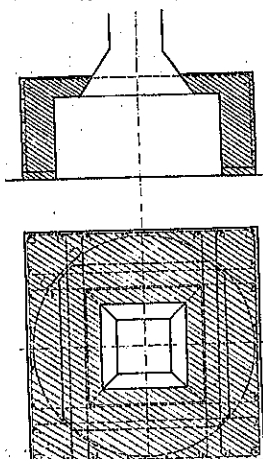
第2例 1921年のことであるが、某磁器工場の建築工事中、材料 6 月にもなるのに、柱脚基礎のコンクリートの或る部分が依然として硬化せず、手で搔き落せる位であった。また地下階の外壁では、硬化したコンクリートと、未だに軟くてボロボロな部分とが交互に水平の層をなして居た。此の原因がコンクリート混淵に使用した水にあることが直ちに認められた。即ち、現場附近の淡流の水を使用したの

第 27 圖

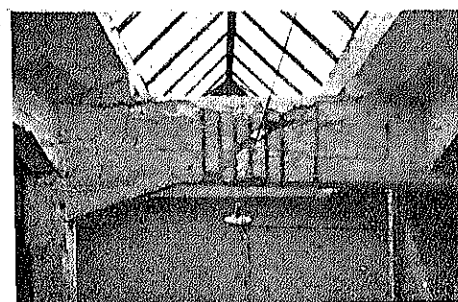
であるが、その上流にある他の工場の酸性の汚水が流入したためである。しかもその汚水は数日置きに間歇的に排水せられたものであつて、これに依つて地下階外壁のコンクリートに硬軟の水平層が現れた譯である。其の他の部分のコンクリートには井戸水を使つたので、何等の異状も認められなかつた。

修理方法：柱脚のコンクリートは、之を取かへることは不可能なので、第 27 圖の如く舊柱脚を鋼筋コンクリート面で包被補強した。此の鋼筋コンクリート面の設計に際しては、内部にある舊柱脚のコンクリートがボロボロがあるので、之を土砂と假定し、それに加はる上載荷重に依つて生ずる側圧及び浮力を土壓論に依つて計算し、これに充分なるやうに設計をした。

第3例 竣工後 12 年の某建物が崩壊に瀕した。第 1 階には大した龜裂も見られなかつたが、それより上層に向ふに従つて龜裂の數が増し、殊に根屋版を支へる桁には無数の龜裂が大きめを開いて居り、賭所方々でコ



第 28 圖



第 29 圖



(龜裂を横切つて鉛が打つてある)

ンクリートが剥落し、床版と桁との結合も破れて居た。(第 28, 29 圖) 支間 7.85 m の主桁の幅みが 7 cm もあつた位である。

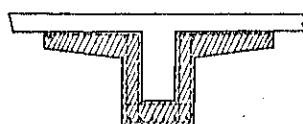
このやうな惨憺たる状態になつた原因は劣等のコンクリートと設計及施工の不備にある。骨材には、風化して脆弱になつた砂利や粘土を多量に含んだものを其のまゝ使用し、且つ施工中霜害を蒙つたことも推測せられる。採取したコンクリートで圧縮強さを試験すると $80 \sim 90 \text{ kg/cm}^2$ しかなかつた。化學分析で配合比を調べた結果は想像し得ない位のものであつた。屋根版主桁の龜裂は、型枠取外しの際に既に発生して居たものと考えられる。それは、上蓋の下に龜裂を横切つて打たれた多数の鉛を発見したからである(第 29 圖)。所々では鋼筋が露出して居たが、之に依つて鋼筋の配置を見ると實に出来目であつて、第 30 圖のやうに、鋼筋同志が密着したり或はまた左右不對稱になつて居た。柱では、上半部及び柱頭の部分には全然帶鋼筋がなく、それがために縦鋼筋が埋り居て角のコンクリートが剥落して居た。

修理方法：最も損壊の甚しい最上階では、全部の主桁や横桁を第 31 圖のやうに溝形の鋼筋コンクリート桁で補強した。この溝形桁の兩側のフランジは、床版の支間を縮少して、これを補強する意味にもなる。第 28 圖に示した桁は全部鋼筋コンクリートで補強した。それ

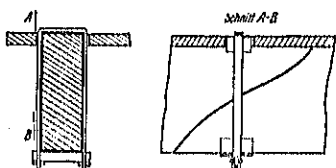
第 30 圖



第 31 圖



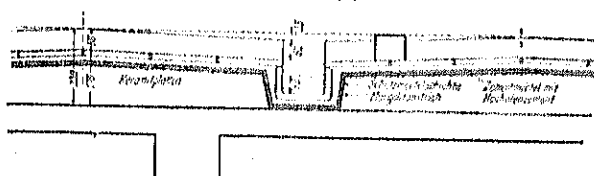
第 32 圖



より下方の階では、特に破裂の甚だしいものは第 32 圖のやうにしたが、火して危険でないものは、第 31 圖のやうに破裂のある部分に用い鐵板の擴を卷いて補強した。其他柱、柱頭、伸縮目地等の補強の詳細は省略する。

第 4 例 某製麻工場の 3 階の床が油に冒されて危険になつた。床面は最初はアスファルトが塗つてあつたのであるが、紡績機から常に飛散する染油のために、其の當時は糊の如くなり、この油は鐵筋コンクリートの床版に完全に滲透し、更にその下の柱にまで滲透して居た。このために釘や壁を容易に數種も打ち込み得る位にコンクリートが軟かくなり、鐵筋との附着力は害はれ、柱は著しく揺んで居た。但し剥離は少しも見られなかつた。染油は一般に礦油であるが、礦油だけであればコンクリートの強度は勿論弱めるが、化學變化を起すことはない。然し染油の中には多分の脂肪油が含まれて

第 33 圖



居て、これがセメント中の石灰と化合して致命的の影響を及ぼすものである。

修理方法：油に冒された柱と床版は全部新しいもので置き換へた。但し鐵筋としては、在來のものを清潔して再び利用した。新しい床版が再び油に冒されるのを防ぐためには、第 33 圖に示すやうに、石灰分少く從つて酸に強い高爐セメントを使用した軽量コンクリートで適當な勾配を付け、この上に Margallit の層を作つた。之は油には強いが、乾燥するのが遅く、軟かいうちにはセメント中の水酸化カルシウムに腐されるので、保

護のために Inertol を塗つた。更にその上を高爐セメントのモルタルで押へ、Keramit 板を敷いて床面を仕上げた。
(福岡武雄)

コンクリートの衝撃強さと圧縮強さとの関係

Otto Speth, "Ueber Stossfestigkeit und ihre Beziehung zur Druckfestigkeit," B. u. E.
5. Juli 1935, S. 213~214.

コンクリートの材料強弱試験に於ては、從來否現在に於ても、その壓縮強さのみが重要視されて居る。これは、今までの數多の實驗に依つて、コンクリートの引張強さ、曲げ強さ等と壓縮強さとの關係が可成り明確に知られたことと、鐵筋コンクリートに於てはコンクリートが主として壓縮に抵抗し、張力は之をすべて鐵筋でとらせるといふ、實際の設計方針とに基づくと思はれる。然し、最近に到つて、コンクリート又はセメントの品質試験としては、單に壓縮試験だけでは不都合であつて、構造物の種類や負荷の種類に應じて、引張試験或は曲げ試験を行ふべき必要が一般に認められて來た。

之と同じ意味に於て、コンクリート道路、鐵筋コンクリート枕木或は防空耐弾構造の如く、主として衝撃に對抗すべきものに對しては、從來の考へ方若しくは試験方法では不充分であつて、どうしても衝撃試験又は動力學的材料強弱試験を行ふ必要がある。古来、金屬材料では衝撃試験が一般に行はれ、鋼構造物でも最近盛んに振動試験が實行されて來た。

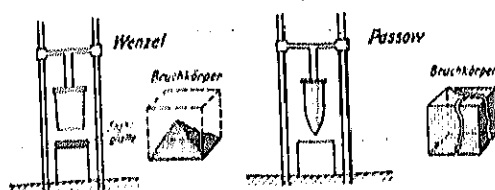
然るにコンクリート又はセメントに就ては、衝撃試験標準方法は勿論のこと、衝撃強さ (Stossfestigkeit) の定義すら定まって居ない。この問題が始めて擇頭したのは、大戰中鐵筋コンクリート船が作られたときで高かつ當時 (1918) Passow¹⁾ がコンクリートの衝撃試験を行ひ、構造物又は負荷の種類に應じて、從來の靜的試験の他に動的試験も行ふ必要あることを強調したが、最近 (1934) に至つて Wenzel²⁾ が再び此の問題に手を付いた。

Passow も Wenzel も共に第 34 圖に示すやうな落鉢試験の方法を採用した。供試體は共に立方體であつて、その 1 邊は、前者では 7 cm、後者では 10 cm であ

¹⁾ Dr. Passow, "Druckfestigkeit, Zugfestigkeit und Zerschmetterungsfestigkeit," 1918, Zementverlag.

²⁾ Dr. Wenzel, "Beitrag zur Stossfestigkeit von Beton," Dissertation, Leipzig 1934.

第 34 圖



る。此の落锤試験の方法がコンクリートの衝撃強さに對して適當であるや否やは別問題として、兩者の結論は相矛盾して居る。即ち Passow は“コンクリートの破砕強さ (Zerschmelzungsfestigkeit) と壓縮強さとの間には何等の關係もない。壓縮強さが極めて小なるものでも、場合に依れば壓縮強さが大なるものより遙かに優れた破砕強さを示すこともある”と結論し、之に反して Wenzel は“コンクリートの衝撃強さはその壓縮強さに正比例する。従つて壓縮強さから衝撃強さを判断し得る上、衝撃強さの大きいコンクリートを得んと欲すれば、その壓縮強さが大になるやうにすればよい。”と結論した。

此の兩者の主張の間の矛盾は、一見不可解ではあるが、兩者の實驗方法の差異を考へれば、兩主張とも是認されるべきものであつて、これが矛盾することが平常なのである。

Wenzel が使用した鍼は平坦な底面を有し、しかも供試體の頂面に相當の厚さの鋼板を設え、之を面で供試體に衝撃を傳へるものであるから、衝撃のエネルギーは供試體の頂面全部に均々一様に傳はり、負荷強度又は應力状態から見れば、普通の靜的壓縮試験の場合と同様である。供試體の破壊状況も普通の壓縮試験の場合と同様であつて、こゝ、やうな實驗から上記の如き結論が得られるのは當然のことである。

然るに Passow の場合には鍼は突つて居て、しかも之が直接に供試體に直接に衝撃を與へるものである。即ち供試體の頂面の一點に衝撃のエネルギーが集中して作用するものであつて、供試體は第 34 圖に示すやうに破壊し、其の破壊機構、或は單に靜力學的に考へても其の内部の應力狀態は、普通の壓縮試験のそれとは根本的に相違し、従つて此の方法に依る實驗の結果、衝撃強さと壓縮強さとの間に何等の直接的關係がないといふ結論が得られるのも無理なことではない。

斯くて如くコンクリートの衝撃強さと壓縮強さとの關係は、Passow と Wenzel の實驗的研究にも拘らず、依然として未解決であり、コンクリートの衝撃試験方法そのものの研究と共に、今後に残された興味ある問題と

思はれる。尚、衝撃に對するコンクリートの抵抗力は、その衝撃の働き方に依つて非常に相違するものであつて、衝撃試験を行ふ場合或は其の結果を實際に應用する場合等に於ては充分に注意して判斷を誤らないことが肝要である。

(福田武雄)

新設計の鐵筋コンクリート橋

(Engineering in Foreign Countries, "Concrete Flume of Naval Design" E. N. R., July 4, 1935, p. 19.)

スペインの Aragon 州の Tardienta に於て、目下建造中の鐵筋コンクリート橋は全くの新設計に成るものである。

全長 880m、内徑 7.30m で、之を支持する鐵筋コンクリートラーメンは、高さ平均 10m で、15m 間隔に配置した(第 35 圖)。

ラーメンの底版は、厚さ 80~100cm で、地表面下 8m の範圍内に埋設した。

橋の横断面形狀は弦月狀で、厚さは高水面の所で 15cm、底部で 70cm ある。

橋の側部は、接線方向に上部へ約 0.6m 延長し、更に内方へ幅約 1.20m の歩道用片持梁を突出せしめてゐる。

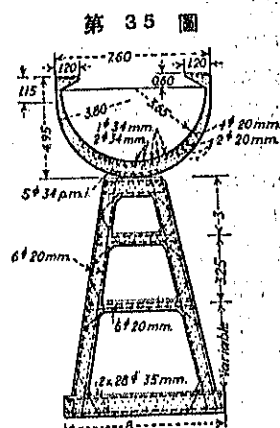
橋とラーメン間の支承面は、厚さ約 16cm の鉛板を以て保護せしめた。

橋は約 3~6 kg/cm² の接線方向の剪應力を受け、横方向及び縱方向の變形を生ずる處の連續構造として設計せられた。

之に依れば、同様の四角形橋に比し、約 20% の節約を挙げた。

設計者 (Professor E. Penn Bouef) に依れば、抗張側を通じて剪應力均等なりとする従來の假定は、全く當を得てゐないものであつて、この假定に依れば、橋の上端断面では、本設計の 3 kg/cm² 並びに 20 kg/cm² といふ非常に莫大な値の剪應力を有する。

此の大膽な設計は、果然驚いたる論争の渦を巻き起したので、之を照査する爲に、最初の 5 徑間 75m に完全



なる試験を施す事になつた。即ち下流側の端を木製隔壁で閉鎖し、次いで高水位上約25cm以上も水を滿じ、夜通しに耐えしめたのであるが、精密なる測定の結果は、本設計理論の正當なる事を完全に實證した。

(吉藤幸男)

8. 施工

回轉式潜函基礎設置法

(“Rotating Foundation Caissons Drive their Way to Rock” E. N. R. July 11, 1935, p. 37-41.)

New York 市 Manhattan の新建築の潜函基礎に大鐵圓筒の先端を鉛錠にして回轉しつゝ、65~70呎の砂、粘土、玉石等を貫いて岩盤まで達せしめた。この新方法による基礎圓筒の直徑は4~8½吋、長さは平均66呎で、ねじ込まれる間にその中の土は高壓の回轉する射水によって大部分削除される。沈下速度は土質によつて違ふが普通1時間に12~30呎である(第36図)。

掘削は El-4 (El 0 は平均海面；地表面は El+20 である)まで行はれた。地下水はこの底面に爲つてゐた。上部地質は粘土性砂質で、その下に砂質粘土層があり、岩盤は El-70 に凹凸をなしてゐる。下層には火石が裸山あつた。

直徑4~8½呎の潜函筒112個が岩盤まで達してゐる。その厚さは第一時とした。數個の潜函筒は3500t以上の荷重を受けてゐる。その場所で50個のボーリングを行つて各潜函筒の岩盤までの深さを決定した。

1. 筒の製作 潜函筒は Pennsylvania の工場で作られ、1つの筒を上下略等しい長さの2種の断面にし

た。工場鎔接により筒の大きさに應じて2~3枚の縦帶板を接合して圓筒を作つた。下方断面の底部には作業室があり、先には掘削用の刃がついてゐる。内側の袖剛輪は8吋の曲溝形鋼又は1×8吋の鋼板から成り、筒に鎔接してゐる。下半部の筒の内面には筒の太さに應じて1~2本の山形鋼を鎔接して三角形の回轉する射管とし、回轉中に破壊しないやうに下端から少し上の所で終つてゐる。この射水管の先端には筒に擴孔錐塊を鎔接して保護してある。

上半部の筒も大體同じであるが山形鋼の代りに2吋のパイプを内側に取付けて下と結合した。上端には内側に輪廓山形を鍛結して回轉子の頭板に密着するやうになつてゐる。

筒は小さい筒を大きい筒の中に入れて運搬車で搬入し、クレーンで卸し、両半部を合せて、衝合接合法により電弧鎔接を行ひ1本の潜函筒とした。こゝで下端に歯を瓦斯焰で作った。種々試みた結果第37図に示す如き方法を取つた。歯は交互に内外に幾分曲げて劍のやうにした。斯くすることによつて歯の厚さの約2倍の切口を作り得る。歯の磨耗を防

第37図 筒の下端に歯を作りタングステン炭化物を表面に鎔着す。下段はその完成せるもの



第36図 鋼筒潜函の回轉式沈設を行つた工事現場

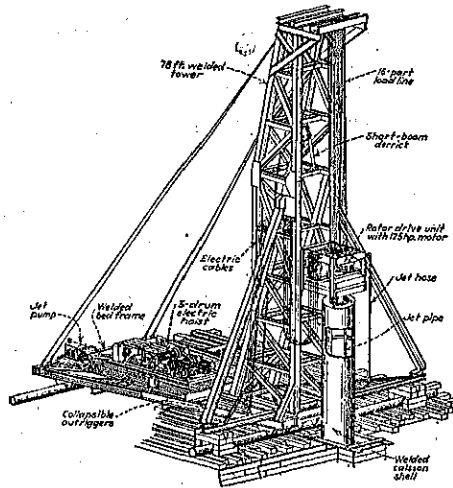


ぐために表面にダンガステン炭化物を被せた。沈下後に檢し得るものによれば何等磨耗の現象は表はれてゐなかつた。

回轉子の頭板と筒の結合は種々の直徑の筒に應じて大きな呉つた頭板を用意して置く。この頭板には筒内に射水管に連結するホースの取付がしてある。

2. 回轉装置 高さ 78 呎の全鋼接構造の塔は、同じく銹接した構床に支へられて立つてゐる。後方には 3 個の捲上用圓筒があり、その中の 1 個は回轉筒に他の 2 個は潜函筒をその位置に立てるためのものである(第 88 圖)。回轉筒は捲上機により上下する。その總重量は 51t に達する。

第 88 圖 銹接塔の回轉装置



125 馬力の電氣電動機によつて回轉子を動かせるが、ギヤーの作用により 1 000 000 呎封度の側力を與へる。

筒を立てゝ回轉するためには地面上に淺い四角の穴を掘つて木枠でかこむ。先づ筒を吊して正しい位置に建てる。その間に塔の底にある移動式基床は動いて筒を塔の中に延込む。筒が正しい位置に立つたときに回轉子は下つて筒の頭板と組合ひ、射水管を連結して沈下作業を始める。

3. 回轉作業 回轉作業潜函筒を地上に立てるとき筒は自重で幾分沈下する。回轉を始める前に先づ射水ポンプを動かして水を一部に満す。次に運転夫は逆流計を見ながら 100~200 アンペア以上にならないやうにモーターを動かすが、堅い地盤では 400 アンペアに達することもあつて、これは最大限である。常に注意しつゝ回轉するが大石等に當ると沈下がおそくなる。回轉速度は 1 分間 8~11 回である。

筒と回轉筒との結合は幾分中心を外してあるので、回轉も少し偏心的である。

筒内の静水頭壓で射水された水は刃の下を通て筒外に出て、土と一緒に螺旋狀に筒に沿つて出て来る。出た水は掘鑿土を含み板固ひの中に登つてきて溝を傳つて流れる。そのとき沈没する土は直ちにショベルで出すが、浮遊土は射水ポンプの吸口に行く。報告によるとこの泥水を射水に使ふ結果は清水よりも滑油材として有効に働くといふ。ポンプの軸承は泥水を使ふと自然に悪くなるので、軸承タンクスチーン炭化物で堅くして壽命を延ばすことが出来た。

この方法による土の損失は輕少であるといはれ、潜函筒内の静水壓は充分に高いので外部の土砂が下から侵入することなく、且偏心的回轉をなすために射出水の登つてくるときに外の土が洗はれず押しつけられる。砂の場合にも周囲の土が洗はれて登つてくる徵候は認められないといふ。

玉石に當つても困難なく回轉筒に切斷される。石が潜函筒の最中にあればそのまま離れて筒内に残る。

回轉を止める前に筒が確實に目的の岩盤に達したか否かを判断するに注意しなければならない。回轉筒の動きによつて岩盤中に幾分入つたことを判断することが出来る。併し一部の堅い層又は玉石に當つて岩盤と誤り、或ひは筒の一部が岩盤中に入つてゐるが一部が未だ達しないことがあつて、都合の悪いこともある。

4. 空気を必要とする場合 潜函筒が岩盤に達して回轉装置及頭板を取去ると、筒内の土砂の 65~75% は射水と共に洗はれてゐるが玉石や岩片等は残つてゐる。これらはバケット又は其の他のもので取出し、水はポンプで排水するが、底の緻密な掘鑿は人手を用ふる。もし筒が岩盤中に侵入出来ず人が入つて更に掘らなければならぬ場合には、作業を中止して空気を筒内に送る。

最後の封塞のためには筒の半分位まで空気を入れなければならない。筒内を空にして岩盤に入つてゐない部分には I 指を支へ用として使用する。

筒を封塞するコンクリートは空の間に 25 呎の厚さにする。併し 10 呎の場合もある。(傍島 漢)

Kleine Belt 橋の基礎工事に就て

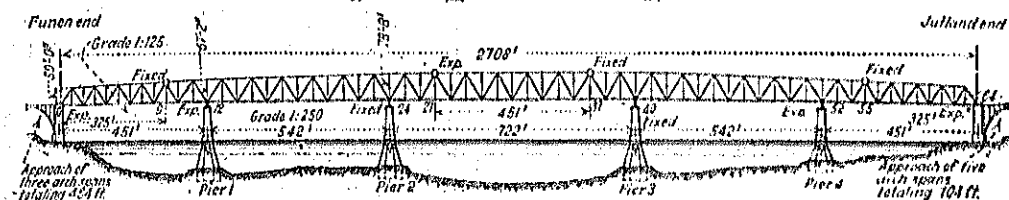
(Anker Engelund, "Danes Introduce New Caisson Practice at Little Belt Bridge")
E. N. R., June 18, 1935, p. 841~845.

建設箇所: デンマーク國 Little Belt 海峽(第 99 圖)。

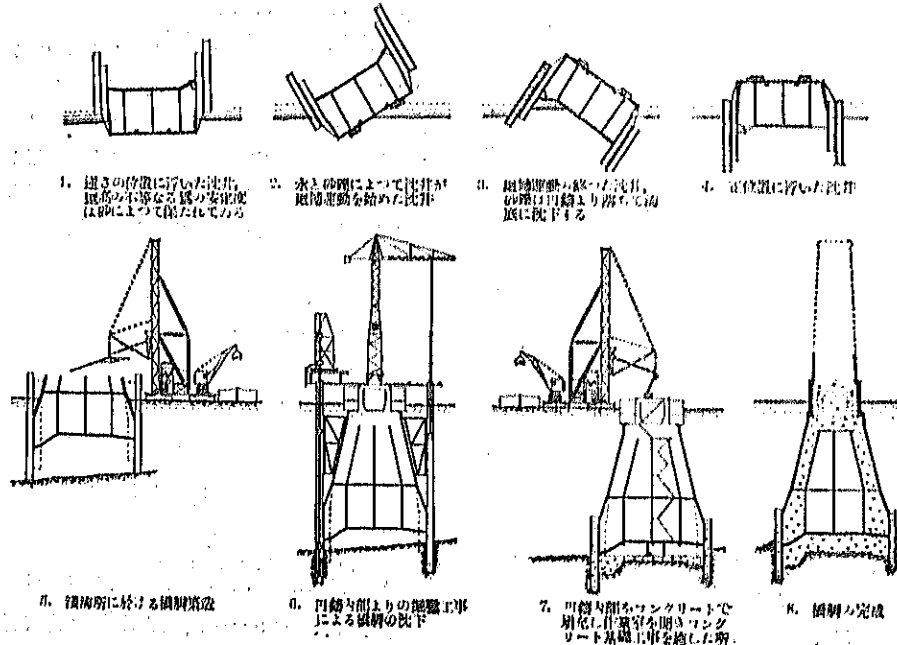
第39圖 橋梁架設位置



第40圖 Kleine Belt 橋



第41圖



現場状況：水深は海岸に於て 65 フート、中央に於て 130 フート、幅員 2700 フート、荷時速 6~8 リットルの潮流あり、基礎地盤は青緑色粘土質で深く且同質にして水密性水面上高は 110 フート。

橋梁構造：5 径間の片持梁橋で両側に 454 フートと 704 フートの側径間を有す(第40圖)。

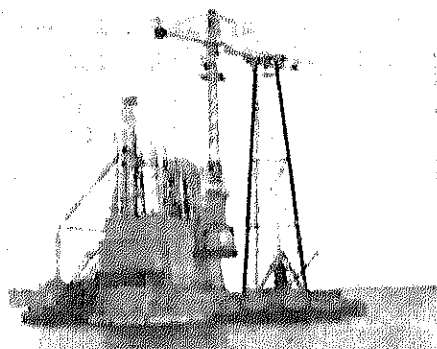
工事：請負工事で上部構造と下部構造を別々に契約工事した。

1. 基礎構造並建設方法：直徑 3 フート 10 吋の鋼管を以て側面を不透水性に張りめぐらした高 93 フートもある作業室を有する沈井を、木製の滑臺上に逆さまの位置に作製し、容易に進水出来る様に砂礫によつて支へておく。所要懸力は作業室を形成する 93 フートの側について求められ鋼管は附加分の骨材として動らく様に考へられた。此砂礫を空にして進水させ、之を現場に引き廻轉せしめて之に水を載荷して沈下した後、所要深さ迄沈下せしめる爲に沈井の上部に鉄筋コンクリートの作業場を

作業室の上に 9 機の格式回轉起重機を建設し、牌の鋼管の水面上に出でる部分より内部を通じて壁に沿ふて廻りながら起重機の先に付けられた特種な掘鑿機を用ひて掘鑿を行つた。此掘鑿工事は非常な好成績で行はれた。土層土壤に於て玉石があった爲火薬防害されたが、之等は特種な揚揚機で除去する事が出来た。作業室の屋根が溝底に達した時、即所要の深さまで油井が沈下した時に、容積 1 立方碼のバケツで水中コンクリート工事が施された。開拓内は之によつて完全に水密に密閉されたのである。此ノシタリートの硬化を待つて作業室が開かれ水を排出し海底の上層土壤を掘鑿しその空地をコンクリートで密閉し基礎工事を完成したが、之等作業室内の仕事は全然隔離空氣を用ひないで行はれたと云ふ事が油井工事の特徴の一つである。

2. 橋脚構造工事並に工程 河底上層土壤深度 11'-100' 基礎深度 11'-130' 呢、最高橋脚高 22' 呢、完成後の橋脚重量 600,000 吨、橋脚の土壤に及ぼす壓力 5,300 lb/in² 全荷重に対する最大道客能力 11,200 lb/ft²、最底部橋脚寸法 145 呢 × 73 呢、水面接觸部 115 呢 × 34 呢、頂上部 70 呢 × 30 呢、進水時の油井の高さ 50 呢～60 呢、

第 43 圖 橋脚建設工事現場



重量 7,000 t、完成後 120 tである。1 本の橋脚完成迄要 1 年半期間は 2 年半であるが、之を大別すると
① 運水前の油井製作…5 ヶ月、② 油井仕上及揚付…6 ヶ月、③ 油井掘鑿及上層掘鑿…3 ヶ月、
④ 掘鑿及回轉完成迄…3 ヶ月、⑤ 作業室内の仕事…1 ヶ月、⑥ 橋脚仕上…1 ヶ月。

(傍島 誠)

水深 60 呢の一重鐵矢板構切工

(N. F. Helmers, "Cofferdam for 60-Ft. Head With One Line of Sheetings" E. N. R.)
July 4, 1935, p. 14-15.

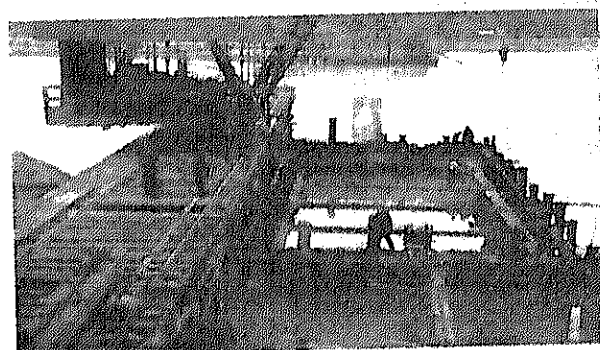
1933 年 12 月、Washington の Cowlitz 河の大洪水の爲、L. P. & N 鐵道橋の中央木製構脚が洗去され、旋回橋間が陥落してしまつた。

鐵道會社の事故の爲に、流路裡間に 185 呢の迴轉跳上げ橋 (rolling lift bridge) を架する事にした。設計としては、橋脚を火山灰層中に 3 個設け、その封絶層の底部を水深 60 呢の位置にあらしめる事にした。尙ほの築造には、鐵板締切工に依る事にした。

跳上げ間の支持橋脚 (第 1 橋脚) は、河の南岸に位し、37' × 69 1/2" の底版上に、中心線間 42 呢のコンクリート・シャフト 2 基を設置したものとする。他方の橋脚 (第 2 橋脚) は、底版 24 1/2" × 37 1/2" で、シャフトは 1 基である。

締切工に對する木製綫構の細部構造は、第 43 圖に明示する如くである。第 1 橋脚の場合、6 組の木棒を用ひた。各棒は 10" × 24" の側材と 10" × 12" の底脚

第 43 圖



材で形成せしめた。5 組の中、5 組は 10" × 12" の垂直材に依つて両端を約束し、後の 1 組即ち底脚のものは、落し棒 (drop slot) として設計した。第 2 橋脚では、第 1 橋脚のものに比し、締切高が 6 呢高いため、木棒が 1 組多いだけでは之と同様である。

各鐵矢板は、復讐式撞機で打込んだ。矢板は、4 枚毎に外から 7/8 吋ボルトで、上部外方に誘導取付を行つた。

掘鑿が -20 呢に達した時、鐵矢板が僅かに内側に傾斜する傾向のあるのが観測されたので、掘鑿を中止し、落し棒を締切内に入れて、掘鑿側面の底部を強化した。残り

の木枠は垂直材に依つて剛體を形成せしめ、落し枠の上部に重錘を附して沈下せしめた。斯くて掘鑿を續行し、掘鑿の進むに従ひ、落し枠及び剛體を順次沈下せしめて行つた。掘鑿が -80 呎に達した時、矢板壁の内側は傾斜が可成り著しくなり、剛體は最早重錘を附す位では沈下しなくなつた。仍つて、之を所定位置に沈下せしむる爲、縦切を横ぎつて木材を配置し、之を釣付ボルトで矢板に連結し、35 t 水壓ジャッキ 8 台の助けと、蒸氣鍛機の使用に依り、漸く剛體を所定位置から 8 小時の點迄壓下せしむる事が出来たが、之以上は實際上沈下せしむる事が出来なかつた。

水槽中、第 3 木枠が水面上に現れた時、この枠の枠材に木理を横切る腐済が生じた。仍つて直ちに、その木枠の直上に別の木枠を載置して、過剰壓力に對抗せしめた。

元來この縦切工の設計には、從来多數の工事に施して成功した時の假定と同一假定を用ひたのに關らず、この事故を起した事は、如何に火山灰の外盤が大であるかを示すものとして極めて興味深いものがある。

上述の過程に於て偉力を示した、堤防の荷重と、橋脚を取巻く火山灰の特性に依る強大なる壓力は、矢板引抜作業をも著しく困難ならしめたのであって、引抜いた際、繼手下方を剪断せられたものが數枚もあつた程である。

(吉藤幸助)

棚附擁壁の原理と應用方法

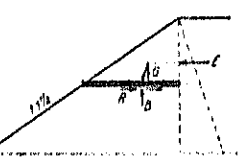
(Alfons Schröter, "Das Gitterwandprinzip und seine Anwendungarten" B. u. E.
Juli 20. 1935, S. 222-226.)

第 44 圖に於て、表面の粗な板を土中に押入すると土壓力が水平に働いて板の下側に作用する摩擦抵抗と釣合ひを保つ。その限界に於ては次の條件が成立する。

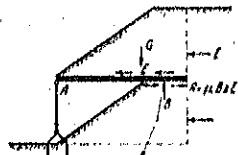
$$B = \mu \cdot R \text{ 故に } \mu : \text{摩擦係数}$$

第 45 圖は棚附擁壁 (Gitterwand) の基本の第 1 形式を示す。水平に置いた板を一端は自由に廻轉されるる支壁に支持させ、他端は土の面に載せてある。この

第 44 圖



第 45 圖

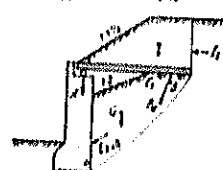


面に於て前述の如き條件が充されて居る。板の上に載る土の重量の一部は支壁に反力 R として働き、他の大部分 B は土盤と釣合ふ摩擦力 f と共に板を通して下の土に傳達される。今板が深層に據る場合を考へると、土盤は理論上深さに比例して拡物線狀に増加するが支持反力 B は直線的にしか増さぬから、板の長さを次第に大きさ b その後端を結ぶ線が土盤の分布圖と同じ拡物線とする必要がある。その極端な場合第 46 圖に示す様なそれが自身安定を保つ擁壁となる。此の如く擁壁及び基礎は棚附擁壁の原理によつて土盤を除去する事が出来る。實驗の結果この原理の正しい事が判つた。

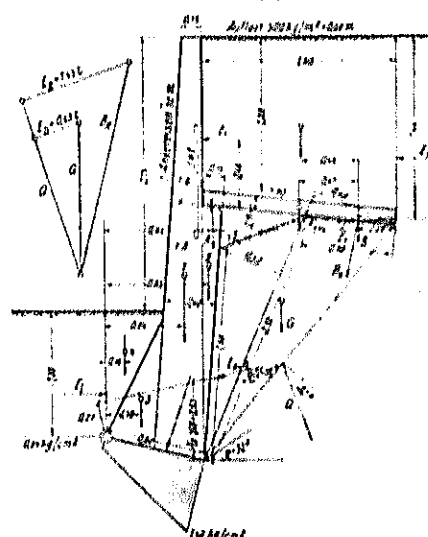
次に第 47 圖は基本の第 2 形式を示す。第 1 のものと異なる處は板の長さが短い事で、第 1 のものは板が自然勾配の直に深く達して居るに反し第 2 のものは漸く滑り面に届く程度である。この形式も亦充分土盤の輕減を計り得る。

第 47 圖に於ては板は力 B 及び R を擁壁と滑り面に挾まれる土塊に傳へ、土塊より生ずる土盤と一緒になつて擁壁に働く。第 48 圖にしばしば應用される實例の一を掲げ反力の求め方を示す。滑り面上の土塊は板及び土の上と一體となって働き載荷重が大きくなる程愈々擁壁安定となる。板より直接壁に傳はる垂直力 A は擁

第 47 圖



第 48 圖

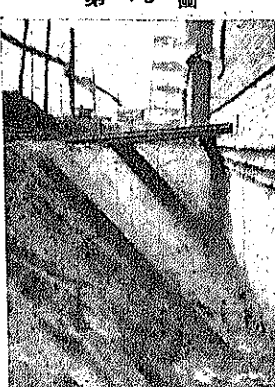


壁を後方に回転する如く働き、土壁 E_{R+G} は板の影響を受けて著しく低い作用點を有する結果、基礎に於ける合力は中央より後方を廻り反力の分布は前方より後方の方が大となる。この事實は擁壁の安全度を著しく高める。

棚附擁壁は 1933 年 Berlin で始めて實現

見て以來廣く用ひられ、その應用は擁壁橋臺は勿論の事、電柱、マスト、隧道の疊架に迄及んで居る(第 49 圖)。その特徴とする處は、土壁を除去して安定をよくする外震動を防止し空間の利用にも適する事である。基礎容積の節約が出来るから經濟的でもある。

(瀧山 義)



第 49 圖

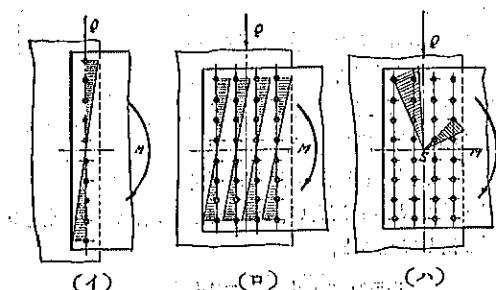
9. 橋梁及構造物

ノモグラムに依る腹板鉄配列の決定法

G. Baurat, "Die Berechnung der genieteten Stegblech-Stossverbindungen mit einem Nomo-gramm zur Ermittlung des günstigen Nietbildes" Bauing. 7. Juni 1933, p. 313-316.

腹板の鉄結合に普通用ひられる計算法は曲げモーメント M (第 50 圖(イ)) を傳へる各鉄の應力が中立軸からの距離に比例して増加すると云ふ事から出發してみて、計算を簡単にする爲に多數列の鉄結合の際にもこの假定は用ひられてゐる(第 50 圖(ロ))が、その増加は中立軸からの距離に比例するのでなくて、鉄配列の重心 S (第 50 圖(ハ)) からの距離に比例すると假定した方

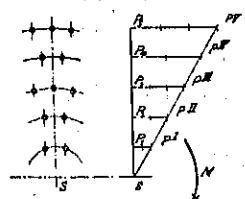
第 50 圖



が實際の應力により適切であらう。この考へ方を矩形をした普通の鉄の配列に用ふると、實際に用ふるには、少し複雑となるが、重心 S に関する鉄の配置と鉄が S を中心とする圓周上に配列する事にすれば、極めて簡単なる公式を得るのみならず、製作に際しても鑽孔等にさして困難を感じざる事なく、鉄断面をよりよく利用する事が出来る。

第 51 圖

同心圓上の鉄配列



は各腹板帶狀片の受ける應力とする。

$$\text{即ち } P^I = z_1 P_1, \quad P^{II} = z_2 P_2, \quad P^N = z_n P_n$$

M : 腹板に生ずるモーメント、 Q : 腹板結合場所に生ずる剪断力とせば

$$M = P^I r_1 + P^{II} r_2 + \dots + P^N r_n \dots \dots \dots (1)$$

$$\text{又は } M = z_1 P_1 r_1 + z_2 P_2 r_2 + \dots + z_n P_n r_n \dots \dots \dots (2)$$

各鉄の應力は其の S からの距離に比例して増加すると云ふ事實から出發すれば、

$$P_1 = P_n \frac{r_1}{r_n}, \quad P_2 = P_n \frac{r_2}{r_n}, \quad \dots$$

第 52 圖は、 S からの距離に比例して應力が増加するすれば、鉄配列圓上の鉄數の變化による腹板に於ける應力分布が如何になるかを示したものである。(2)式より、

$$M = \frac{P_n}{r_n} (z_1 r_1^2 + z_2 r_2^2 + \dots + z_n r_n^2) \dots \dots \dots (3)$$

茲に單位鉄數 z_1, z_2, \dots, z_n は任意に取る事が出来る。

第 52 圖に示す様に各帶狀板

第 52 圖

の荷重 P^I, P^{II}, \dots, P^N の連續性は各鉄配列圓上の鉄數が變化する事によつて著しく妨げられ、従つて配列圓上の小數の鉄(例へば z_1, z_2 及び z_3)は計算上より高いものに相當し、配列圓上多數の鉄(例へば z_4 及び z_5)は少なく相當した應力を受ける如き狀態で平衡を保つことになる。

即ち各鉄の應力が S からの距離に關係すると考へるよりも、單ろ帶狀板の應力 $P^I, P^{II}, P^{III}, \dots, P^N$ がその S からの距離に比例にして増加するものと假定する

方が適切と想はれる。それ故

$$PI = Pn \frac{r_1}{r_n}, \quad PI' = Pn \frac{r_2}{r_n}, \dots$$

$$\text{又は } P_1 = \frac{z_n}{z_1} P_n \frac{r_1}{r_n}, \quad P_2 = \frac{z_n}{z_2} P_n \frac{r_2}{r_n}, \dots$$

此の値を各々式(1)及び(2)に代入すれば

$$M = \frac{Pn}{r_n} (r_1^2 + r_2^2 + \dots + r_n^2)$$

$$\text{又は } M = \frac{z_n P_n}{r_n} (r_1^2 + r_2^2 + \dots + r_n^2) \dots \dots (4)$$

この方程式では唯最大配列圓の単位鉄數が入つてゐるだけで、其の他の配列圓の単位鉄數は總體の結果としては何等影響を及ぼさない。この計算方法に依つて現はされた同然の例を第53圖に示した。即ち鉄結合に實際に生ずる應力狀態をより層よく表はす事が出來た。

若し $r_1 = r_2 = \dots = r_n$ とおけば(3)は(4)の形となるが、これは勿論實際に最も廣く用ひられる場合である。

P_n を全應力を受ける鉄によつて分擔された應力とすれば、其の他の配列圓に對する最小単位鉄數は、

$$P_1 = \frac{Pn}{z_1}, \quad P_2 = \frac{Pn}{z_2}, \quad \dots \quad \text{及び } PI = z_n q_m \quad \text{より}$$

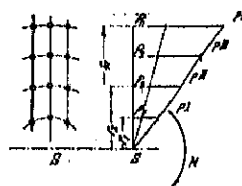
$$z_1 = r_1 \frac{z_n}{r_n} P_n, \quad z_2 = r_2 \frac{z_n}{r_n} P_n, \quad \dots \quad \text{を得る。}$$

又 $P_1 \leq P_2 \leq P_3 \leq \dots \leq P_n$ なるにより、従つて、

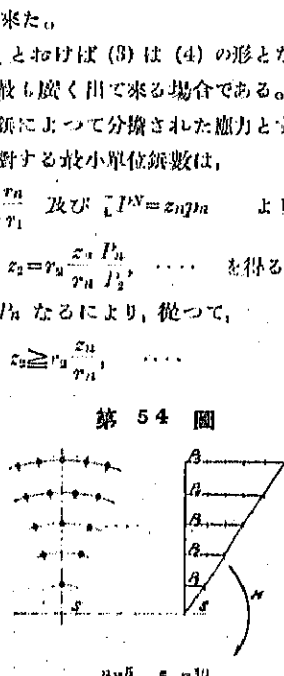
$$z_1 \geq r_1 \frac{z_n}{r_n}, \quad z_2 \geq r_2 \frac{z_n}{r_n}, \quad \dots$$

第54、55圖は何れも一様な鉄配列圓に於て凡ての鉄が應力を受ける時の配置である。即ち z_1, z_2, \dots が整數である様な同一鉄距に於ては正確に凡ての鉄が全應力に達し得る。版鐵と補鐵の接合

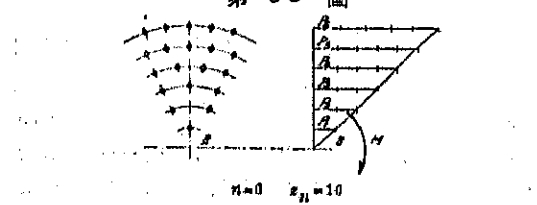
第53圖



第54圖

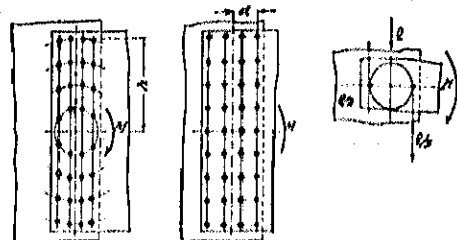


第55圖



等の簡単な形は出来る限り凡ての配列圓上に鉄數の鉄を置く事である。

第56圖



尚この上に更に簡単のため同一鉄数を用ふる。即ち $r_1 = l, r_2 = 2l, r_3 = 3l, \dots$ とする。即ち l を h で表はすと、 $l = \frac{h}{n}$ となり、(4) 式は

$$M = z_n P_n \frac{h}{r_n} (1 + 2^2 + 3^2 + \dots + n^2) \\ = z_n P_n h \left[\frac{1}{6n} (n+1)(2n+1) \right] \dots \dots (5)$$

$$\text{又は } z_n = \frac{M}{P_n h} \left(\frac{n^2}{1+2^2+3^2+\dots+n^2} \right) \\ = \frac{M}{P_n h (n+1)(2n+1)}$$

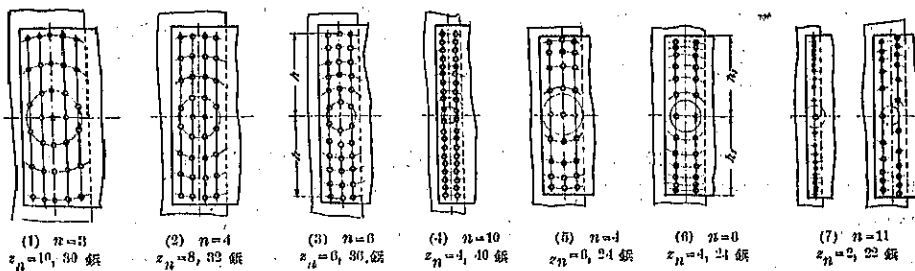
この方程式は $n=1$ 即ち $r_1=r_1$ 及び $z_n=z_1$ 适用される。多數列の結合の際には最外部の配列圓 (r_n) 上にある鉄は凡て全應力を受ける。例へば4列の際には8鉄が全應力を受ける。然るに扇形に鉄が配列された時には極に鉄配列の4つの隅にある鉄が全應力を受けるのである。尚この際、隅の4鉄は普通の計算方法によつては、この計算に基くものよりも實際には $\frac{\sqrt{2}^2 + l^2}{h}$ だけ餘計の應力を受ける事になる。

版鐵を帶狀鐵に分けて各帶狀面積にその平均應力が帶狀鐵に一定の應力 ($PI = PI' = \dots = PI''$) を生ずるものと考るならば、この各帶狀鐵應力の中立軸からの距離から鉄配列圓の半徑を得る。三角形の全應力を梯形及び二つの三角形に分割し、この各々の面積を梯形に對しても全面積は等しい故に、この扇形の重心の中立軸からの矩形が鉄配列圓の半径となる。唯 P_1 に對しては力の作用點が極く不正確に出るので、こゝで配列圓の半径 r_1 を稍大きしくして出して $4.8r_1$ とすれば良い。 r_1 を以つて各々の配列圓の半徑を出して見ると、

$$r_2 = r_1 (\sqrt{1} + \sqrt{2}) = 2.414r_1$$



第 58 圖



$$r_3 = r_1(\sqrt{2} + \sqrt{3}) = 3.146r_1$$

$$r_4 = r_1(\sqrt{3} + \sqrt{4}) = 3.732r_1$$

$$\dots$$

$$r_n = r_1(\sqrt{n-1} + \sqrt{n}).$$

結合の配列図の最も外側の圓 r_n からの距離は

$$\begin{aligned} h_1 - r_n &= r_n - 2r_{n-1} + 2r_{n-2} + \dots + 2r_1 \\ &= r_1(\sqrt{n} - \sqrt{n-1}) \end{aligned} \quad \dots \dots \dots (7)$$

$$\text{従つて } r_n = h_1 - r_1(\sqrt{n} - \sqrt{n-1}) = r_1(\sqrt{n-1} + \sqrt{n}).$$

$$\text{これより } r_1 = \frac{h_1}{2\sqrt{n}}. \quad \dots \dots \dots (8)$$

$$\text{故に } P^I = P^{II} = P^{III} = \dots = P^N, \quad z_1 = z_2 = z_3 = \dots = z_n = z_0, \quad P_1 = P_2 = \dots = P_n. \quad \text{なる故に}$$

$$\begin{aligned} M &= z_0 P_n r_1 \{ 4/3 + (\sqrt{1} + \sqrt{2}) + (\sqrt{2} + \sqrt{3}) + \dots \\ &\quad + (\sqrt{n-1} + \sqrt{n}) \} \end{aligned}$$

$$\begin{aligned} &= z_0 P_n \frac{h_1}{2\sqrt{n}} \{ 4/3 + (\sqrt{1} \\ &\quad + \sqrt{2}) + (\sqrt{2} + \sqrt{3}) + \dots \\ &\quad + (\sqrt{n-1} + \sqrt{n}) \}. \quad \dots \dots \dots (9) \end{aligned}$$

配列圓の數は (8) 式から導かれる次式によつて與へられる。

$$n = \frac{2}{3} \frac{M}{P_n h_1 z_0} \frac{1}{\sqrt{n}}. \quad \dots \dots \dots (10)$$

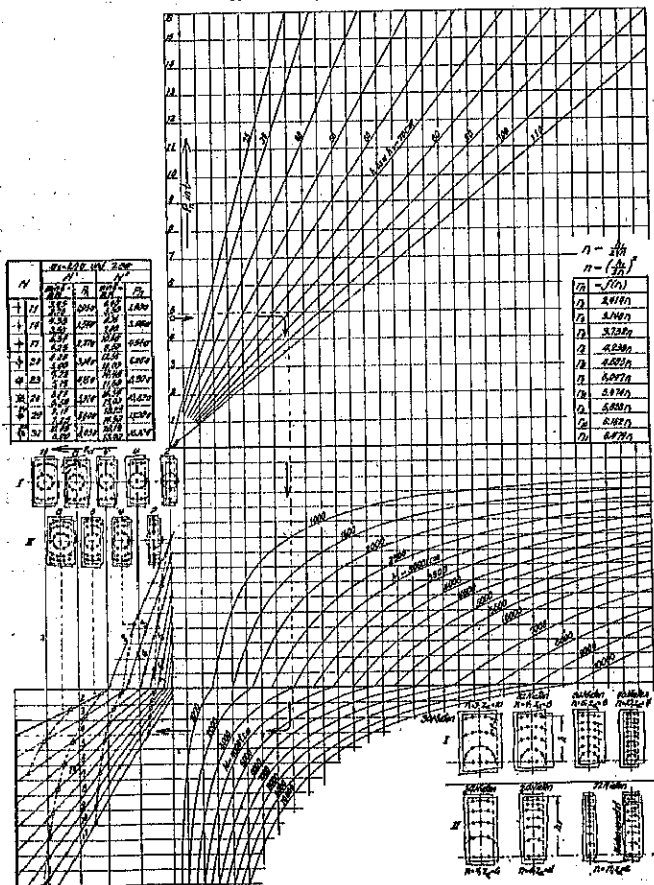
茲には n は最大許容距離 $4/3 r_1$ から初まつてゐる。

第 58 圖は $P_n = 5t$, $M = 6000 \text{ t.cm}$, $h = h_1 = 80 \text{ cm}$ に對して色々異つた鉄配置を (6) 式及 (9) 式によつて求めた。

圖で見る様に (9) 式で計算した鉄筋 (第 58 圖 (5)~(7)) は、式 (6) によつて求めた鉄筋 (第 58 圖 (1)~(4)) に比して鉄筋数が著しく少ない。併し唯 22 鋼のみからなる 1 列の結合 (第 58 圖(7)) では外方の鉄筋は距離が小さくなつてゐる。この配列を 2 列の置換鉄に分解すれば同一鉄筋に対する計算に比べて著しい鉄筋の節約を爲し得る (45% 節)。尙普通の計算方法に依る時はこの差が大きくなるであらう。

尙腹板の接合箇處では今一つの剪断力 Q が作用するが、これは結合鉄によつて負擔される。以下 Q は全鉄に等分されてゐるものと考へる。各鉄の全應力は Q と M が

第 59 圖



ら生ずる應力の幾何學的合力として生ずる。普通には外側の鉄配列間に上にある鉄、又多數列の場合には隅角の鉄が Q の分力によつて、最も大なる應力をうける事になる。凡ての鉄が曲げモーメント M によつて全應力を受ける様な鉄結合を問題としてあるから中立軸上では Q によつてその近邊の鉄が最も強く荷重がかゝることになる。

第 59 圖のノモグラムは式 (6) 及 (9) による最も合理的な鉄配列を選択せしむるものである。

I. 配列重心に對して漸減的に鉄が應力を受ける場合、

$$z_a = \frac{M}{P_n h} \frac{n^2}{1^2 + 2^2 + 3^2 + \dots + n^2}$$

II. 凡ての鉄が同一強さの應力を受ける場合、

$$z_a = \frac{M}{n h}$$

$$P_n = \frac{h_1}{2\sqrt{h}} [4/3 + (\sqrt{1} + \sqrt{2}) + (\sqrt{2} + \sqrt{3}) + \dots + (\sqrt{n-1} + \sqrt{n})]$$

M = 腹板の曲げモーメント (t.cm), P_n = 1 鉄の受ける應力 (t), n = 鉄配列の数, z_a = 各鉄配列間に上の鉄数, h = 最外部の鉄配列間に距離 (cm), h_1 = 鉄配列の重心より腹板端までの距離 (cm)

$t = \frac{h}{n}$; 鋼鉄 (I に於て), δ (mm) = 鐵孔の深さ, 但しこの場合單剪鉄 (N') 並に複剪鉄 (N'') は τ 及 σ_t によつて全應力をうける。とくに $\frac{\sigma_t}{\sigma} = 2.0 \sim 2.5$, σ_t = 支壓力 (kg/cm^2), σ = 直應力 (kg/cm^2), τ = 剪應力 (kg/cm^2), $\tau = 0.8\sigma$.

例 $P_n = 5t$, $h = h_1 = 80$ cm, $M = 6000$ t.cm なる時求むる鉄数及配列は

I. $n = 3$	4	0	10	II. $n = 4$	6	11
$z_a = 10$	8	6	4	$z_a = 6$	4	2

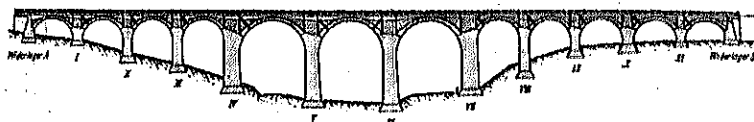
(糸川一郎)

アーチ列の靜力學作用に関する模型實驗

K. Schnechterle, "Modellversuche zur Erkundung des statischen Verhaltens von Gewölbbereichen. Ergebnisse der Untersuchung der Talbrücke bei Oberkirchen auf der Strecke Türkismühle-Kusel". Bauing. 24. Mai 1935, S. 243-247.

1. Türkismühle-Kusel 線の Oberkirchen 近くの切石拱の陸橋 (第 60 圖) に就て、Zeiß の拡角機度計を用ひ、著者の考案せる模型實驗を行ひ、不確定値並びにその影響線を決定した。模型實驗に依り解析計算の

第 60 圖 Oberkirchen 近くの陸橋の横断



結果を吟味し、又拱背石工のアーチの應力に及ぼす影響を決定せんとした。更に又アーチ列の彈性々質を研究した。

一般に拱背石工はアーチの應力を減ずる作用を有する。事實拱背石工は集中荷重を廣く分布し、移動荷重の衝撃を減少する。昔のアーチでは拱背石工に伸縮目筋を有せず、アーチの剛度を増し、挠みを減少した。従つて車輛荷重の増加したる後も尚も良く荷重に堪へ、その有利な事を示して居る。又昔のアーチでは石灰モルタルを用ひ、その強度の爲、損傷を受ける事なく大きな變形に堪へる事が出來た。

今日に於ては、脆いセメントモルタルを使用するから、拱背石工の縫隙をなくする爲、アーチの頂點及び起拱點に目筋を設け、又支間大なる時はアーチの 1/4 點にも目筋を設ける。此の場合も、アーチと拱背石工とは協力し、斷面遷化の甚しい盤狀部分からなるものと考へられる。その應力の大なる箇所は目筋の下に當つて、頂點の下線に可成り大きな張應力を生ずる。此の應力分布は重の測定又は應力光學方法に依り、載荷模型から知る事が出来る。至を測定する方法は、重を生ずる場合斷面が平面のまゝで残ると考へられる格狀のものにしか精確には成立しない。然し、目筋の下の斷面では、Zeiss の拡角機度計を用ひ、核心モーメントの影響線を充分精確に知る事が出来る。

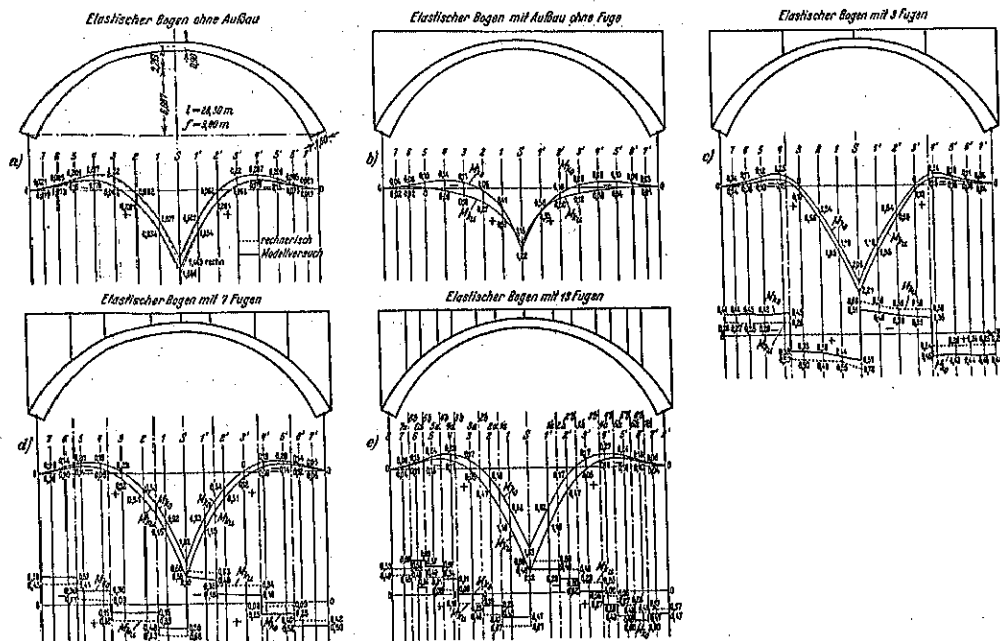
高い橋脚上の彈性アーチは純下せぬ橋臺上に固定せるアーチよりも、活荷重に依り大なる變形をうける。又一つのアーチが荷重を受ける場合、越てのアーチ列は影響を受け橋脚の方がアーチより剛度小なる程大である。彈性理論に依るアーチ列の計算は面倒で時間を要するから、模型に依る方が早く目的を達する。

2. 第 61 圖は實驗裝置を示し、第 62 圖は種々のア

第 61 圖 實驗裝置



第 62 圖 種々のアーチの模型実験結果



アーチに対する模型実験の結果を示す。第 61 圖に示す様に、模型をアーチ頂點に於て切斷し挿度計を挿入し、移動集中荷重 $P=1$ 並びに床の高さに於て加へられた制動荷重 $B=1$ に對する頂點断面に於ける核心モーメントの影響線を決定した。第 62 圖 a) の如き拱背石工のない弹性アーチでは計算の結果と良く一致する。目地のない拱背石工を有する時は第 62 圖 b) の如く影響面積が減少する。アーチ頂點に目筋を有する時は弹性拘みが比較的最も弱い部分即ち頂點に集中し不利な影響線を生ずる。目筋の多い程、拱背石工のないものに近くなる(第 62 圖 c)~e))。

床の高さに於て加へられた制動荷重に對する影響線は、理論上アーチの兩半分に於て連續せる線分が得られるが、拱背石工に目筋を有する場合の模型実験では階段状となる。影響面積は目筋の數に依り異なる。

橋臺断面又は拱背石工の目筋の下の中間断面の核心モーメントの移動集中荷重 $P=1$ 及び制動荷重 $B=1$ に對する影響線も同じ方法で決定される。之に反し目筋間の任意の断面に對する

第 63 圖 拱背石工を有せざるアーチ

3. 上記の單軌陸橋は支間 28.21m、拱矢 6.30m の半圓形アーチで、獨逸



國有鐵道會社の荷重列車 N に對し設計されてゐる。アーチの幅は 4.80m、厚さは頂點で 1.20m 起拱點で 2.00m である。頂點及び起拱點に目筋を有して居る。

豫備設計に際し、第 63 圖に示したアーチを壓力線方法に依り研究し、次の線應力が得られた。

死荷重に對し 頂點: $\sigma_1 = +11.7 \text{ kg/cm}^2$,

起拱點: $\sigma_1 = +15.8 \text{ "}$

死荷重及び滿載活荷重に對し 頂點: $\sigma_2 = +17.2 \text{ kg/cm}^2$,

起拱點: $\sigma_2 = +20.6 \text{ "}$

死荷重及び片側の活荷重に對し

頂點: $\sigma_3 = +8.1 \text{ kg/cm}^2$, 起拱點: $\sigma_3 = +20.0 \text{ kg/cm}^2$

實施設計に對しアーチに生ずる線應力は、橋臺に固定せるものと假定し弹性理論に基いて計算した。頂點断面の線應力は次の如し。

死荷重に對し $\sigma_0 = +8.8 \text{ kg/cm}^2$, $\sigma_n = +4.1 \text{ kg/cm}^2$

活荷重に對し $\sigma_0 = +8.4 \text{ kg/cm}^2$, $\sigma_n = -4.2 \text{ kg/cm}^2$

死荷重+活荷重に對し

$\sigma_0 = +17.2 \text{ kg/cm}^2$, $\sigma_n = -0.1 \text{ kg/cm}^2$

頂點断面に於ける核心モーメントに對し計算された影響線を第 64 圖に示す。弹性理論に基いた解析計算の結果を模型実験に依り吟味した。

實驗 1: 弹力學計算と模型実験とを比較する爲、固定せる橋臺を有する拱背石工のない弹性アーチを實験

した。
そして得たアーチ頂點に於ける核心モーメントの影響線を第 64 図に示した。

荷重列車 N に對し
計算すれば次の如し。

活荷重に對し $\sigma_0 = +9.3 \text{ kg/cm}^2$, $\sigma_n = -5.3 \text{ kg/cm}^2$
故に死荷重+活荷重に對し

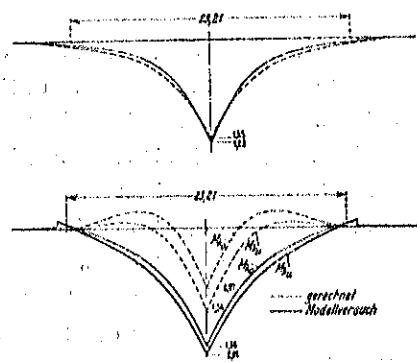
$$\sigma_0 = +18.1 \text{ kg/cm}^2, \sigma_n = -1.2 \text{ kg/cm}^2$$

従つて計算と可成り一致してゐる。

實驗 2: 第 65 圖に示すアーチに就て行つた。その一つは拱背石工に目筋なく、他の一つは頂點及び起拱點に目筋を有す。その模型實驗に依り得た影響線を第 66 圖に示す。荷重列車 N に對する頂點断面の線應力は次の如し。

實驗 2a. (目筋なき場合)

第 66 圖 アーチ頂點の核心モーメント



a. 拱背石工に目筋なき場合
b. 起拱點及び頂點に目筋のある場合

活荷重に對し $\sigma_0 = +0.4 \text{ kg/cm}^2$, $\sigma_n = -7.8 \text{ kg/cm}^2$
死荷重+活荷重に對し

$$\sigma_0 = +18.2 \text{ kg/cm}^2, \sigma_n = -3.7 \text{ kg/cm}^2$$

實驗 2b. (起拱點及び頂點に目筋を有する場合)

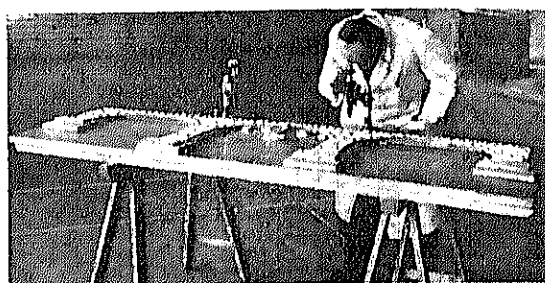
活荷重に對し $\sigma_0 = +23.5 \text{ kg/cm}^2$, $\sigma_n = -20.3 \text{ kg/cm}^2$
死荷重+活荷重に對し

$$\sigma_0 = +33.8 \text{ kg/cm}^2, \sigma_n = -10.2 \text{ kg/cm}^2$$

實驗 2b の線應力の大きさは橋脚の拘みの大きさの爲で、實驗 2a の有利なのは目筋なき拱背石工の爲である。橋臺及び橋脚断面の中に於ては兩場合共、模型に依り決定された線應力は計算値より有利である。

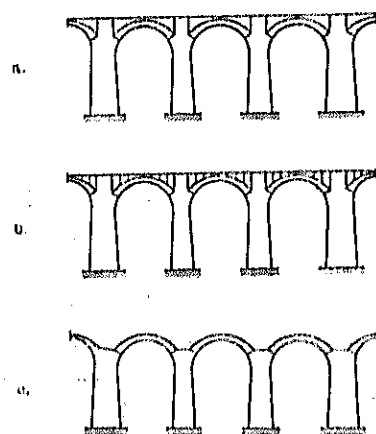
實驗 3. 第 67 圖のアーチ列に就て、アーチに於け

第 67 圖 アーチ列の模型



る應力關係に及ぼす目筋の影響を調べたもので、a) 各アーチの拱背石工に 3 目筋を有する場合(第 68a 圖), b) 各アーチの拱背石工に 9 目筋を有する場合(第 68b 圖), c) 拱背石工なきアーチ(第 68c 圖)の 3 場合に

第 68 圖



對する影響線を第 69 圖に示した。荷重列車 N に對し
計算すれば次の如し。

實驗 3a.

活荷重に對し $\sigma_0 = +21.3 \text{ kg/cm}^2$, $\sigma_n = -17.0 \text{ kg/cm}^2$
死荷重+活荷重に對し

$$\sigma_0 = +30.1 \text{ kg/cm}^2, \sigma_n = -13.8 \text{ kg/cm}^2$$

實驗 3b.

活荷重に對し $\sigma_0 = +21.2 \text{ kg/cm}^2$, $\sigma_n = -17.0 \text{ kg/cm}^2$
死荷重+活荷重に對し

$$\sigma_0 = +31.0 \text{ kg/cm}^2, \sigma_n = -13.5 \text{ kg/cm}^2$$

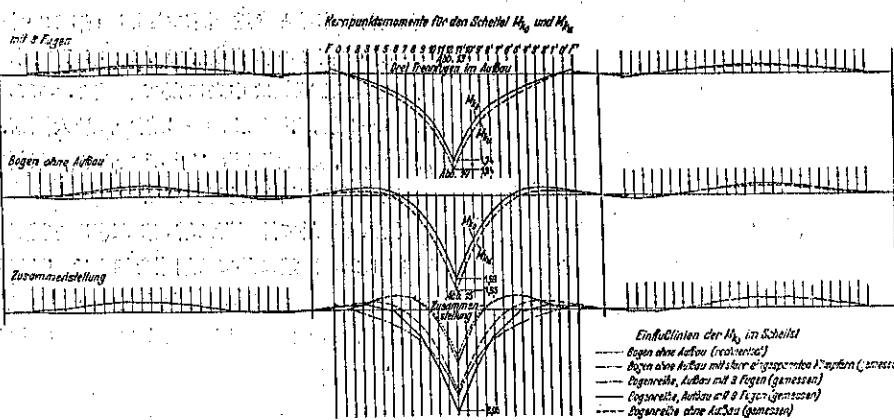
實驗 3c.

活荷重に對し $\sigma_0 = +15.4 \text{ kg/cm}^2$, $\sigma_n = -12.0 \text{ kg/cm}^2$
死荷重+活荷重に對し

$$\sigma_0 = +24.2 \text{ kg/cm}^2, \sigma_n = -7.9 \text{ kg/cm}^2$$

4. 模型實驗に依り決定された線應力と計算に依り

第 69 圖 第 68 圖の場合のアーチ頂點に於ける核心モーメントの影響線



得られた値と比較する爲、頂點断面の緑應力を第 5 表に示す。

第 5 表 頂點に於る緑應力の表

決 定 法	$\sigma_0 \text{ kg/cm}^2$	$\sigma_n \text{ kg/cm}^2$
壓力線方法	+17.2	-
Strasser の計算法	+17.2	- 0.1
模型實驗 1	+18.1	- 1.2
" 2a	+18.2	- 3.7
" 2b	+32.3	- 16.2
" 3a	+30.1	- 13.8
" 3b	+30.0	- 13.5
" 3c	+24.2	- 7.0

固定橋脚を有する弾性アーチの場合（拱背石工なし）Strasser による緑應力は模型實驗 1 の結果と比較的良く一致する。拱背石工に目筋のない橋脚上のアーチの場合（2a）は頂點の緑應力が幾分大きくなる。然るに頂點及び起拱點に目筋を設ける時は（2b），之が非常に増大し，自重及び活荷重に依る緑應力は計算値より非常に大きくなる。

橋脚群間に 3 アーチ徑間を有する實驗によれば，拱背石工の目筋の多少は餘り影響がない。3a 及び 3b の拱背石工を有する場合は，頂點断面下腹の張應力が非常に大であり，之を有しない場合は可成り減少する。

模型實驗に當り，アーチの放射目筋と拱背石工の水平目筋とから生ずる弾性の相違並びにアーチ背面と拱背石工との間の目筋とを考慮しなかつた。兎も角拱背石工に目筋を有しない方が良い事が判然した。拱背石工に水硬石灰モルタルを用ひれば目筋を用ひる必要なく，アーチは充分補剛せられ，實驗 2a に依り知る如く，普通の計算の結果と殆ど一致する。

實驗 1 と 3c を比較すれば，可撓橋脚の影響を知る事が出来る。アーチ頂點下腹の張應力では實驗 1 では

1.2 kg/cm²，實驗 3c では 7.9 kg/cm² に増大する。之が實際に生じる事は殆ど總ての昔のアーチ鐵道橋で頂點に龜裂のある事で解る。半圓形アーチの代りに自重の壓力線に従つて形を定めた非常に高いアーチを用ふれば張應力を減少せしめる事が出来る。

5. 総括して言へば，アーチ列中のアーチは橋脚の彈性可撓性により，橋臺に固定せる場合より，桁作用が大きく，アーチ作用が小さくなる。従つて普通の計算に比し，アーチ頂點に於ては緑應力が大となり，橋脚に於ては有利な應力狀態となる。

石工からなる高い陸橋の場合には，アーチの拱矢を大にし，自重の壓力線にならつて，一群のアーチを拱背石工なしに架設すれば一様な應力狀態が得られる。次にアーチ及び中間橋脚上に，目筋を設ける事なく水硬モルタルで拱背石工を施行する時は，危険な張應力を極度に減少し，アーチ頂點の龜裂を避ける事が出来る。

（奥田秋夫）

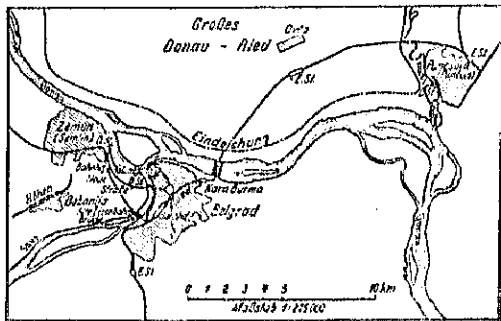
Belgrad 市 Save 河に架設された新道路橋

F. Bohny, "Die neue Strassenbrücke über die Save in Belgrad" Bauing. 24
Mai 1935, S. 248-251.

1934 年 12 月 16 日にユーゴースラビヤの首都 Belgrad の Save 河に架設せられた新道路橋の開通式が行はれた。此の Alexander 一世橋は首都 Belgrad と國境都市 Zemun を結び付けたものである（第 70 圖）。

橋梁の主要寸法は第 71 圖に示す。中央徑間の格間長は 13.05 m. 及び 6.525 m. で，側徑間の格間長は 6.25 m. である。橋梁中央には 1.00 m. の距離に 2 重の横桁を有し，又鋼索の吊材は 3 重になつて層り，削度大であつて，

第 70 圖 新橋位置



第 71 圖 一般圖

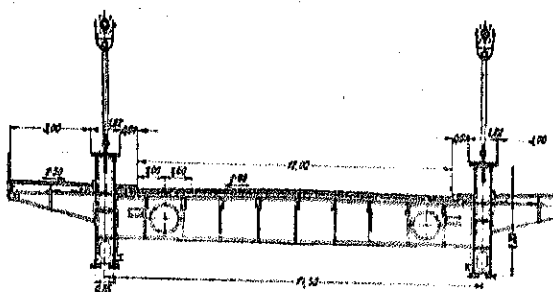


鋼索を死荷重に對し支へてゐる。その間の補剛桁に一時的の中央鉄を有して居る。補剛桁の永久的の義は側徑間に主橋門に統めて近く設けられてゐる。従つて、鋼索の兩端が補剛桁に固定されてゐるから、橋梁は死荷重に對し固定、活荷重に對し一次の不確定である。鉄及び背掛鋼索の橋梁端に於ける支點垂線との交りは、水平張力に依る曲げモーメントを減せしめる爲、補剛桁の中心線より 0.75 m 下にした。

計算には不確定値として鋼索中の水平張力を採つた。與へられた事情の場合、 $H=1$ に對し、橋梁の支承張力及び橋門の支承張力は +0.457、駆動力は -0.872 であるから、補剛桁の負反力は $0.872 - 0.457 = 0.415$ となる。

完成せる橋梁の IT の値は死荷重に對し +3.547 t、活荷重に對し +1.920 t、温度に對し ±13 t、計 +4.789 t (H_{max}) となる。従つて鋼索の最大駆動力は次の如くなる。

第 72 圖 橋梁斷面



$$S_{max} = 1.1024 \times 4.789 = 5.279 t$$

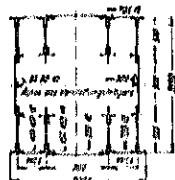
補剛桁は車道と歩道の間に突出し(第 72 圖)、全橋長を通じ同じ高さの複数断面である。第 73 圖に示す様に、腹板及び上蓋板は中央に於て添接されてゐる。上蓋板は 1~4 層、下蓋板は 0~6 層で、最大断面は合せて 9 層を有し、断面積は約 $41 dm^2$ である。蓋板は曲げ应力に應じ數及び長さを變化した。

橋脚上に於て補剛桁は塔(第 74 圖)を貫通する爲縫を狭くした。兩端に於ては鋼索を通す爲、間隔を 730 mm から 1,520 mm に擴げた。格點間で一體の抗張材として働く¹³、補剛材の兩枚板は互に強固に結合されてゐる。

第 73 圖 補剛桁断面



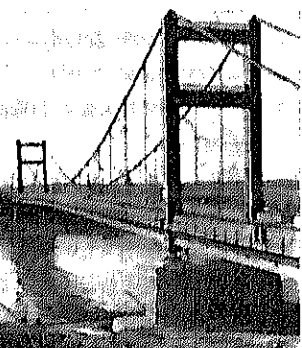
第 74 圖 塔断面



各分離してゐる下突像は相距離に緩版を用ひ幅力を構へる様にした。

2つの橋門は夫々 2つの横張梁を持つリ鉄ラーメンである(第 75 圖)。計算に當つては先づ脚鉄を變位し得るものと假定し、上部を耐形ラーメンと考へた。

そして次に各橋門の脚鉄も固定鉄なりとし、實際のものが採られた。橋門に働く練での荷重、鋼索及び補剛桁からの反力、鋼索及び橋門自身にかかる風荷重並び



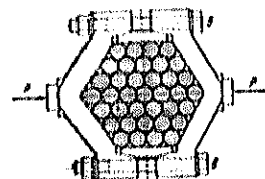
第 75 圖 完成後の橋梁

に熱應力を考慮した。橋門垂直材の断面は両端で約2m角である(第74図)。断面積は直應力とモーメントに應じて約 $95\sim 324\text{dm}^2$ 間に變化する。横梁の高さは曲げモーメントに應じて選ばれ、上横梁は1.0m、下横梁は3.4mである。

各鋼索は正角形に捻られた直徑60mmの子索から成り立つてゐる。提つて鋼索の大きさは角から角迄 $7\times 60=420\text{mm}$ 、邊から邊迄 400mm である。子索の受ける最大應力は $\frac{37}{n=37}=142.7\text{t}$ である。子索は心に37本の丸針金を有し、その上に55本の楔針金を3層、33本の型針金を3層有してゐる。丸針金は 145kg/cm^2 、楔針金及び型針金は夫々 195kg/cm^2 の抗張強度を有し、子索の断面 30.4cm^2 に對し計算の破壊荷重は400tである。然るに實際の破壊強度は367tで、子索の安全率は $\frac{367}{n=37}=9.95$ 倍である。

$n=143.7$

鋼索と補剛筋の結合、吊材、上下の結合並びに街頭に於ける鋼索の底着は普通の方法に依り行はれた。鋼索締具は第76図に示す様に2つの盤及び2つの楔からなる。架設の際兩方の盤を計算した耐力 P で關し付け、上下の突起部をボルトで締める。 P の計算には摩擦係数を0.12、締具の滑りに対する安全率を $n=1.6$ とする。 P の最大値は250tであつた。



第76圖 鋼索締具

構造物の解力學計算は解析方法に依つた。活荷重はDIN 1072 第1級の規定に依り、夫々 1.75t/m の市街鐵道車輌を2列附加した。構造材料の選擇及び許容應力はDIN 1073に依つた。補剛筋、塔、車道の横筋及び縱筋は主としてS1622を用ひた。その殘り例へば、横橋、歩道部分及び鋪道はE137を用ひた。ターンバックル附帯材の丸鋼、眼付及びボルト、索頭、鍛及び可動支承の軸子は鍛鋼 SIC 35.61を用ひ、鋼索締具及び支承體は普通の鍛鋼 S15.60.81 R(今後S15.60.81 R)を用ひた。

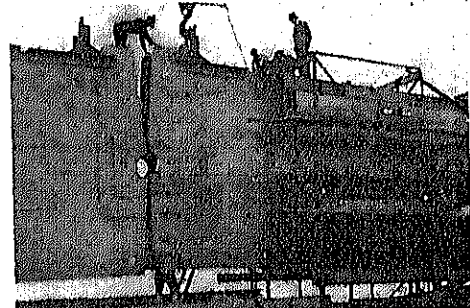
Nave河のBelgrad側は水深で深く、船の通航も活潑で、幅員80mの通路が要求された。安靜の結果通路を1つ尖と上部間を大にし、足場を對稱ならしめ工事を兩岸から同時にはじめる事になつた。Belgrad側の開橋、0~24及び0~34の補剛筋は架設は固定足場上で行つた。中央鉄點33迄のはうの河は井持梁式に依つた。24及び34に構造物を支える振子壁を設けた。

固定足場上の架設に耐力20tのオライアスを用ひ、船

で來た鋼材を足場上に揚げた。架設自體には扛重力25tの特殊の突橋起重機及びデリックを用ひた。塔は上に能力22tの移動起重機を有する足場に依り架設した。出來上つた塔は鋼索のかけられる迄、控綱により補剛筋にしばりつけた。尚2つの高い起重機に軽い籠を取付け、鋼索締具の取付け締付けの裝置を設けた。

此の架設法によれば、工事の各狀態に於て沈みの狀態を精確にしらべ、又絶えず沈みを測る必要があつた。24の支點に於ては中央鉄を連結する迄 2.25m 以上揚げておかねばならず、後に足場をとつた時 1.30m 下る管で

第77圖 橋梁中央の迫め



あつた。橋梁中央の連結後足場をはずすのであるが、之には豫め側裡間の鉄をゆるめ、波も長い吊材から中央に向つて進めた。工事は始め1933年6月完成する豫定であったが、途中Hooverのモラトリウム等の爲延期され同年11月中旬の架設が完成し(第77圖)、1934年秋工事を終つた。

橋梁の鋼重は鋼索を除き約7200tである。

主桁の型式は自碇吊橋で、直應力及びモーメントに彈性變形の影響をなくし、橋脚及び橋臺に垂直荷重のみを及ぼす大きな利益を有して居る。

Zemun側に於ては、鐵筋コンクリートの橋床を有する橋長約300mの陸橋が橋臺につながり、次に約3kmの長さの土手を經てZemunの停車場に通じて居る。Belgrad側に於ては廣い並木道として都心に連絡して居る。鋼構造の終りに河岸に通じる快い階段を有して居る。橋梁の勾配は死荷重及び活荷重の半分に依り強度計算の形になる様に定めた。

橋梁開通の前1934年12月11~13日に橋梁の載荷試験を行つた。重量8.7~10tの自動車10臺及びBelgrad守備隊の騎兵700騎を使つた(第78圖)。自動車は車の載荷及び主桁の影響線の吟味に用ひ、騎兵は主桁の載荷に用ひた。示方書には測定せる沈みと計算の沈みと

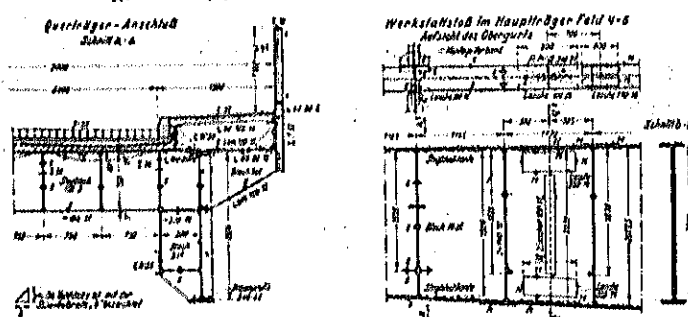
第 83 圖
2つ切りの I 柱又は IP 柱からなる突線を有する鉛接術



した。腹板と突線間の接合は、軽小なものでは第 83 圖の如く行ふ事が出来、大きな突線断面と薄い腹板の場合は事情に依り第 83b 圖に依つて良いが、第 83c 圖の X 接ぎが最も良い。うまく内部迄鉛接すれば第 80 圖の断面と異り縫裂を生じ難い利益がある。第 81 圖の如く複斜接ぎにするも鉛接はうまく出来ない。此の提案の缺點は突線断面の選択が可成り制限される ($b \leq 300 \text{ mm}$, $d \leq 36 \text{ mm}$) 事である。勿論第 83a 圖の様に突線を補剛する事は出来るが、鉛接鋼柱の場合、少くも中小の柱に於ては、或る程度材料の浪費を來すも、唯 I 柱の大きな突線板を用ひるのが今日の傾向である。

次々の目的により適せしめる爲、V. St. W. の鼻断面があらはれた。且下第 85 圖に示した幅及び厚さのものが般延されてゐるがもつと多くする必要がある。此の場合、接合部は鼻の高さ史突線から遠くなり、突線板は鼻及びその間の厚い部分に依り補剛される。鼻の間の溝は相立を容易ならしめ、腹板の突線に對する位置を正しくする。腹板と突線間の間隔は全部又は大部分最素弧光に依り歓かし窄ぐ。腹板の厚さは鼻間の距離に依り可成り制限され、時々間に合はぬ事がある。又逆に不必要に厚い腹板を用ひる事もある。鼻断面は Duisburg 停車場のラーメン柱、多くの鐵道橋及び Verden 近くの Aller 路橋に用ひられた(第 80 圖)。

第 86 圖 Verden 近くの Aller 路橋の細部



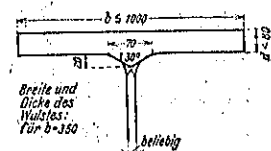
第 84 圖
腹板を複斜接ぎとした疲労強さを高める

第 84 圖

腹板を複斜接ぎとした疲労強さを高める

又最近第 87 圖の隣肉断面があらはれた。Peiner Walzwerk の Dörnen の提案に依り供給されたものである。之は今迄述べた缺點なく、又最近變つた鉛接接手の有利な形に對する見解と一致してゐる。

第 87 圖 隣肉断面

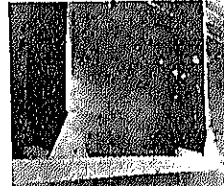


第 88 圖の隣肉鉛接

第 88 圖 隣肉鉛接の切缺作用



第 89 圖
補剛材と下突線間の合理的結合



は第 88b 圖の如き實際の切缺が存在しなくても、表面切線の急激な變化に依り、疲労強度に非常に悪い影響を與へる切缺作用を生ずる。引張部材上に横の鉛接方向を有する時特に甚しい。從つて腹板補剛材を引張突線に鉛接する時、第 89 圖の如く縱方向に於けるのが合理的である。

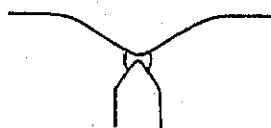
接手の形と疲労強度との關係に對する實驗が、垂直應力を受ける部材に就て行われたが、他の接手に對しても根本的には同じである。注意深く行はれた銜合接手は隣肉鉛接に優つてゐる事は今や問題でない。Dörnen に依れば第 84 圖の鋼柱は第 80 圖の鋼柱より疲労強度に於てまさつてゐる。隣肉断面は第 84 圖と同じく銜合接手であり、より優れたものである。即ち接合線が複雜から少し遠くなり、接手箇所の補強がなされ、又腹板から突線への移行が徐々に行はれ、接手の底まで完全に鉛接され

繋目が判らない。又此の場合の接手の形と位置はレントゲン線による試験が容易である。之はコンクリート中に埋込む柱に於て特に重要である。

隣肉断面は幅 1000 mm、厚 80 mm 迄出來、その中間の寸法は任意のものが出来る。又隣肉を中心から片よらせる事も出来る。製作に大きな過失がなければ、此の断面により柱断面の對称を保つ事が出來、腹板の厚さは制限されない。腹板の厚さに依り接手の

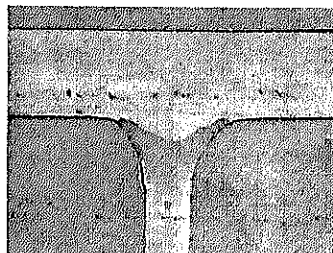
第 90 圖

薄過る接合線を有する隆肉断面



第 91 圖

隆肉断面と腹板間の鉛接接手の研磨像

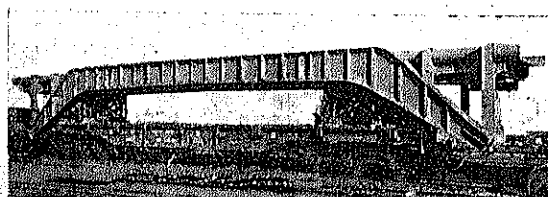


厚さが決る。何故なれば接手を第 90 圖の様にする製作者はないからである。此の點が此の断面の不利な點である。不必要に厚い接手をさける爲、腹板の厚さを薄くする様にしむける。例へば Rügen-damm 橋の主桁は支間が 52 m で、腹板は高さが 9.6 m、厚さが 15 mm である。たとえ式 (1) が幾分小さい値を與へるとしても之は少し薄過ぎる。

此の断面は既に獨逸國有鐵道の 40 の大きな建築及び橋梁構造に用ひた。第 89, 90, 91 圖は Berlin-Zehlendorf の架路橋の細部構造である。

運搬の問題は大きな鉛接鋼橋の施工に大きな意義を有して居る。厚い突線板の添接には非常に多くの鉛接材料を要し、時と金を浪費する。鉛接桁の場合、添接の数と位置は問題にならない。従つ

第 92 圖 全部工場で鉛接したラーメン橋の運搬



て鉛接桁の突線板は非常に長いものがあつて、Rügen-damm 橋は長 53 m 以上 540×40 の隆肉断面 1 個 9 t 宛のものを使用した。現場に運搬するにも、現場の困難な仕事をさける爲に、大きなものを 1 体とした。Rügen-damm 橋は長 53 m である。第 92 圖はラーメン橋の運搬を示したもので、鉛接部は隆肉断面を用ひてある。

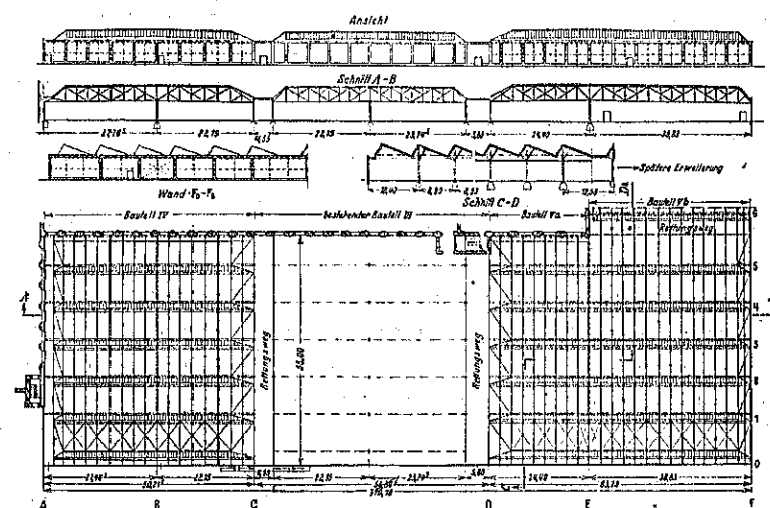
(奥田秋夫)

全鉛接の工場構造

(H. Schmuckler, „Ein vollständig geschweisster Fabrikbau,” Bauing, 24. Mai 1935, S. 258-261.)

1929 年 “鉛接鋼構に對する指針” が發行され、建築及び鐵橋に對し鉛接技術を用ひる事が許され、之に依る經濟上の利益も多大であるにも拘らず、鉛接鋼構造の施工は尙ほ程度の困難を伴ふ。第一に多くの鋼構造會社に適當な裝置を有せず、又鉛接機械の數も充分でない。その上信頼するに足る技術者及び鉛接工が少い。

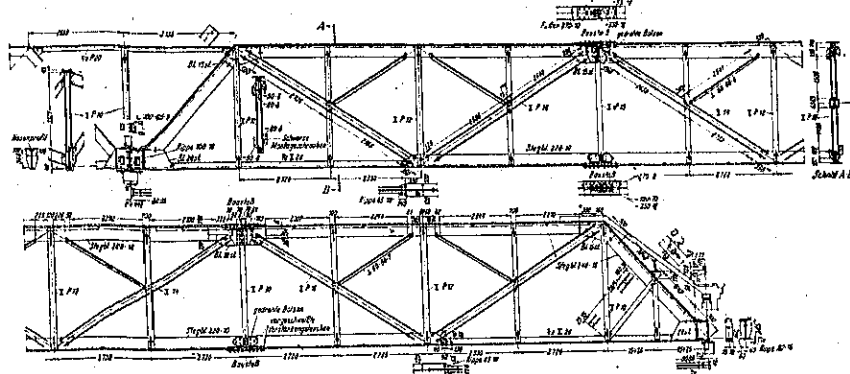
第 93 圖 工場擴張計畫圖



他の事情に依り定めた工期中に、鉛接構造を安く提供出来る會社は少數である爲、鉛接構造の方が寧ろ經濟であるとして施工される事がある。然し乍ら、鉛接技術の特殊性及びその根本條件を熟考する時は、適切な鉛接構造を施工し、その提供する利益を得る事は困難でないと思へられる。

次に大きな工場擴張工事に就て述べる。

第 93 圖は建坪 6400 m^2 の工場擴張計畫を示す。此の工場は經營上内部に支柱を出来る限り少

第 94 圖 支間 38.83 m の構造部分 V_b のトラス承梁

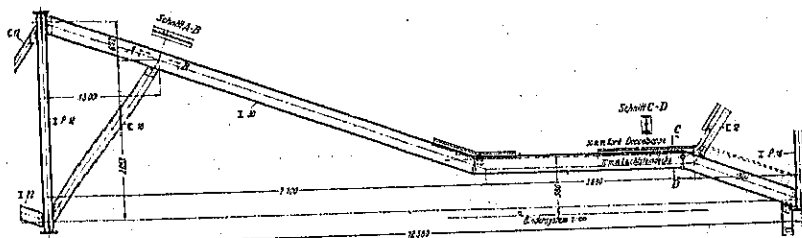
く、又は全然之をなくしなければならない。又酸の他和せる空氣に對し錆の生ずるおそれの少い構造を選ぶ必要がある。此 2 つの條件は鉛接構造に依り満す事が出来た。鉛接構造と鉛接構造の鋼重を比較するのに、トラス承梁の場合に前者が約 15 % 大であつた。數回屈折した樋桁(第 95 圖)の施工は鉛接構造では可成り困難であらふが、鉛接構造では比較的簡単であつた。

梁は運搬上の理由から、之を 2 部分に分ち、現場鉛接を避ける爲に添接はボルトに依つて行つた。

第 94 圖は此の支間 38.83 m の承梁を示す。添接箇所のボルト孔除を補償し、全部材を同一断面とする爲に、ボルト孔除に等しい添飯を鉛接した。

トラス承梁の高さ 3.63 m は規定の明り窓の高さから定められたが、獨逸固有鐵道の車輛限界を超過する爲、木

第 95 圖 樋 桁



第 93 圖に小屋組の構造を示す。樋桁の間隔は 2.80m であつて、その間に屋根葺を張わたしてある。屋根葺は中空石を鋼で補強したものである。樋桁は支柱を有し不静定である。

第 95 圖に支柱を有する樋桁の構造を示した。樋桁は剛度大であつて、トラス承梁の壓縮弦の挫屈をもふせいでゐる。従つて、最初と最後の樋格間に横棒を配置すれば充分であつた。

樋桁の屈折點の外側の突線に連續させ添接を行はなかつた。内側の突線及び腹飯は横飯をはさみ隅肉鉛接にて結合した。支柱の連絡飯は樋桁に工場に於て鉛接し、現場に於て之に支柱をボルトにて取付けた。従つて架設は非常に簡単であつた。

支間の異なるトラス承梁のうち、構造部分 IV 及び Va は工場に於て完全に鉛接した。支間 38.83 m の大きい承

の臺を置き、その上に傾斜した状態でのせて運搬した。

支柱は殆ど總て頭板及び脚板を有する IP 衍からなる。

トラス承梁の場合、節飯その他の連結部は鉛接も入れて部材重量を 2 % 増すのであるに反し、鉛接構造の場合 15~20 % を増す事となる。尙その他に引張部材の鉛孔除を要しない爲生ずる重量節約が加る譯である。

第 96 圖に鉛接臺上のトラス承梁を示す。鉛接臺は飯を張り、之に定規山形鋼を鉛接し、部材を鉛接がむ迄規定の位置に保つ。

比較的長いトラス承梁の架設の爲、水平及び垂直方向の剛度の大きさ、又承梁を多くの點で吊る事の出来る特殊の吊手を架設起重機に用ひた。その爲 27,265 m の支間を有する側方剛度の小さい弦の挫屈を避ける事が出来た。

第 96 圖 鋼接盤上のトラス床構造



純鋼重は 280 t, 建坪 6.400 m^2 だから単位面積に 44 kg/m^2 , 高さ 5.5 m だから単位容積に 8 kg/m^3 である。

屋根葺及び第 93 図に示した避難道の外に、管及び器具等に對し 75 kg/m^2 を全屋根面積に考慮した。

此の工事は著者の計画、設計及び監査になるもので、Dortmunder "Union" が施工した。架設共 8 週間で施工した。

(奥田秋夫)

世界最大の鉄筋コンクリート拱橋

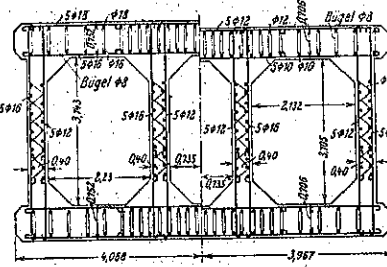
(W. Vieser, „Die grösste Eisenbetonbogenbrücke der Welt“ B. u. E. 5., Juli 1935 S. 214~216.)

西班牙の Zamora—La Coruna 間の鐵道が Rio Esla の谷を横断する所、其處に第 97 圖の如く高さ 80m 全長 450 m の鉄筋コンクリート陸橋が架せられる。側徑間はすべて純徑間 22 m の圓形アーチであるが、中央徑間は 200 m のアーチであつて、その竣工の時には世界最大の鉄筋コンクリートアーチたる榮譽を獲得するものである。

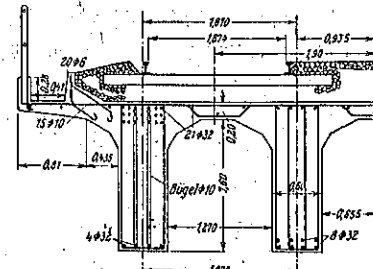
主アーチの断面は、第 98 圖の如き中空箱形断面であつて、幅は拱頂に於て 7.90 m, 起拱點に於て 9.068 m, 厚さは拱頂に於て 4.50 m, 起拱點に於て 5.072 m, 其

の變化は餘弦の法則に従ふものである。4 個の縦壁の厚さはすべて 0.40 m であるが、水平部分の厚さは拱頂で 0.700 m, 起拱點に向ふに従つて増大する。主アーチの中心線は自重に依る壓力線に一致する。即ち荷重曲線を 2 次抛物線とし、之を積分して得られた 4 次抛物線である。

第 98 圖 拱 肢 断 面

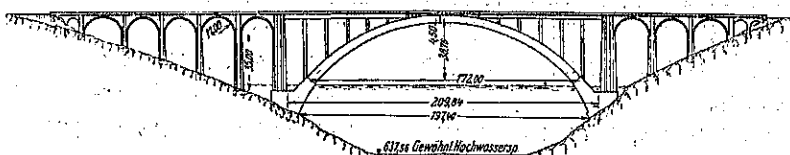


第 99 圖 床 構 造



設計荷重は、動荷重 8 t/m , 静荷重, 風壓 135 kg/m^2 , 溫度變化士 10°C , コンクリートの收縮率 0.0002 である。22m の側徑間のアーチの設計では橋脚の變形を考慮に入れた。斯くて總ての荷重を考慮した場合の主徑間のコンクリートの應力は、拱頂に於て 83.1 kg/cm^2 , 起拱點に於て 86 kg/cm^2 に達する。斯くての如き大なる應力が許容され、從つて此の種の大構造物を作り得る事は、西班牙の示方書の賜物である。西班牙の示方書は曲げに対する許容應力として材齡 90 日の強さ K_{90} の 0.28 を許して居る。一般に $K_{90}=0.7 K_{99}$ であるから、 86 kg/cm^2 の應力は丁度 $K_{90}=217 \text{ kg/cm}^2$ に相當して居る。應力の計算は施工中の各狀態及び型枠取外しの際の 2 次

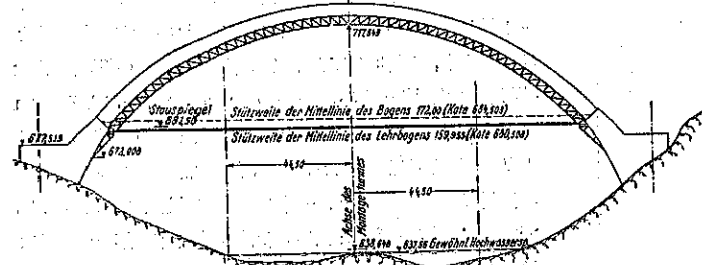
第 97 圖 一 般 圖



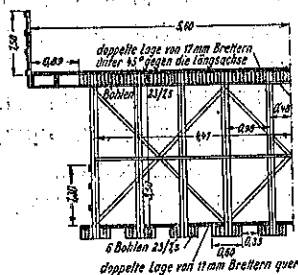
的應力に就ても之を行つた。床部組織は、拱頂附近を除き、第 99 圖のやうな断面の 6 横間連續木梁構造であつて、純徑間は 12.5 m. である。此の床構と中間支柱との接合は、端の方の 3 本の支柱上で固定し、第 4 番目の支柱上では鉄支承、第 5 番目の最も低い支柱上では滑動端になつて居る。アーチの變形に依つて床構造に生ずる 12 次的の應力はラーメンの解法に依つて計算し且つ設計に考慮した。拱頂附近的床は純徑間 2.5 m. の版であつて、すべてアーチ上の低い壁の上に鉄で支へられ、之に依つてアーチには垂直荷重のみが作用することになり、またアーチのモーメントが床部組織に傳はるのを防いだ。床部構造では溫度變化を $\pm 15^{\circ}\text{C}$ にとつた。

假構は第 100, 101 圖の如き徑間 160 m. の木造アーチであるが、之は單に拱肋の一部分のみを支へるやうに

第 100 圖 假構 一般圖



第 101 圖 假構 断面圖



設計された。即ち先づ最初に、箱形拱肋のうち下方の水平部分と縦壁のコンクリートを打ち、之が充分に硬化するを待つて其他の部分を施工するのであつて、拱肋の上方の水平部分以上のものはすべて前に完成した拱肋に支持されるものである。假構の架設は吊出し式ケーブルエレクションの方法に依る答である。(福岡武雄)

沼澤に於ける橋の荷重を減ずる鉄拱

"Iron-Plate Arch reduces Load of Marsh-land Bridge," E. N. R. July 11, 1935, p. 41.

Syracuse 附近の沼澤地を通る路線で基礎の費用を減ずるために鉄拱橋を造つた。拱環と同様拱側壁も金属

第 102 圖 波形板によるアーチ、鐵製腔壁を取付けたもの



で作り拱環は波状鐵板を用ひた (第 102 圖)。

アーチの徑間 22½ 呎、拱矢 9 呎 2 吋、幅 25 呎である。この特殊な拱の基礎には 12 吋の杭を打つた。拱の兩足掛りに各 27 本、各翼壁に 5 本、橋臺下に 17 本打つた。その杭の長さは平均 14 呎餘である。

このやうに杭を打つた上にコンクリートの足留及翼壁を造つた。鋼矢板で締切りを行つて杭打ち及びコンクリート作業を行つた。拱の足留まりとして 8 吋の溝型鋼を斜に取付けて拱が直角に入り得るやうにした。一方側の基礎と翼壁が完成すると矢板を引抜いて他方側に使つた。

アーチの足留は水面下 4 呎にある。架橋する際に先づアーチ半分の鋼板を路上で組み、矢板を抜くために使つたドラッグラインを使用してそのアーチを基礎にはめ込み、三つの方塊で大體の正しい位置に保ち、残り半分も同様にして他方側の基礎にはめて兩方を中央で結合しボルトで締める。

鐵製腔壁 (spandrel wall) は自方が軽く且直接外に設置出来るために使用され、先づ路上で組まれて後部に卸し、アーチの両端にある第 1 の波形の溝れられる。そしてボルトと構材でアーチに取付けける。腔壁を常に垂直に保つためにターンバックルがある。

アーチ及腔壁の組立取付けは僅かに 4 人の船入夫の運轉夫と一人の監督で 3 日を要したに過ぎない。

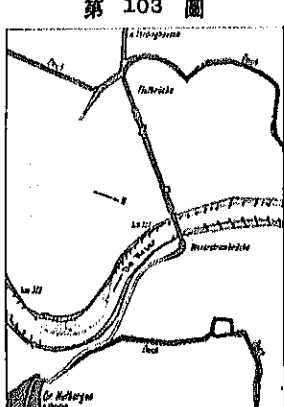
クレーンは唯持上げに使つただけであるから、架橋の時間の中の一部に過ぎない。埋戻しはドラッグラインを使用し、泥と砂利を道路横の沼から掘つて使つた。この際両端を略水平に保ち不等荷重の起らないやうに注意した。

(傍 島 游)

Weser 河橋梁架換工事

(Rütterodt, "Der Umbau der Weserbrücken bei Gr.-Hutbergen (Kr. Verden)" Bautech. 14. Juni 1935, S. 321~327.)

Hutbergen に於ける Weser 河橋梁地點は Verden を去る約 5km の處にあつて、1884 年及び 1885 年に渡船の代用として建設されたものである。その洪水數は Hutbergen 附近に於て第 103 圖に見る如く堤防間の距離 1.3km の幅で、橋梁は Weser 河の部分と左岸堤防に沿つて掘つた疏水の部分との 2 個處である。架換工事に際して從來の道路駆員及び取付の高さ等は變更しなかつた。



第 103 圖

1. Plut 橋の架換工事 舊橋は木橋で 6 本の主桁を有し、徑間は各 10.15~10.6m に及ぶ 17 徑間よりなる。下部構造は 1904 年に再建したものであるが、橋脚の基礎杭は 1884 年以來のものである。従つて舊橋は現今では腐朽甚しく全體的架換の必要を認められて居たものであつた。前述の様に取付道路の高さは從來通りであるから構造物も之れに配され、加之工期も高水期に使用不可能になる假限路の關係から夏期の 8 ヶ月間に制

限される如き状況であつた。

橋梁基礎は第 104 圖に見る如くで、左半分は粘土質の地質で杭打基礎を必要とし、右半分に於ける橋梁及び橋脚は平な砂利層の上に置かれてある。後者に在つては矢板で締め固む必要があつた。杭打基礎上の橋脚にあつては、この附近の流速が渦流を生ずる様な状態ではないので、矢板は不要であった。又地下水は好都合にも當時の掘削面 (NN+10.0m) に接して居り、夏期に於て屢々これを超過する程度で、深い基礎中では含水層は僅少である故橋脚は右半分に於ても杭打基礎が適當とされた。

1932 年 3 月 14 日準備に着手、同年 5 月 2 日に舊橋取壊に掛つた。新橋は同年 11 月 1 日に開通したが、コンクリート工事は既に 9 月 7 日に終了した程の迅速ぶりである。

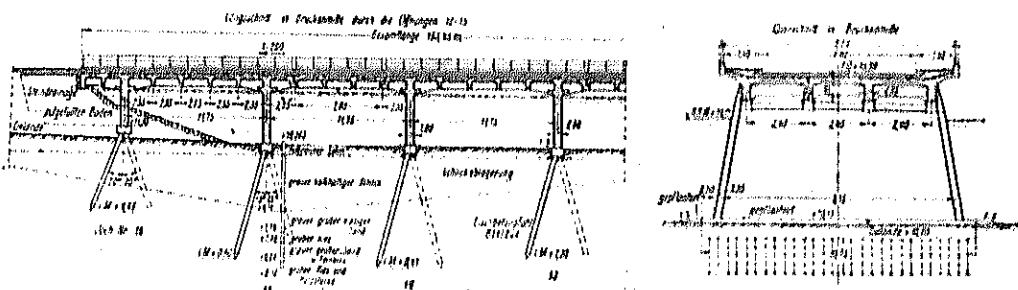
型枠はこれを 2 回に用ひ、早きは 1 週間で取りはずし、その際の沈下は 1mm 以下であった。鋼筋コンクリートト杭は断面 34×34cm、長さ 6.1~12.1m で最も早きは 30 日間で造り上げた。その強度は 400~550、平均 475 kg/cm²、杭打込みの最後の 10 回の打撃による 1m に対する沈下は 30~110 mm であった。杭は第 3 番目より第 15 番目迄は左右に 15°、第 1 番目及 10 番目は 20° の傾斜で左右に擴がり、一本に對する最大荷重は 30.4t であった。杭の頭部と橋脚の底部の接觸は第 105 圖に示す如くである。

床版は 12mm の鋼筋を格子狀に配置し、主桁 4 本の内、中の 2 本は 28mm 10 本、吊桁の中央では 28mm 7 本を配置した。第 106 圖には中央主桁の鋼筋配置と曲げカーメント圖を示してある。

支座の断面は第 105 圖の如くで、主桁の曲げカーメントを軸の全長に等分布させる爲に、軸の下端に於て圖示の如くに鋼筋を挿入して補強してある。

可動支承としては第 107 圖の如き軸子を用ひた。こ

第 104 圖



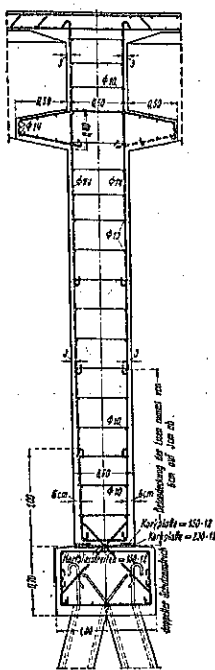
れは滑動支承であると大なる摩擦力に起因する曲げモーメントを招來する故である。吊桁及び突桁の部分の鋼筋配置は第 108 圖の如くで、歩道、高欄及び排水装置の詳細は第 109 圖の如くである。

該橋は鋼筋コンクリート $1,330 \text{ m}^3$ 、その中鋼筋は 150t、杭 223 本その總延長約 1650 m で鋼筋 30t を有し、 1 m^2 当りセメント 350kg の軟練のコンクリートで施工した。

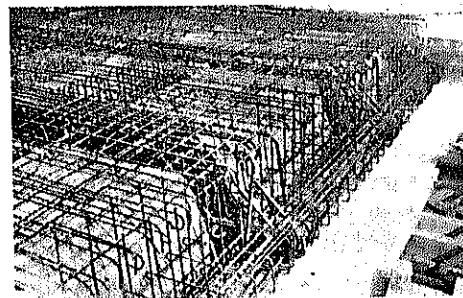
2. Strom 橋架換工事

舊 Strom 橋は側間 28.56 m の抛物線構架橋、中央徑間には支間 78.8 m の複数抛物線構架橋で鋪板を敷いた幅員 4.2 m (歩道幅員 1 m) の 3 徑間より成る構架橋であつた。本工事に先立つて、當時

第 105 圖



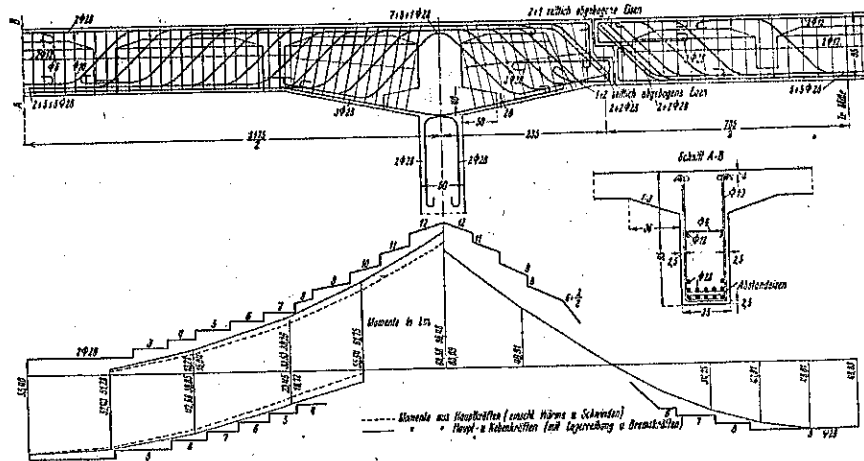
第 108 圖



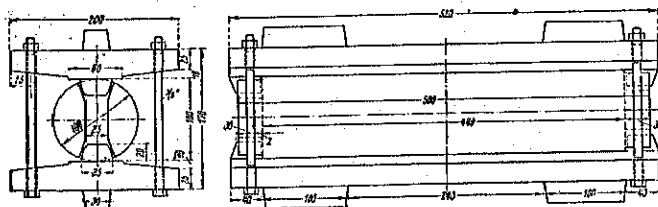
水中混擬土で作つた橋脚基礎を調査する爲、失板で開んだ試験坑を穿つた結果、右コンクリートは極めて不充分な緊密さと強度を有するものであることが判明した。故に橋脚を確固にする爲にラルゼン(3 號)矢板を約 1m の間隔に配置し、橋脚基礎と矢板との間にコンクリートを帶狀に打つた。舊橋臺の基礎木杭はこのコンクリートの下面迄に達してゐる。第 110 圖上記帶狀コンクリートは兩橋脚共同量の鋼筋を有し、その目的は基礎を全體的に支持するにある。

橋脚及脚臺上の舊床石は之を取除き新にコンクリートを以つて床石を作つた。この際基礎を幾分擴げて支

第 106 圖



第 107 圖

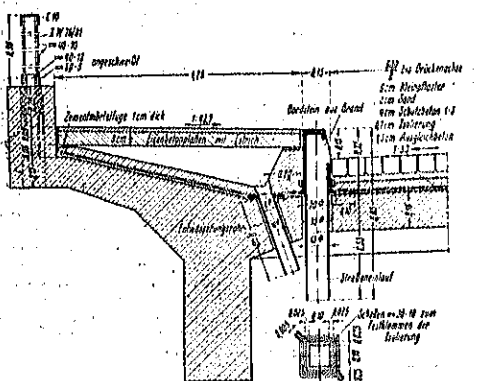


承部を後方に延長して荷重の増加による底の上昇を防ぎ、更に橋臺に連る翼壁の部を厚さ 20 cm の鋼筋コンクリート覆した。橋臺及橋脚は何れも砂及び砂の上に在つて、取付道路の高さは堤壘化なき故橋梁は橋臺の位置にて高さだけ深くなつて居り、橋脚の

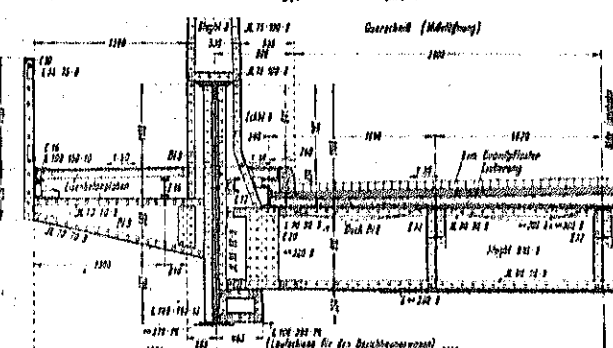
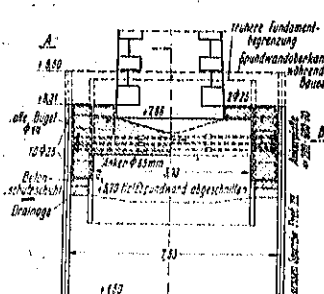
體舊橋と同様の高さである。故に新橋に於ては側徑間の縦勾配が從來水平なるに對し 1:50 となつてゐる。

主桁としては連續腹桁が用ひられ、中央徑間には補剛拱があり、腹桁は全長を通じて同高の腹板 (2.85 m) を用ひ歩道より 0.8 m 上に出でる。第 111 圖の断面に見る様に幅員 8.00 m の車道と各 1.5 m のコンクリート床版を有する歩道とから成り、これ等は DIN 1078 の

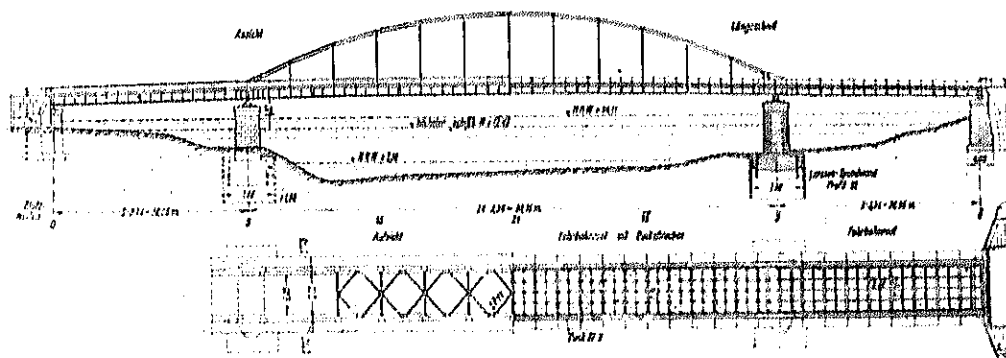
第 109 圖



第 110 圖



第 112 圖

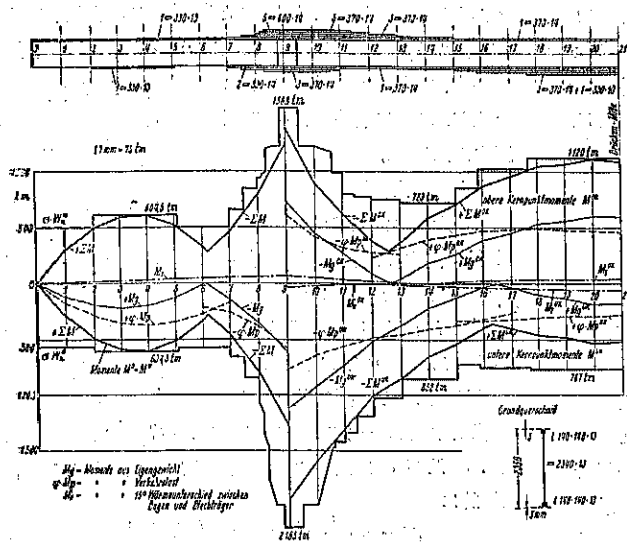


第 1 種荷重に依り設計したものである。鋼重量は 544.0 t, 塗工面積 7200 m², 中央徑間、側徑間何れも分割長 3.94 m で、この部分毎に横桁を配置し主桁に結合し、縦桁は第 112 圖に示す 15 及 15' の位置で切斷してある。主桁は厚 13 mm の腹板と薄板山形鋼 140×140×13 mm より成つてゐる。蓋板の數及び寸法は第 113 圖に示す如くである。

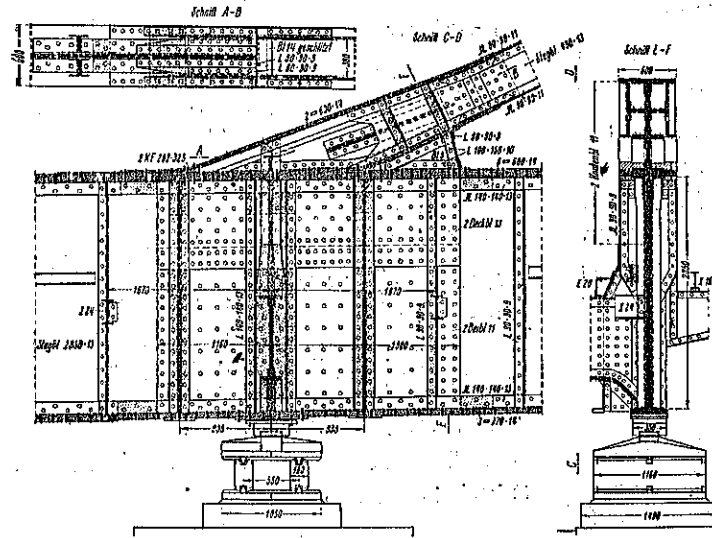
アーチは挂屈に對する安全の爲複数板とし、その格點は脚橋上約 10 m の高さに頂點を有する抛物線を爲す。拱肋最大應力は格點 IX で 531 t, アーチと補剛桁との取付けは第 114 圖の様で接合部に於ける不都合な隙間を除去する爲、拱槽は桁の稍前部で切斷し、補助板をこの部に挿入し、上側の縁板は緩やかな曲線で補剛桁に取付いてゐる。この接合は側面の充分な剛性を與へるが、アーチの應應力を受ける事なく、而も支承上の連結構に生ずる應力の一端を格點に傳へる。尙工事中は桁上を運行する起重機の妨げになる爲に接合部は最後に取付けた。

桁の蓋板はこの接合部でアーチの蓋板と同一の幅即 600 mm に擴げ、垂直カ力に對する轉柱により支持し、こ

第 113 圖



第 114 圖



第 115 圖



の縦柱は外観の關係上歩道上部に見ゆる部分は同一幅とし、その腹板上の山形鋼は主桁下端迄延長して補剛材を爲してゐる。

吊鉤は二分割長に 1 本の割合で挿肋より下し、上端では山形鋼 75×100×9、腹板幅 370 mm が下端では横桟や歩道縦柱に取付けられる様 580 mm に擴げてある。

本工事に際しては一般交通は約 18 m 下流に設けた假橋に依つて用を便ぜしめ、假橋は舊橋の上部を用ひ取付けの部分は鉢板を敷いた I 形桁を以つてした。假橋工事は前以つて材料組立、運搬等を所定の位置に於て完了して置いた爲め、手動捲揚機及び輸送により近く 4 時間位で架設を終つた。

新橋梁の架設は左岸に起重機を置き、最初の部分 0~4' を架設し、更にこの鋼桁上に右方に押進めて行き最後の 4'~0' を架設した

後、起重機を後退させ乍らアーチ及び上部に對風構を組立てゝ行つた。鋼桁の鉛接個處は、8, 12, 16 等である。橋體工事は 1933 年 8 月 1 日に着手、同年 9 月 21 日に終つて居り鋼桁、アーチ、及び横構（格歎 18）終結後足場を取り拂ひ、鉛結工事、車道、歩道の完成に約 8 週間を要して、同年 11 月 23 日に開通した。

第 115 圖は舊橋をポンツーンで浮動せしむる有様を示したものである。

（糸川一郎）

鉛接鋼桁の細部構造に関する重要な問題

F. Wangsleben, "Beantwortung grundsätzlicher Fragen über bauliche Einzelheiten geschweißter Vollwandträger," Stahlbau 5. Juli 1935, S. 110-112.

最近鉛接技術及び美觀から促されて鋼桁及びラーメン桁が用ひられる。従つて今迄の固定した見解を進歩した見解に基き再び吟味する必要があり、桁の構造及び許容應力に関する新しい見解が鉛接技術に依つて見出

された。

第 1 に鋼板の許容應力の問題を考へる。鋼板に對しては結構より高い應力を許してよいと云ふ考へが益々さかんである。その論據として、結構の場合には格點の剛結に依り屢々主應力の 30% 以上の 2 次應力を生じ、鋼板よりも應力が大になると云ふのである。然るに次の事情により、普通の計算で出し得ない應力の増加が鋼板に生じる。即ち

- 1) 曲げ應力と同時に生じる剪斷應力の作用。
- 2) 突縫の轉曲に依る應力の増加。
- 3) 突然の断面變化及び切缺に依る應力の滑な變化をさまたげる事に依る應力尖端。

1) の應力増加は單板の場合には重要でない。それは曲げモーメントと剪斷應力とが同一箇所で両方とも大きい事は通常ないからである。突縫又は連續板の場合には、之と異り支點に曲げモーメント及び剪斷力の最大値を生じる。突縫近くの腹板に於て $\sigma_{\max} = 0.0$, σ_{\max} 及び $\tau = 0.7 \sigma_{\max}$ とすれば主應力は

$$\sigma_1 = \frac{\sigma_{\max}}{2} (0.0 + \sqrt{0.0^2 + 4 \times 0.7^2}) \approx 1.20 \sigma_{\max}$$

となり、普通計算の最大應力の約 30% の應力増加が鋼板に生じ得る。故に鋼板の許容應力を大ならしめる事は出来ない。所が荷重を曲げモーメントに相當せしめると剪斷應力を小さく出来る事だが、之は 2) の應力増加を生じる。それは 1 つは曲げ應力の進行が直線でない事、1 つは突縫應力の放射方向の分力が突縫を曲げる爲、突縫が有効に働かないからである。2) の應力増加は曲率半径に逆比例するから曲率を適當にえらべば應力増加を最小に出来る事であるが、實際に必ず行へると限らない。

3) の切缺作用の危險な事は甚に多量を要しない。然るに之に矛盾した細部構造が屢々推奨されてゐる。例へば腹板の接合に添接板をあわせ用ひる事がある。此の場合内鉛接が用ひられ急に断面が變化する。又添接板は腹板の自由變形をさまたげる爲、應力の大部分は内鉛接に依り

第 116 圖



添接板に傳えられる。之は既に實驗に依り證明されてゐる。图 37 には

高値の鉛接材料からなる滑に接続した衝合鉛接、St 59 には第 116 圖に示した鉛接を用ふれば、此の添接板をさける事が出来る。

板の腹板と突縫の接合も断面中最も危険な箇所であるから注意を要する。縱應力と剪斷應力の共同作用及び腹板から之に垂直な厚い突縫にうつる場合の剪斷應力の方向の變化に依り應力増加を生じ、又之に鉛接板中の收縮應力が加はる。

應力の方向の變化に依る應力増加の大略の大きさを計算する。

X. 軸に関する傾斜直切 τ_{yz} τ_{yz} である形をした二つの場合

つた断面 a 及び b (第 117 圖)

を考へる。従つて此の断面は大

夫同じ幾何学をし、幾何学 d は

兩断面間で常に一定である。故に $\tau = G \frac{dp}{dt}$ である。兩

断面 a 及び b は断面の線に於て之に垂直であるから、

近似的に

$$d\tau \approx dp \left\{ r + \frac{p \rho_{pq}}{2} \left[1 - \left(\frac{p}{\rho_{pq}} \right)^2 \right] \right\}$$

である。 $\tau = A \frac{dp}{dt}$ とおき、 $\int_a^{b_0} \tau pdp = \frac{N}{2}$ (N は剪斷力) であるから

$$\frac{N}{2} = A \rho \int_a^{b_0} \left(r + \frac{p \rho_{pq}}{2} \right) \frac{dp}{\left(r + \frac{p \rho_{pq}}{2} \right)} = \frac{\rho}{2 \rho_{pq}} \cdot p^2$$

$$= \sqrt{\left(r + \frac{\rho \rho_{pq}}{2} \right) \frac{\rho}{2 \rho_{pq}}} \cdot W_{T_0} \sqrt{\frac{\rho \rho_{pq}}{r + \frac{\rho \rho_{pq}}{2}}}$$

となる。 $\rho \rho_{pq} \sim \frac{d}{2}$ とおけば

$$N = \frac{2.4}{\sqrt{1 + \frac{r}{d}}} \cdot W_{T_0} \cdot \frac{1}{\sqrt{1 + \frac{r}{d}}}$$

となる。さて $r = \rho_{pq}$ に對し $\tau = \tau_{\max} = \frac{N}{S} = \frac{r}{d}$ となる。然るに腹板の直線部分に於ては $\tau_0 = \frac{r}{d}$ であり、兩者の比は次の如くなる。即ち

$$\frac{\tau_{\max}}{\tau_0} = \frac{d}{2r} \cdot \frac{1}{\sqrt{1 + \frac{r}{d}}} \quad \dots \dots \dots (1)$$

普通の廣闊单板の如く $\frac{d}{r} = \frac{3}{2}$ とすれば、

$$\frac{\tau_{\max}}{\tau_0} = \frac{1}{3} \cdot \frac{\sqrt{7}}{\sqrt{1 + \frac{3}{2}}} = 1.11$$

となり、應力増加は平均應力の約 11% である。

此の遷移點に於て普通の隅肉鉛接は切缺を生じ得ひ得られない。Fried, Krupp A.-G. が第 118 圖の突縫面を提供してゐる。

第 118 圖

之は鉛接線が断面の危険な部分から離れてゐるから鉛接部分の削り仕上げをすれば切缺を生じない。

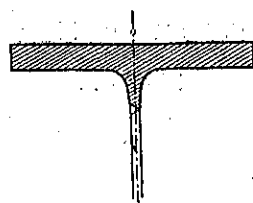
應力の方向と直角鉛

接縫は原則として避くべきである事を實驗結果が示してゐるにも拘らず、桁の腹板を横補剛材にて補削すべきだと云ふ謬つた考へがなくならない。此の横補剛材の突縫との接合は種々の方法に依り縫接接縫を用ひる様にしてゐる。然るに曲げ應力及び剪断應力を受けた腹板上の横補剛材の隅肉鉛接は未だ行はれてゐる。最近の鋼の接縫理論は、普通の間隔の横補剛材は板の安定の増大に無効であり、縫接接縫は非常に有效である事を示してゐる。鋼桁の横補剛材は大きな荷重が桁に傳達される箇所、例へば支點及び横桁連絡箇所に於て必要である。横桁の連絡は通常現場で行はれるから、鉛に依る方が施工上便利でもあり、又理論上も妥當である。

次の重要な問題は鋼桁の箇々の部分の接縫安全度の問題である。鉛結合の場合には大抵鉛孔挖除に相當する断面の餘裕があり、接縫餘裕と見做し得られるが、鉛接縫にはかかる餘裕がない。従つて此の場合接縫突縫は引張突縫より強く設計すべきかどうかと云ふ問題が成立つ。接縫部材の實驗に依れば、桁の接縫突縫に於て必ず考へられる非弾性範囲の接縫應力は部材の細長比には殆ど無關係で、構造材料の降伏點に殆ど同じである。細い部材に高い安全率を考える理由を次に示す。

- 1) 加工及び運搬の際曲げられる危險の大きい事。
- 2) 固着方法に依る部材端の荷重作用の過然の偏心。
- 3) 細長い部材は太短い部材より自重に依る揺みの大なる事。

第 3 の理由は桁突縫には成立ない。第 2 の偏心も生じる事がないから理由とならない。第 1 の理由は幾分成立つが長く連續した突縫は假令曲つても現場で取付ける綫構に依つて再び直線に出来るから程度は軽い。従つて鋼桁の接縫突縫に於ては一般に接縫に對する安全率を高める必要がなく、弾性範囲に對する公式に依つて求めた接縫應力が材料の降伏點 σ_F 以下であればよい。



埋屈安全度を證明する必要のない、突縫厚 t 、空隙幅 b 及び自由突縫長 l 間の限界比を決定する爲、突縫の接縫應力を研究する。突縫は水平方向に於て横に曲り得、又垂直方向に於て揺みに依りそむ中心軸のまわりに破壊し得る。第 1 の場合抵抗する慣性モーメントは $J = \frac{tb^3}{12}$ である。從屬する腹板を含む突縫に働く壓縮力は $P = \frac{\sigma_{max}}{c} S$ である。但し $S = Fe'$ 即ち考慮してゐる断面部分の断面 1 次モーメントである。大體 $F \approx 1.2bt$, $e' \approx 0.9e$ とすれば接縫力は $P_K \approx \sigma_F l \cdot 1.08bt$ である。然るに又 $P_K = \frac{\pi^2 E J}{l^2} = 1725 \cdot \frac{tb^3}{l^2}$ であるから $\sigma_K \approx 1600 \left(\frac{b}{l} \right)^2$ となる。 $\sigma_K \approx \sigma_F$ とすれば限界比は

$$\frac{l}{b} \approx \sqrt{\frac{1600}{\sigma_F}} \quad \dots \dots \dots (2)$$

となる。

第 2 の接縫可能の決定に對し平面板の變形仕事の一式

$$\begin{aligned} & \frac{m^2 E}{m^2 - 1} \cdot \frac{S^2}{24} \int_0^l \int_0^a \left\{ \left(\frac{\partial^2 z}{\partial x^2} + \frac{\partial^2 z}{\partial y^2} \right)^2 - 2 \frac{m-1}{m} \frac{\partial^2 z}{\partial x^2} \cdot \frac{\partial^2 z}{\partial y^2} \right. \\ & \quad \left. - \left(\frac{\partial^2 z}{\partial x \partial y} \right)^2 \right\} dx dy \\ & = \frac{\sigma_x}{2} \int_0^l \int_0^a \left(\frac{\partial z}{\partial x} \right)^2 dx dy + \frac{\sigma_y}{2} \int_0^l \int_0^a \left(\frac{\partial z}{\partial y} \right)^2 dx dy \\ & \quad - \tau_{xy} \int_0^l \int_0^a \frac{\partial z}{\partial x} \cdot \frac{\partial z}{\partial y} dx dy \end{aligned}$$

を利用する。 $\sigma_y = \tau_{xy} = 0$, $\sigma_x = \sigma_K$, $S = t$ 及び $z = C_y \sin \frac{\pi}{l} x$ とすれば

$$\sigma_K = \frac{m^2 E}{m^2 - 1} \cdot \frac{t^2}{12} \left[\left(\frac{\pi}{l} \right)^2 + \frac{24}{b^2} \cdot \frac{m-1}{m} \right]$$

となる。之は $l = \infty$ に對し最少となる。即ち

$$\sigma_K = \frac{2mE}{m+1} \left(\frac{t}{b} \right)^2 = 3230 \left(\frac{t}{b} \right)^2$$

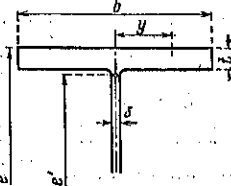
$\sigma_K = \sigma_F$ とすれば求める限界値は

$$\frac{b}{t} \approx \sqrt{\frac{3230}{\sigma_F}} \quad \dots \dots \dots (3)$$

となる。

St 37 に對し $\sigma_F = 2.4$ 又 St 52 に對し $\sigma_F = 3.6$ であるから、

第 119 圖

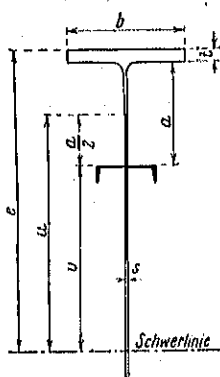


$$\left. \begin{array}{l} St\ 87\ の場合 \quad 36t > b > \frac{l}{25} \\ St\ 52\ の場合 \quad 30t > b > \frac{l}{21} \end{array} \right\} \dots\dots\dots(4)$$

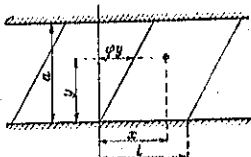
であれば歯縮突線の拘束安全度を特に証明する必要がない。此の場合突線の回転をさまたげる隅肉補強は必要でない。

腹板に縦補剛材のみを用ひる場合には、補剛材間の部分の横筋から横筋迄の長さを、その間隔に比し腹の拘束を決定する場合に無限なりと假定出来る大きさにする。又

第 120 圖



第 121 圖



Timoshenko の公式が、引張の作用しない時は、直線的に変化する歯縮に對し、平均の量の均一歯縮に對する計算と略々同じ結果を得る事に注意すれば、曲げ應力及び剪断應力を考へた、腹板に對する簡単な拘束公式が得られる。第 121 圖に依り、變形仕事の式に

$\cos C \cdot \sin \frac{\pi}{l} (x - \varphi y); \sin \frac{\pi}{a} y$ を代入すれば、 $\frac{\sigma}{r} = \rho$ 及び $\frac{l}{a} = \beta$ として、次の平均の拘束應力

$$\sigma_K = \frac{m^2 \pi^2 E}{12(m^2 - 1)} \left(\frac{S}{a}\right)^2 \frac{\beta^2 + \beta^2 + 0\varphi^2 + 2}{1 + \frac{2\varphi}{\rho}}$$

となる。 $\beta^2 = 1 + \varphi^2$ 及び $\varphi = \frac{\rho}{2} \left(-1 + \sqrt{1 + \frac{2}{\rho^2}}\right)$ の時此の値は最小になる。即ち

$$\sigma_K = \frac{m^2 \pi^2 E}{9(m^2 - 1)} \left(\frac{S}{a}\right)^2 \rho^2 \left(\sqrt{1 + \frac{2}{\rho^2}} - 1 \right) = 7590 \left(\frac{S}{a}\right)^2 \mu \dots\dots\dots(5)$$

又は剪断應力できる時は $\nu = \frac{\mu}{\rho}$ とすれば

$$\tau_K = 7590 \left(\frac{S}{a}\right)^2 \nu \dots\dots\dots(6)$$

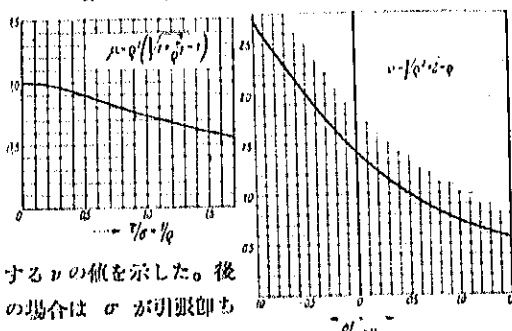
となる。實際の計算には書直して次の 2 式が得られる。即ち

$$S = \frac{a}{87.3} \sqrt{\frac{\sigma_K}{\mu}} \dots\dots\dots(5a)$$

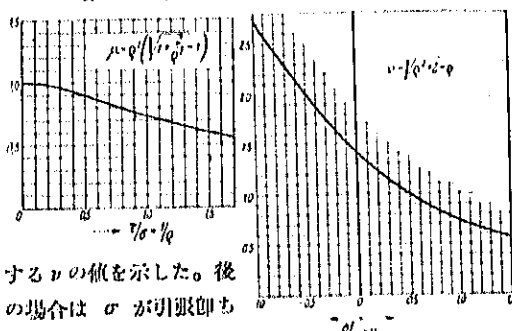
$$S = \frac{a}{87.3} \sqrt{\frac{\tau_K}{\nu}} \dots\dots\dots(6a)$$

第 122 及び 123 圖に $\frac{1}{\rho}$ に對する μ の値、 ρ に對

第 122 圖



第 123 圖



する ν の値を示した。後の場合は σ が引張應力 ρ が負の場合もある。|

筋の歯縮及び腹板が同時に限界應力に達する時の關係が成立つ。即ち

$$\sigma_K = \frac{\nu}{c} \cdot \sigma_F \dots\dots\dots(7)$$

$$\text{又は } \tau_K = \frac{\sigma_F}{\sigma_{K0}} \cdot \tau \dots\dots\dots(8)$$

故に腹板の拘束應力は常に彈性範圍内にある。腹板の端接縫の收縮を考慮して安全率を高める爲、式 (5a) 及び (6a) の係数 87.3 を 80 とする方がよい。

縦補剛材は横筋連結部で連結せしめ、此の設計は腹板の T 部と共に、彈性範圍内の拘束應力 $\sigma_K = \frac{\nu}{c} \cdot \sigma_F = \frac{\nu}{c} \frac{\pi^2 E}{l^2}$ を有する歯縮部材と見做すのが最も簡単である。補剛材の寸法は次の條件から得られる。即ち

$$l^2 \geq \frac{\nu \sigma_F l^2}{c \pi^2 E} \approx \frac{\nu \sigma_F l^2}{3c} \dots\dots\dots(9)$$

但し l は m とす。
(奥田秋夫)

San Francisco Bay Bridge の斜脚塔

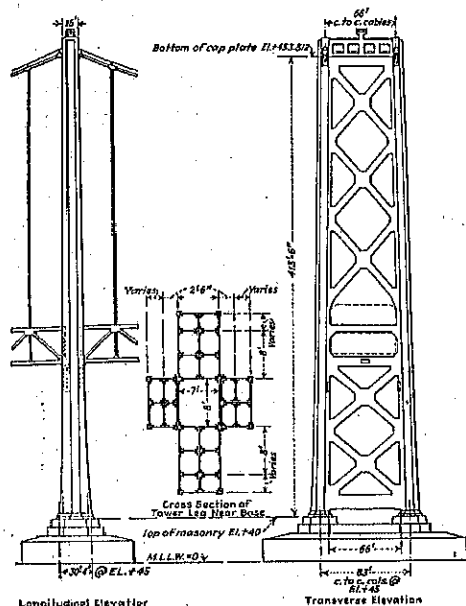
(C. H. Purcell, G. E. Andrew and G. B. Woodward, "Batter-leg towers for San Francisco Bay Bridge," E. N. R. June 20, 1935, p. 805~807.)

San Francisco Oakland Bridge の West Bay Crossing は三重吊橋であり、中央鏡像に對し大體對稱である。各吊橋の主樋間は 2310 ft、側樋間は San Francisco 端が 1171 ft である。他は 1160 ft である。塔は

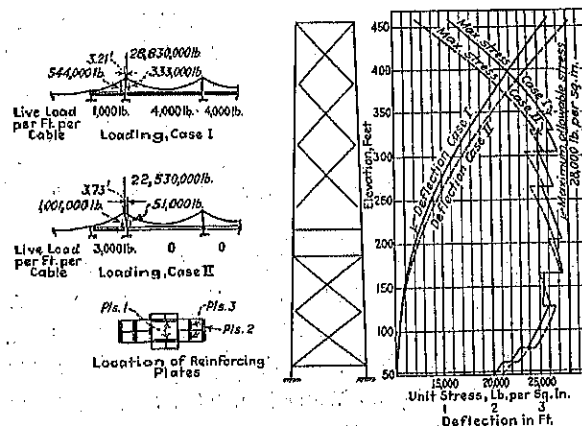
及び 6 の間は 7110 ft あり、中央縦距 48 ft の垂直曲線がはいつてゐる。従つて塔 3 及び 5 は塔 2 及び 6 より 44 ft 高い。車道有効幅は 58 ft である。San Francisco 側の背控が長い爲、塔 2 は頂點の揺み大で従つて断面も大きく、塔 6 とその點丈が異なる。塔 3 と 5 は完全に同じである。塔脚では下部では 21 室、頂點近くで 9 室に分れてゐる。鋼索鞍は塔頂に固定されてゐるので塔は荷重により揺む。

側方安定をよくする爲、66 ft の鋼索間隔より幅を擴

第 124 圖
San Francisco Bay 吊橋の標準塔の
正面図、側面図及び断面図



第 125 圖 滲荷重分布図及び塔 2 の応力分布図



げた。又補剛トラスの錐形は柱と同じ線上にない爲簡単になつた。

水平支材のない交叉綫構を用ひた。之は矩形綫構よりも剛度大である。

吊橋の床及び吊材は自動車及び電車荷重に對し設計した。他の部分は總て鋼索 1 ft 當り 4000 lb の活荷重に對し設計し不平均活荷重が 3000 lb/ft に及ぶものと考へた。吊橋の平均死荷重は 20 000 lb/ft である。2 つの極端な場合に於ける塔 2 の頂點の移動は約 7 ft に及ぶ。

第 125 圖 case I 及び case II の活荷重分布に依る塔頂點の揺みは第 6 表の如し。

第 6 表 塔頂點の揺み (ft)

	場合 I (温度+0°F)		場合 II (温度+32°F)	
	左	右	左	右
實際の揺み			3.71	2.89
初めの揺み	0.67		0.67	
構造誤差		0.17	0.17	
純 揺み		3.11	3.73	

従つて比較的揺み易い塔を必要とする。 l/r (r は中央に於けるもの) は塔 2 及び 6 は 70, 塔 3 及び 5 は 75 である。

断面は十字形である。初め中央部にも垂直隔壁を置く豫定であったが之を省いた。之は現場鉄を少くし、又材料をなるべく外部におく爲であつたが、ハンマーヘッド起重機を用ひるのにも役立つた。

柱は總て硅素鋼を用ひた。許容應力は 28 000 lb/in² である。綫構その他には炭素鋼を用ひた。許容應力は 22 000 lb/in² である。風荷重に對し 10%, 地震荷重に對し 40%, 許容應力を増した。

塔の設計には鋼索及び補剛トラスからの垂直荷重及び塔頂の水平力を計算した。先づ塔断面を假定し、水平力を出した。そして断面と水平力とが釣合ふ迄計算を繰返した。

最も有效な位置に材料を配置するのは困難であつた。曲げモーメントに耐える爲には材料を中心から遠くした方がよく、その爲剛度が増し、水平力を大ならしめるに至るのである。塔 2 は揺み大である爲、第 125 圖に示す様に補剛版を追加した。その他は塔 6 と同じである。

30 lb の風荷重及び 0.1 g の地震荷重に對しても計算を行つた。

塔柱は荷重に依り短くなる爲、垂直荷重の一部を綫構に傳える。此の影響を考慮して塔部材の綫應

力及び曲げ應力を正確に計算した。又此の計算を模型試験に依り吟味した。何れの場合にも2次應力は1次應力の10%以下であった。

水平支材がない爲柱が外に曲り得る。従つて斜材に於ける垂直荷重に依る縱應力が比較的小である。滿載荷重の場合柱が直線になる様斜材の長さを作製した。此の設計の今迄の實例と異なる點をあげる。

- 1) 厚4inの基盤と塔柱との連結は現場鎔接に依つた。連結山形を減ずる事が出来る。
- 2) 柱の中央部の垂直隙間を省いた。現場鎔を減ずる事が出来た。但し下部及び頂上に於ては荷重分布を完全ならしめる爲隙間版を用ひた。

- 3) 塔の傾斜及び柱断面の變化は、路面以下の柱の内面が垂直で間隔が60ftである様にした。従つて補剛トラスの反力をうける筋を柱の内側に固定する事が出来た。

(奥田秋光)

ポーランドで行つた橋梁補強

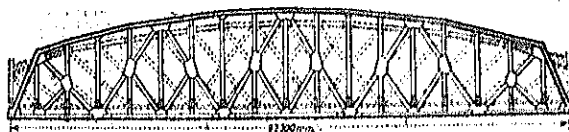
(Engineering in Foreign Countries, "Polish Bridge Strengthened" E. N. R. July 4, 1935, p. 10.)

ポーランドのThornでは、架設後62年を経た鉄橋を補強してゐる。

此の橋は、Vistula河を横ぎる全長972m、裡間17連より成り、その中5連は92.3mである。

橋長の1/3は876mの曲率半径で彎曲してゐる。上部構造の設計荷重は150kg/cm²であった。然しこれでは最早今日の鐵道橋としては不適當なので、經濟的な補強方法を講ずる事になつた。

第126圖



試験の結果、鋼鐵は使用後60年以上も經てゐるが全く完全である事が分つた。

此處に採用した補強方法は、第126圖、第127圖に示すやうに兩側トラス間に更に第3のトラスを設ける方法

であつた。

トラスの形狀は、バルチモア式を憶はせる長斜方形トラスである。之に依つて、幅員は公道部(5.80m)と軌道部(4.88m)とに區別せられた。

橋梁の剛度はこの補強に依つて舊の2倍になる事が計算に依つて證明せられた。

(吉藤幸助)

10. 河川

洪水の豫測と調節を目的とする雪の測量

(J. E. Church, "Snow Surveys as an Aid to Flood Forecast and Control" E. N. R. June 20, 1935, p. 879-891.)

今や洪水の豫防と調節は雪の測量の特殊部門となつてきた。雪の深さと融解速度とを知ることとは山間地方に源を有する河川の流出量を豫想する場合、唯流域關係の資料のみから豫想するよりも非常な正確さを與へるものである。この報告は堰堤の除水路の設計や、貯水に不必要的犠牲を拂ふことなく洪水の時間に充分な面積を求むる場合に特に價値のあるものである。

積雪測量の研究は水路の寒流と湖水面の上昇について次の解釋がなされて居る。

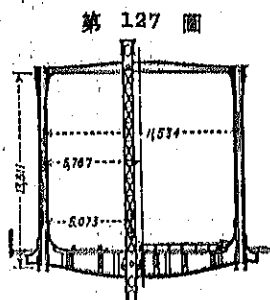
I. 水路の寒流 我々の雪の測量は一般に1月-6月までの月1回の測量に限られてゐるから雪の融解の速度と水路寒流の研究は殆ど行はれてゐない。

何れの場合にも洪水の影響は土地の高處と雪の深さによるものであるが據てこの二つが同流域中でも大いに變化してゐるものである。又流出量は土地の凍結、濕潤、及乾燥等の状況により異なる。一般に洪水の脅威は流域面積に亘り雪の測量をして滞留してゐる雪の深さ

を調査して定めることが出来る。以上の事柄から求めらるる融解により流れ出る割合は水路の不足を計算する基礎を與へるのである。雪の測量の行はれてゐる所では融解の速度と、その流量に及ぼす影響とは融解期の始めと終りに雪場よりの基本を調べ且その結果の流量を測定することによつて容易に決定できる。

通常の高い温度は融解と流出量を促進させることは判然と分らなかつたが、暖風と降雨は洪水の力強き原因となるもので特に水を含んだ積雪に作用する時は甚しい。

温度と降水量の融解所を有する雪の測量系統が數年前に Washington Water Power Co. によって流域に於ける年々の流出量のパーセンテージと洪水の傾向を



有する状況を決定する爲に Cœur d'Alene 湖上に組織された。この流域は湖水の貯溜容積よりも遙に多い流出量を與へ、流出門を閉塞して置けば容易に湖水に氾濫する故、會社に對する問題は季節的流出量を出来るだけ早く知ることであつた。

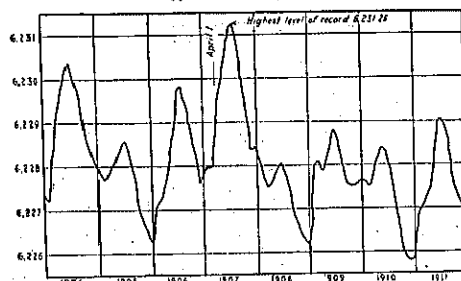
2. 貯水池の貯水量 雪の測量の percentage method と河川の流量の豫測は色々の問題に満足な解答を與へてゐる。特に積雪が年々の流出量に關係の甚大なる Continental Divide の西部にはよく適合される。貯水池は積雪から全季節的流出量を決定して起り得べき場合に適合する様に調節される事が必要である。

Truckee 流域の流出量を貯溜する Tahoe 湖の調節をなす爲の雪の測量は現在の窮境を脱する唯一の方法である。

この方法は推積期間の終りに於て前に見る豪雨のあつた 2 季節に付いての既往の調査に利用された。即ち次の結果は信じ得べきものである。

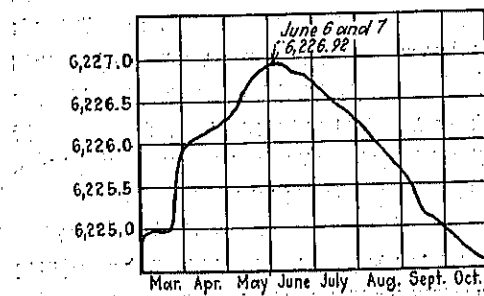
3. 1906-07 年に於ける Tahoe 湖の上昇 1906-07 年の季節には湖水の水位が堰堤上 1.26 呎上昇した洪水の年で、その前後の湖水面の變化は第 128 圖に示されてゐる。

第 128 圖



4. 1927-28 年に於ける Tahoe 湖の上昇 1927-28 年に於ける Tahoe 湖の上昇は第 129 圖に示され、その季節的雨量は第 7 表の通りである。

第 129 圖



第 7 表 Tahoe 湖の季節雨量
(Tahoe El. 6,230 ft)

	Normal (吋)	1927-28 計		Normal (吋)	1927-28 計
12 月	5.11	3.29	4 月	2.09	3.03
1 月	6.48	1.92	5 月	1.11	0.10
2 月	6.04	1.11	6 月	0.40	0.28
3 月	8.20	12.3	7 月	0.81	0.19
計	20.02	18.52	計	4.00	4.20

(小林重一)

12. 堤 堤

第 2 San Gabriel 堤の木材遮水版

(“Flexible Timber Facing Applied to San Gabriel Dam No. 2” E. N. R. June 18, 1935, p. 836~838.)

Los Angeles の第 2 San Gabriel 堤は、前面にコンクリート遮水版を有する石積堤であった。此の堤は竣工後もなく積石の不等沈下により前面に亀裂を生ずるに至つた。そこで本年 2 月より前面コンクリート版を改築し其の表面に木板を張り、更に積石を補給する復舊工事が行はれた。

前面の舊遮水版は 30×30 呎の施工継目となつてゐたが、徑 2 吋の穿孔を 6 時間隔に行ひ 7.5×15 呎の方塊に分割した。此の方塊の中央に鍛錬を取り付け、堰堤頂部より順次に前面法尻に引き降した。

新しい遮水版の設計には、尚積石の沈下を考慮する必要があつた。従つてコンクリート版による止水方法を廢し、前面仕上げには可撓継目を有する木板を用ひて水密性を保たしめる事となつた(第 130 圖)。

第 130 圖



先づ木板の基礎として厚さ 6 時縦横 30 呎のコンクリート版を打ち、其の隣接間隔を 6 時とした。此の空隙は貯水池水面の急降下に際して木板の裏面に生ずる壓力を平均せしめ、且積石沈下によるコンクリート方塊の位置修正を容易ならしむる等の目的をもつてゐた。木板は水平層に配列し 3 層を 1 組として縫目を釘付とした。之を杭にて基礎コンクリート版に固定し、各組毎の 1/4 時水平縫目にはアスファルトを注入す。木材には防腐剤を用ひないで 10 年位の壽命であるが、その頃には堤堤の沈下も終り永久的の遮水版と交換する考へである。

堆堤背面の勾配は上部 1.8:1、下部 1.6:1 にして平均 1.5:1 とし、此の補足積石の數量は堤頂が 3000 帳³ 背面が 60000 帳³ であつた。積石には總べて切石を用ひ、大きさの割合は 100~150 封度を 10%、500~3000 封度を 50%、3000~14000 封度を 40% とした。

(米屋秀三)

13. 上水道

木管の漏水決定法

(A. A. Svirin, "An Analytical Method of Determination of Leakage in Wood Stave Pipe", Journal of the American Water Works Assoc., July 1935, p. 812~821.)

木管を最初に造り且つ火量に使用しある America に於ては、単位 1 日漏水量 e が管の延長 L の哩當り、その直徑の時當りに就て一般に考へられてゐる。即ち或管路に於ける全 1 日漏水量は次の如く公式 1 に依て表はされる。

$$Q = eDlt \quad \dots \dots \dots (1)$$

茲に t は漏水の生じた日数である。

上式に於ては管内の水壓は無視してある。そこで内壓 p を考慮に入れると公式 2 の如くなる。

$$Q = eDplt \quad \dots \dots \dots (2)$$

然しながら茲に起る疑問は、或一定の内壓に對して建造した管が他の壓力のもとに使用された場合、漏水量は公式に於けるが如く最初の壓力に比例するであらうかと云ふ事である。本文の目的は此の疑問から出發する。

管の漏水は次の原因に起因し得る。

1) 木管中の水の内壓の作用に依る管の垂み若くは橋に起因する縫接手及び横縫目の弛みに依て生ずる割れ目からの漏水

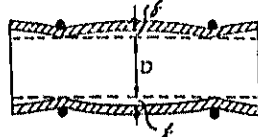
2) 接手並に縫目の面を不完全に削り又不平間に接いだ桶板の毛管割れ目からの漏水

3) 桶板に於ける縫(不手際な縫穴結節、損傷を受けた桶板)、弛んだ接手及び縫目(不手際な管の組立)に依る漏水

1. 第 1 原因 内壓の作用に依る桶板の垂み及び接手と縫目の孔目は管中の水の内壓の大きさに依て決まる。今桶板を等分布荷重を受け、螺旋緊結構造を支點とする連續梁として考へると、この桶板の垂みは或中間徑間並に桶板の片持梁終端部分に對し實際の壓力 p_0 の 1 乘に正比例する。即ち中間徑間の最大垂み f は次式に依て表はし得る。

第 131 圖

$f = Ap$
茲に A は與へられた管
に對する一定係数であ
る。



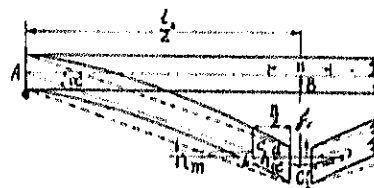
第 131 圖の桶板に於ける垂み f の大きさは境帶間の中心點に於ける直徑 D なる管の斷面積の周邊に依て増加する。

$$\delta = \pi(D+2f) - \pi D = 2\pi f = 2\pi Ap \quad \dots \dots \dots (3)$$

今 δ を境帶間の距離とすると、境帶間の 1 径間に於ける接手孔の面積は次の通りである。

$$m_1 = \frac{\delta \cdot l}{2} = \pi Alp \quad \dots \dots \dots (4)$$

第 132 圖



第 132 圖の桶板の接手に於て、桶板に於ける垂みを接手に現はさず接手の防水を維持する爲に接手板を取付けるのであるが、接手板の移動がそこに生ずる、從て水の漏出を起させる縫目の弛みを生ずる。第 133 圖に依て接手板には接手の上緣も縮む傾向を有する。極點即ち桶板の接手及び版の終端に於ける m の値は三角形 ABC 及び abc が相似なることより垂み f_1 に比例する。而して後者は實際の壓力 p_0 に比例する。換算すれば次のことを假定しても差支へない。即ち桶板の衝頭接手の場合に、接手に於ける開孔の値は實際の壓力 p_0 に比例する。故に次式の如く表はし得る。

$$m_2 = Bp_0 \quad \dots \dots \dots (5)$$

計算から知る如く、管中の水の内壓に依て生じた桶板の曲りに起因する縫目及び接手の開孔の面積は木材の

膨脹を考慮に入れない場合でも極く僅小である。此の事實から推して次の事が云へる。即ち曲り箇所に展開した割れ目からの漏水は毛管状水路に於ける水の運動法則に依て進まる。そして次式に依て表はされる。

$$v = \kappa_1 i = \kappa_1 \frac{p}{c} = \kappa p \quad \dots \dots \dots (6)$$

茲に κ_1 は速度係数、 i は桶板 c 及び κ の商に等しい漏水勾配、 κ は κ_1/c に等しい係数である。

公式 6 に於ける壓力 p は管の内側の壓力計に依る壓力も表はす。

管からの漏水量は流出面積に速度を乗じたものに等しいから公式 4, 5 及び 6 に依て

$$Q = (xw_1 + yw_2)v = (x\pi Alp_0 + yBp_0)\kappa p = dp_0 p \quad \dots \dots \dots (7)$$

茲に d は與へられた管に對する一定係数、 x は管に於ける管の間の徑間の長さ、 y は同一斷面に於ける接手の数。

地上に設置した管を取扱ふ場合には $p_0 = p$ となり、公式 7 は次の様になる。

$$Q_1 = dp^2 \quad \dots \dots \dots (8)$$

水の内壓 p は常に管にかかる土の外壓 p_t よりも非常に大きいから、公式 8 は又上記の第 1 原因に依る近似の漏水量を與へる。故に地中の管に對しては次のことを假定しても差支へない、即ち水の内壓の作用に依る桶板の傍に依て生じた縫目及び接手からの木管の漏水は管中の水の壓力計に依る内壓 p の 2 乗に正比例する。

2. 管桶板に於ける氣孔の存在及び縫目に於ける隙接桶板の不完全な合せ目に起因する木管からの漏れ第 2 原因は管中の水の内壓に依ることは殆んどなく、上記の原因に依る管壁の全滲透面積を w_3 とすると次式に依て漏水量を表はし得る。

$$Q_2 = w_3 v$$

桶板の氣孔及び接手の隙みは縫目に於て水を漏らしめる毛管状水路を形成するから、本公式に於ける v は公式に依て表はされる。故に

$$Q_2 = w_3 \kappa p = \beta p \quad \dots \dots \dots (9)$$

茲に β は管々の管に對する一定係数である。

換言すれば第 2 原因に依て生ずる漏水は管中の水の壓力計に依る壓力 p の 1 乗に正比例する。

3. 木管からの漏水第 3 原因は節の抜けた穴の存在、桶板に生じた傷損若くは管の接手に於ける著しく弛んだ縫目の影響の如き桶板の不完全性に依るものである。用てかゝる缺陷は可成りの断面積の孔口を形成し水の

通路として便する。之等を通して流れる水の速度は次式に依て表はされる。

$$v = \kappa_2 \sqrt{i} = \kappa_2 \sqrt{p/c} = \frac{\kappa_2}{\sqrt{c}} \cdot \sqrt{p} = \kappa_3 \sqrt{p} \quad \dots \dots \dots (10)$$

茲に κ_3 は一定係数である。

孔口 w_4 の全面積は内壓 p に無關係である。故に第 3 原因に依て生ずる漏水は次式に依て表はされる。

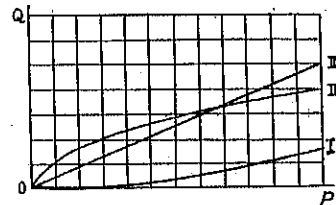
$$Q_3 = w_4 \kappa_4 \sqrt{p} = \gamma \sqrt{p} \quad \dots \dots \dots (11)$$

茲に γ は與へられた管に對する一定係数である。

公式 8, 9 及び 11 に依て表はされたる原因に依る管からの漏水の總量は次の通りである。

$$Q = dp^2 + \beta p + \gamma \sqrt{p} \quad \dots \dots \dots (12)$$

第 133 圖



公式 12 の各項を坐標即ち管の内壓 p を横座標、管からの漏水 Q を縦座標として圖表で示すと(第 133 圖参照)、 p^2 を包含する第 1 項は上向きの凸狀をなす抛物線 0—I に依て表はされる。第 2 項は方程式 9 に依り直線 0—II に依て表はされる、又第 3 項は曲線 0—I に依て表はされるが、その上向きの凸狀は曲線 0—I と本質的に異つてゐる。尙これは方程式 11 に依て表はされる。

管の實驗に依る漏水の總量は次の通りであるが

$$Q = Q_1 + Q_2 + Q_3$$

之等の結果に従つて上記の部類に細別することなしに、座標 p 及び Q に依て全漏水の曲線を容易に表はすこと

が出来る。この曲線の形

第 134 圖

狀はその時の漏水狀態に

依て變つて來る。例へば、若し實驗の結果が第

134 圖に示す曲線に依て

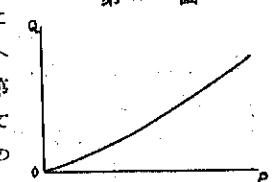
表はされるならば、水の

内壓の作用に依る桶板の

拂のために縫目及び接手の開孔に依て生じた割れ目

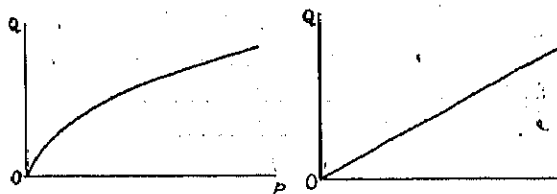
から相當多量の漏水が存在することを想定しなければならぬ。かゝる曲線は管の桶板が材料自身の拂に對しその薄さのために抵抗が不充分であつたため、若くは管の

間の間隔が過大であつたために弛んだことを示してゐ



る。若し實驗曲線が第 135 圖に示す形狀を呈するならば桶板に於ける漏水量は弛んだ綫及び接手からの相當の漏水の存在を想定しなければならない。第 136 圖の直線に依て示した全漏水は次の 2 つの場合にのみ起る。

第 135 圖



第 136 圖



1) 多量の漏水が、管桶板の氣孔及び荒削りしたり弛く合せた桶板の間の毛管状孔隙からの流出に依て説明せられる場合

2) 上記の漏水の有無に拘らず、他の 2 種類の漏水に直面した場合： 即ち Q_1 及び Q_2 は曲線の彎曲度数が互に相反對立の關係にあるから、結果として直線に近似なるものを得る。然し豫備計算に依るとかゝる場合は極めて稀例である。

然るに公式 12 の第 I 項は些々たるものであるから抹消すると次の簡単な式に誘導し得る。

$$Q = \beta p + \gamma \sqrt{p} \quad \dots \dots \dots (13)$$

公式 13 に於て、若し漏水を或 2 つの壓力のものとに測定したならば、如何なる壓力のもとに於ける管からの漏水でも決定し得る。例へば或管に依て漏水を試験した場合は 6 気壓のもとに於て 1280 g.p.h. (gallons per hour) の漏水があり、5 気壓のもとに於て 1150 g.p.h. の漏水があつたとすると、公式に依て

$$1280 = 6\beta + \gamma \sqrt{6} \cdot \gamma, \quad 1150 = 5\beta + \gamma \sqrt{5} \cdot \gamma$$

両方程式を聯立して解くと $\beta = 50$, $\gamma = 400$ を得る。之等の與へられた管に對する公式 12 に代入すると次式を得る。

$$Q = 50p + 400\sqrt{p} \text{ g.p.h.}$$

壓力を異にする管に於て、3 気壓の場合を探ると漏水は次の通りである。

$$Q = 50 \times 3 + 400\sqrt{3} = 150 + 608 = 843 \text{ g.}$$

計算から解る如く試験に依る管からの主要なる漏水は第 3 原因、即ち桶板の缺陷及び不充分なる組立に依るものである。

尙 A. J. Popkov は the Leningrad Scientific-Research Institute of Water Supply, Sewerage, Hydrotechnical Constructions and Engineering

Hydrogeology に於ける調査に基いて、次の如き、壓力を使用して單位漏水量を決定する實驗公式を "The application of woodpipe" なる彼の著作に於て掲げてゐる。

$$e = E p^n \dots \dots \dots (14)$$

彼に依ると次の結論に到達してゐる、即ち Soviet 聯邦に於て設置し、彼の調査した 5 系統の水管の場合には係数 E は各管へられた管に對して一定の値を有するが、管を異にする場合にはその値を異にし n 倍も相違を來すことがある。然るに器指數 n は如何なる直線に對しても考慮して見て管路に對し一定の値を有し略 $2/3$ である。

凡ての管路からの全漏水は、壓力に就て考へ、公式 1乃至 14 も適用すると次の如くなる。

$$Q = E p^n D L L = \sum p^n \dots \dots \dots (15)$$

茲に \sum は與へられた管路の一定係数である。

前記した例題を公式 15 に適用し、聯立 2 方程式から漏水量を求める $Q = 840 \text{ g.p.h.}$ となり、公式 13 に依て計算した値に近似したものを得る。

或器指數 n を有する公式 15 は簡単であるが、公式 13 に於けるが如く管の缺陷の性質に關しては明示してない。然し若し係数 \sum 及び n が概ね管を異にする毎に異なることを考へるに至れば、公式 17 の簡單性への期待は失はれるのであって、兩式を適用するには同じく前例に依つて異つた水管のもとに於ける 2 つの豫備漏水試験測定を行はねばならない。

(E.G. 動)

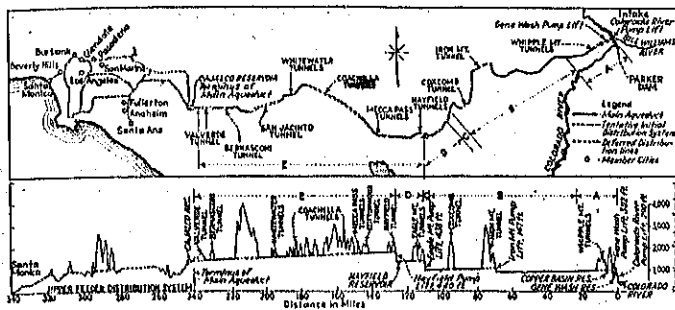
Colorads 河水道に於けるサイホンの設計

(Gumensky, "Principles of Siphon Design for Colorado River Aqueduct" E.N.R.) June 27, 1936, p. 809-909.

南 California 地方の 18 郡市が聯合して Colorado 河を水源とする上水道を計畫し、之を Colorado 河水道と名づけ其の區域を Metropolitan Water District と名付けた。Colorado 河の Parker 堤壩から、Los Angeles の四方 50 哩の Cajaleo 堤水池に至る水路延長は 242.3 哩にして、其の開山嶺地帶・砂漠地帶・崎嶇地帶等地勢に著しき變化がある。取水地點は終端貯水池より 958 哩低く、水路の損失水頭を加算すれば 1018 哩の導揚揚程を必要とする(第 137 圖)。

送水路のサイホンは 140 個所 28.0 哩にして總延長の 11.0% に相當し、最長區間は Casa Loma の 26.417

第 137 圖



呎、最大水頭は Single Lift の 103 呎である。本工事に使用されたコンクリートは 348 000 磅² 鋼筋は 31 000 t にして、工費は 10 508 000 呎の巨額に達す。

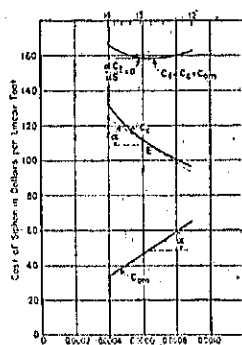
一般に水路の断面を縮少すれば、建設費は低下されど、喇叭運転費を増加し、此の反対に水路を擴大すれば、喇叭揚程を節減す。従つて工事費+経常費の最小となる或る經濟的断面が存在する筈である。而して送水用渠が扱く喇叭揚程の大きな場合には、断面の僅少なる差異も綜合經濟に甚大なる影響を及ぼす。此のサイホンの流速は 1 005 呎/秒にして之を複線に分ち、水頭 30 呎の圓形壓力管として各動水勾配 S に対する工事費 C_h 及び喇叭運転費の換算資金 C_{om} を求め、 $C_h = C_0 + C_{om}$ とすれば第 138 圖となる。即ちサイホンの直徑を 12 呎 0 尺とし、動水勾配 0.00065 を用ふれば最も有利なる事を知る。但し

$$\frac{dC_h}{dS} + \frac{dC_{om}}{dS} = 0 \quad \therefore \quad \frac{dC_h}{dS} = -\frac{dC_{om}}{dS}$$

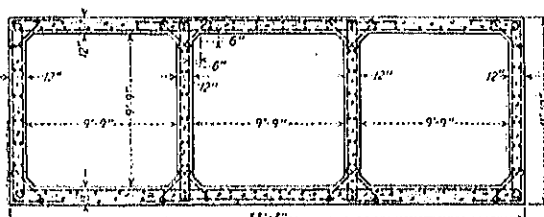
而して喇叭運転費は揚程に比例して $\frac{dC_{om}}{dS}$ は一定となるから、 C_h を求むる代りに $\frac{dC_{om}}{dS}$ と逆符号の接線を C_h に引き、直ちに E 點を求める事も出来る。

かくてサイホンには直徑 12 呎前後の圓形複株式現場打鋼筋コンクリート管が最も多く用ひられ、隧道と暗渠の連絡には徑 16 呎の單線圓形管を用ひた所もある。又開渠水路に於ける低水頭サイホンには、2 横間所取の鋼筋コンクリート管が使用された。第 137 圖に就いてみれば A, C, E 横間は單複の圓形管、B, D 横間は砂漠地方で肉型ラーメンが多い。Big Morongo, San Andreas 等の斷層地帯には圓形サイホンを用ひ、地盤による破壊を僅少ならしむるために 20 呎毎に継目を設置した。従つて継目は完全に絶縁され、第 139 圖の如き特別の工法により水密性を保つ。(米風秀三)

第 138 圖



第 139 圖



14. 下水道

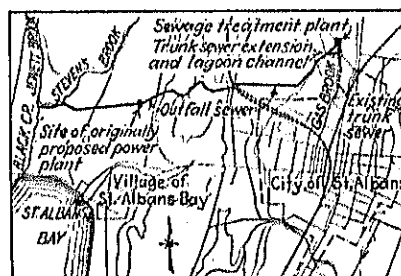
長路の放流渠による下水處理法

(Henry W. Taylor, "Sewage-Treatment Processes aided by Long-Outfall" E.N.R. May 23, 1935, p. 730-741.)

St. Albans 市は目標農地よりの流出水に対する甚しき下水汚染除去の為、下水処理場及び長路の放流渠築造を企て、日々築造中、間もなく操作されるが、其の興味ある點は、計畫様式に重大な影響を有する、地方的條件に適応せる擴張計画の根柢に就いてである。

1. 現状 本市は、Lake Champlain の St. Albans 湾の東に位し、人口約 9,000、合流式下水管渠が、約 40 年前に築造され、幹線は Gass Brook として知らるゝ小瀬に流出する(第 140 圖)。

第 140 圖



幹線流出口から流入口迄流下距離、約 6½哩に達し、流水は、夏季時、實際に於ては涸渇す。街より流入する下水は、乾天時最初の 1.5 哩は稀釋されず流下し、溝よりの背水に到つて始めて可成の割合に稀釋される。本背水は湖より乾天時に約 1 哩、湖の高水位時には 2 哩上流に達す。斯の如き沿岸の保健狀態は容易に想像し得る故詳述せぬが、多年に亘つて、斯る保健狀態に對する農民達と都市との間に週期的な軋轢が繰返されて居た。1933 年、農民達の訴訟により處理場築造を決定したが、建設費は勿論、公債可決、上級常費の問題に對しても宜しく相應したるものであり、且煩勞をかけた然も完全な操作をなし得る處理場の設計を必要とする。

2. 設計基本 上述の點を考慮し、流出水中の汚水除去なる、唯一の結論があり、之れが遂行に當つては本地方の地勢利用に依らなければ極めて困難となる。即ち、約 10,000 呎間は放流渠により直線的に流下し得る可能性を有し、且深度の掘削をさけうると同時に Lake Champlain の平水位背水迄、264 呎の高さから落水し得る。斯の如き事情から、新設處分場で備蓄處理、曝氣、放流渠により附加曝氣する如き設計が採用された。St. Albans 溝に新吐口を開ける事に就いては、可成案が練られたが、之に依る増加費、及び下水放流の新地點を作る事に依る民衆心理上に及ぼす影響の爲に棄却され、下水放流水は、過去 40 年生下水が流下せる在來の方向に決した。但し農民等の保健狀態に對する損害をなくす爲、農耕地流下下水の減少する如き地點に吐くものとせり。

3. 下水處理場 此の相關聯せる處理場、及び放流渠は當然 2 つの成果を保證し得る。即ち處理場自體は、先づ下水放流地點と St. Albans 溝間の汚泥堆積による堤の形成を防禦し、且少なくとも自然處理によるものより以上の生物化學的穢素要求量 (B.O.D.) の減少をうる。次に薦める記録は其の主なる要點を示す。

- 1) 粗目濾格： 滤液に對する錫具備
- 2) 備蓄曝氣： 10 分間、下水 1 立方呎當り空氣 0.05 呎³、浮遊室、排氣管
- 3) 沈澱： 1.5 時間、縱横方向の汚泥搬集コンベヤー、末端背面の流出堰
- 4) 汚泥消化槽： 非加熱式槽、1 人當り 2 呎³、汚泥瓦斯加熱機等
- 5) 再曝氣： 20 分、下水 1 立方呎當り 0.1 呎³
- 6) 放流渠： 機械的換氣 6,000 呎間、假通風器及換氣筒、表面吸收、落水孔、高度の流速、換氣、流下距離 10,000 呎

7) 穥素消去： 夏季 12 p.p.m.

全處理時間、沈澱、曝氣、放流渠を介せ
4.5 時間

4. 放流渠 18 小時より始まり 0.25% の勾配で敷設され、第 1 地區は約 6,000 呎、平坦なる故に落水孔も攪拌装置も設置し得ない。空氣は半時間毎に、送風排氣機により換氣され、機器表面吸收は、本區間に於て有はれて、瓦斯は除去される。第 2 地區は逆サイホンよりなる。最低部端に假通風器、換氣筒を具備する人孔道風装置あり。殘部區間は全落差約 200 呎、之れに依り相當の速度 (3~10 呎/秒) を生じその間適當の間隔にある落水孔により十分自然換氣が有はれ曝氣の効をす。穢素室は海水浴場の汚染に對し、夏季數ヶ月間利用される。無力渠區間は 170 呎の水頭を有し、發電に利用され、動輪は又有效な曝氣となる。

5. 雨水用ラグンズ 合流渠幹線尖頭流下量は約 20 呎³/秒なるが、この雨天時總水量を放流渠にとる事は極めて不經濟なる故、乾天時水量の 3 倍、即ち將來人口 10,000 を豫想して 5.3 呎³/秒をとり過剰水を約 2,000,000 立方呎の容積を有するラグンズに貯留する。豪雨後汚水は約 1.77 呎³/秒の通常乾天時汚水量に復し、渠はラグンズ内の水をも排除し得る様な每秒 3.4 立方呎の豫備能力を有する事になる。實測の結果、最悪の狀態に於ても所要容量は 1,000,000 立方呎を出ぬ事を知った。本ラグンズの利用は年數度の豪雨時に限られ、此積物は雨水排除後除去される。

本計畫の總建築費は約 92,000 弁、維持費少なく機械裝置に依り、簡単に且満足な操作をなし得る。

(竹内一正)

15. 掘 突

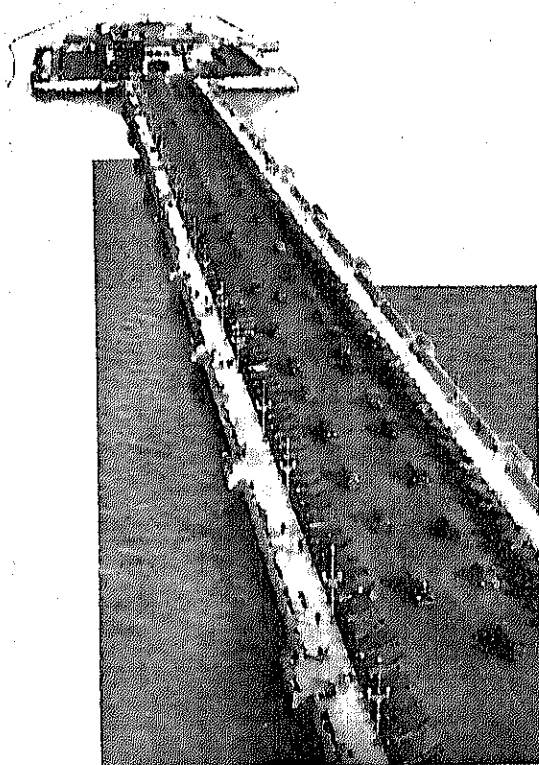
コンクリート突堤の修理

(Frank G. Lee and Paul Jorgenson, "Concrete Repair on an Ocean Pier" E.N.R.
July 4, 1935, p. 1~6.)

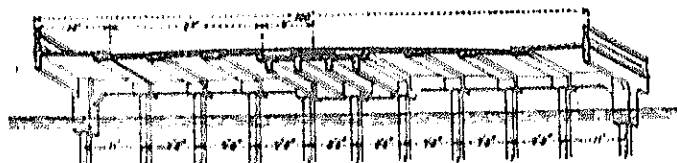
1. 構造 Florida 州の St. Petersburg に於ける突堤は、Tampa 湾内に突出する延長 1,820 呎の鋼筋コンクリート造である (第 141 圖)。突堤は長さ 1,400 呎幅 100 呎の取付部と、長さ 420 呎幅 300 呎の突堤頭となり成る。

取付部は、11 個の既製コンクリート杭脚で支えられ、長さ 20 呎の桿間 70 連より成る (第 142 圖)。

第 141 圖



第 142 圖



2. 破壊情況 1959 年夏、コンクリート梁や床版に破壊部分のある事が発見された。而もその破壊が相當程度に進行してみて、今の中に何とか處理を講じなければ、比較的短日月の間に破壊が加速度的に進行し、突堤と上での役をなさないやうな破目に立刻する事が極めて明白となつたので、是非とも修理改築を施す必要に迫られた。仍つて、破壊情況を徹底的に調査し、修理方針の決定に資する事になつた。

此處に面白い事には、既製コンクリート杭脚には、何等の破壊が認められなかつた事である。破壊の中最も甚しいものは、鉄筋面下の被りの脱落と、鉄筋の腐蝕であつた。

専用車軌道を支持する高さの高い梁の方が、車道床版を支持する高さの低い梁よりも比較的大多數やられて

ゐた。

破壊の最も集中した個所は、海岸側の端に續く最初の 10 御間であつた。

各御間の中央に横断して設けた構造目地は見て離れてしまひ、加ふるに、海岸側の端に近い上版には多數の横割裂が生じてゐた。特に側歩道床版には、構造目地に近く有害なる割裂があつた。

3. 破壊の原因 元来この突堤には、伸縮目地を設けてなかつたのだが、これが今度の破壊の大きい原因となつたのである。数回に亘る調査に依るも、突堤端の移動を殆ど認める事が出来なかつた事から考へるに、上部構造の種々の部分には、相當大なる温度應力が生じたものと思はれる。専用車軌道に依り、構造目地は或程度迄伸縮目地の作用を行ひ、温度の變化に従ひ、或は閉ぢ或は開いてゐたものである事が分つた。目地の多数は約 1/8 時間いてゐた。上版の作用が、即ち鐵筋の被りの脱落を生ずる結果を齎したものである。上記の開きを通る海水の洩れと、鐵筋の腐蝕が、更にこの破壊に拍車をかけたのである。

破壊の原因として更に考へられるものは、電車軌道を支持する四所に、排水工及び防水工が全然施されてなかつた事である。従つてこの四所は、鋪装を通して滲透して來た水の溜り場となり、これが構造目地を傳つて徐々に洩れ、支持梁の鐵筋に達したのである。

この他の原因としては、被りの不充分さを與げる事が出来る。

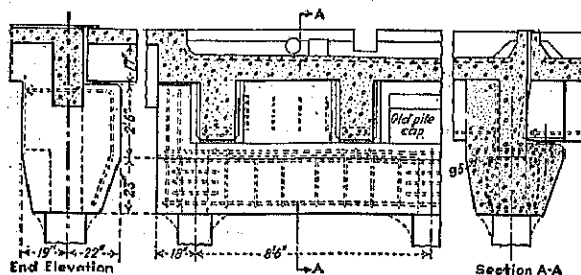
4. 修理と改築 原因の處で述べた處に依り、修築方法としては 1) 伸縮目地を設ける事、2) 軌道下の四所に有效なる防水工及び排水工を施し、構造目地並びに割裂を適當に填塞する事、3) ゲナイト工で破壊部分を修復する事である。

1) 伸縮目地： 第 1 に問題となるのは伸縮目地の数である。伸縮目地を設ければ、上部構造の自由移動を許すのであるから、支持杭脚に應力を生ぜしめる事となる。而してその移動量及び應力を數學的に正確に求める事は困難である。が、種々研究の結果、杭脚の先端の最大移動量が左右両側の方向にも 1/2 时となる如き位置に目地を設ければよいといふ事が決定し、その爲には目地が 4 個あれば充分だといふことになつた。此の際、各目地毎に新しく別に杭脚を設けるとなれば、御間の改造を招來し、従つて工事中は交通を停止しなければならない事になつて甚だ不都合であるから、之を防ぐ爲、種々考究

の結果採用した方法が次の如きものである。

第143圖に示す如く、軌道用の梁を支持する舊部材の直下に新しく横梁を設けるのである。その第1歩として、先づ新部材との結合を良好ならしむる爲、杭脚の頭を削り取り、次いで舊梁の鐵筋面上方に孔を穿ち、鐵筋g-5を挿入した(第143圖 Sect. A-A)。次いでその他の必要鐵筋を夫々所定の位置に配置し、型枠を鐵鉤によつて支持せしめた。かくてコンクリートを床版にあけた孔を通して注ぎ込んだのである。但し作業場所が極めて賑喧してゐる爲、捣固めが不充分とならざるやう特に施工に慎重を期した。此の部材は時々海水に浸るのであるから、コンクリートの密度の大なる事が極めて必要なのである。尙型枠取外し直後、1時の厚さにモルタルを噴付けて被覆保護せしめた。

第 143 圖



車道用梁を支持する隅縁(bracket)の設計は、第143圖左に示す如くである。之の築造第1段階は上述の軌道下の梁の場合と類似する。鐵筋配置後、グナイトを8回～10回連續に施して隅縁を築造した。鐵筋は各回毎に完全に清掃した。モルタル層が鐵筋面に達した時、鐵網を張り、仕上げの被りを噴付けた。因にモルタルの配合は1:8である。

伸縮用支承板(bearing plate)は直接海水を浴びるのであるから、材料としては支圧力大なると共に、耐蝕性のものでなければならぬ。この條件に適ふるものとして

選んだものがマンガン青銅(銅56%，亜鉛36%，マンガン銅6%，錫1%，アルミニウム1%)である。

伸縮目地作業の成否は、主として支承板の据え方如何に依るものであるから、これには細心の注意を拂ひ、且つ最後の板の坐りが正確に水平でしかも平面であるやうにするため、新しい方法を用ひた。第144圖は之を示す。

隅縁或は梁上に、大體の傾斜でグラウト層を作り、その上に下部支承板を載置した。支承板は比較的周辺し易いから、4個の丸頭ネヂ(cap screw)を備へた鋼鐵板を用ひ、支承板を正確に水平になるやう、そのネヂを調節したのである。24時間後、鋼鐵板を取除き、更に支承板の水平度を嚴密に照査した。然る後その上に、上部支承板を載せ、之をグラウトで包んだ。

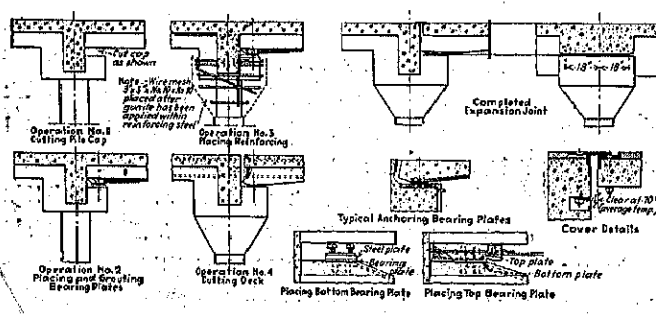
2) 排水工と防水工：軌道凹所に排水工と防水工を施す爲、鋪装軌條パラスト等を全部取除いた。處が、舊コンクリート表面が非常に不規則なものである事が分り、従つて全面積に亘つて表面仕上工を施すの必要を生じた。仍つて、舊コンクリート表面を完全に洗ひ且つ削り取つて、最小3/4吋のモルタル層を新しく設けた。之が充分発生され、且つ4時排水管が各巣間中央に配置された後、表面にアスファルトの初塗を2層施し、その上に防水膜をわいた。尙その上には、1吋のコンクリート保護層を設けた。

舊軌道は、6"×8"の木の枕木に支持された高さ7吋の梁形軌條に依つて構成されてゐた。が上述の如く、コンクリート表面上に新しくモルタル層を設けた爲に、軌道凹所の有效高さが減少し、従つて舊軌道材料を再用する事が出来なくなつた。仍つて、軌條はその儘とし、枕木を鐵製に變へた。尙この枕木は据付前に、加熱アスファルト中に浸漬した。軌道にも他のコンクリート部と同じく伸縮目地を設け、排水管には、伸縮接手を與へた。

3) 築造目地等の填充：築造目地及び絶裂箇所の填充には本季節中最も寒い時期、即ち此等が最大限に開いてゐる期間を選んだ。各絶裂に沿ふては、幅1吋で、床版の殆ど全長に亘る溝を作り、その中に楔を入れて自閉を防ぎ、然る後完全にグラウトに依り填充した。

(吉藤幸助)

第 144 圖



16. 道 路

横目地上の荷重の進行

Clifford Older, "Load Transfer at Transverse Joints an Economic Necessity" E.N.R.
May 23, 1935, p. 74G-748.

荷重が横目地を有效に進行することは経済上必要である。何故ならば自由目地の場合、版は剪断により荷重を進行せしむる目地を用ひた場合の約3倍の強さを要するからである。横目地が有效剪断抵抗を與ふる構造なら兩版の撓みは相等

しい（第145図a）。

自由目地の場合は版N

及其下の路盤が全車輪

荷重を支持しなければ

ならず最大引張應力は

2倍となり単版の撓み

$2d$ 及路盤の沈下 $2s$ と

なる。次に急速車輪荷

重が自由目地を通過す

るとときは版Fは車輪

荷重の1.5~2倍の荷

重を與へなければなら

ず（第145d図）引張

應力は剪断目地の場合

の3倍、版の撓み $3d$

路盤の沈下 $3s$ となる。

自由目地に隣接せる版の端は實際上自由端の片持梁として働き、車輪荷重16000lbが10ft車線の全幅に分布するものとし片持長4ftとせば7in版に於ける應力は700lb/in²、版Fに急劇に荷重がかゝれば1000lb/in²にして構造的破壊が確實となる。兩版の撓みが等しいように目地をつくれば何れの版にも荷重が急劇にかかることなく路盤の沈下を減少し、片持長を短縮する。

理想的目地は耐水性、剪断抵抗のみならず繼目無き版と同じに曲げ抵抗を有しなければならぬ。例へば6in版の幅1ft當り極限曲げ強さは略1.8in角鋼の半に等しく、各個の納鋼が運動の方向にあつても、コンクリートの剪断とか斜張應力の方で設計困難である。納鋼の使用が該問題の經濟的解決を與へそらには思はれない。

第147a図の膨脹目地及第148b図の取締目

地は剪断により荷重を通過さす效果を有す。コンクリートが凝結し始めた時に膨脹目地の上部のボルトを取り去る。コンクリートが硬化すると一方の版の端が隣接版に確着せる一對の山形鋼の水平脚と堅く適合するから一方の版が撓まんとすると他の版も同量だけ撓まねばならぬ。輪荷重が此目地に近づく時（第145n図）版Fが撓り抗して上部山形鋼の水平脚に上向反力を生じ、又通過せる時には版Fの端が下部山形鋼の水平脚に下向荷重を與へる。今、車輪荷重18000lbと假定せば山形鋼水平脚は9000lbを支持すべきで、傳達目地幅7ftとせば目地1in當り荷重は100lbとなる。

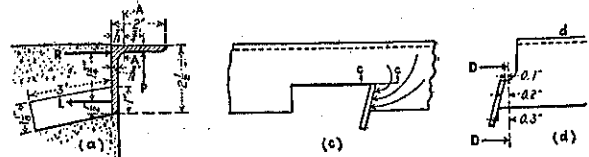
山形鋼の曲げ應力：（第146a図）断面A-Aに於ける曲げモーメントは75in-lbにして $s=6M/l^2$ を適用し、厚3/16inなる故 線應力=13000lb/in²となり安全である。

突版の張力：（第146a図）突版は心と6in間隔なれば1突版當り荷重は600lb、Rの周りにモーメントをとり、附根にて突版に働く張力=600×1.875/1.75=407lb、附根面積3/16in²なる故、単位引張應力=2200lb/in²にして之は小なり。

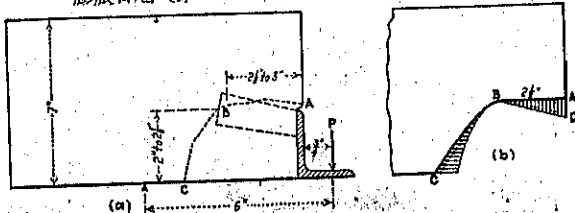
突版の付着：突版の兩側面積+頂部及底部の総=7in²に407lbが分布し単位付着應力は60lb/in²より小となる。

突版の剪断：1突版當り垂直反力(600lb)を剪断面積(3/16in²)で除し単位剪断力3200lb/in²を得。山形鋼の垂直脚と突版の接合點に於ける水平剪断（第146c図、断面C-C）は精確に計算できぬが第146d図の如く考へた結果は安全にして倘破壊試験も突版の頂部にて

第146図
膨脹目地（第148a図）の金屬部分の應力解析

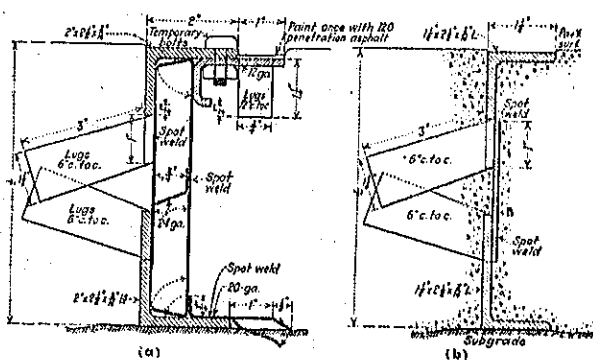


第147図
膨脹目地（第148a図）のコンクリートの應力



第 148 圖

コンクリート鉢装に於ける膨脹及收縮に対する剪断目地の設計

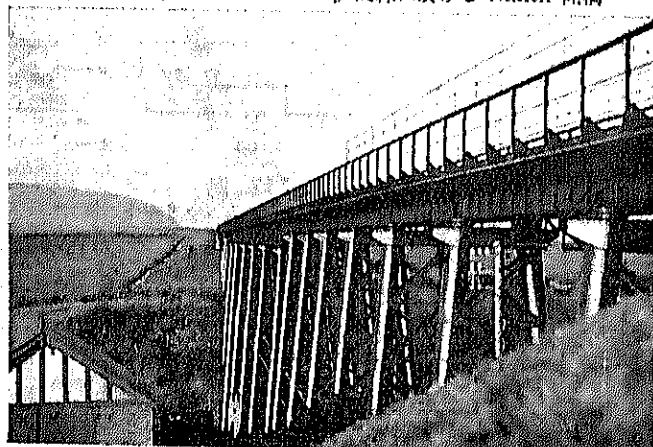


何等剪断破壊を示さなかつた。

コンクリートに於ける張力; A-B-C 線(第 147a 図)で郭せる側角部の破損を検するため試験を作製して破壊試験をした。28 日試験ではコンクリートに張力破壊は無く、目地 1in 当り約 400lb の荷重の下にて山形鋼の水平脚が下に向て彎曲せる時に極限破壊が起つた。材料早期のものにては山形鋼からコンクリートへの荷重の傳達が突鍛に集中されぬため側角部に沿ひ第 147 図の寸法の連續破片が脱落した。斯かる側角部には一定解析方法が適用されねが、山形鋼の脚に曲げ破壊を起した極限荷重に就て(第 147 b 図) A-B に於ける平均引張應力は $400/2.5 = 160 \text{ lb/in}^2$ 、総應力は平均の 2 倍即 320 lb/in^2 、全荷重が突鍛に集中するものと假定せば、力は平均の 3 倍即約 500 lb/in^2 となり此も荷破壊係数以下である。

第 148b 図に示した收縮目地及最初の膨脹空間の配置を必要としないから設計が單純である。

第 149 圖 Loftus-Whitby 支線に於ける Staith 陸橋



斯くして目地は判断に就き容易に設計され、又 0000lb の輪荷重に對して 4 又は其以上の安全率を有する。

荷重を有效に通過さす目地を使用せば奥へられたる荷重に對し版厚を減少し得、又版厚を減少しないなら荷重支持能力を増加する。而して、適當に設計装置せる金属目地は維持費を全然要しない。

(長瀬 新)

18. 鉄道

特殊保安設備(對風信號機)

(“An Unusual Railway Safety Device” The Railway Gazette June 23, 1935, p. 1201.)

1. 施設側所 L.N.E.R. Loftus-Whitby 支線に於いて、Yorkshire 海岸 Whitby 附近の staith Beck を越る陸橋對面橋に取付けられて居る(第 149 圖)。

2. 機 備 學術名 anemometer と稱する風壓計を主體とするもので、anemometer は第 150 圖の如く圓形の金属筒と風見板(vane) とで出來て居る。

本機は陸橋に對する風壓が列車通過を危くする程ある時 Staith の信號溝に警告する機能がある。

本陸橋は北海に直面し、海陸何れからでも強風の激突を直向に受ける位置に在る。本機を使用する事によつて、風壓 38 lb/in² に及ぶ時は風壓計は直ちに Staith 信號溝の電気ベルを鳴かし、風壓の低下するまで鳴らし

第 150 圖 風壓計の概要



続けるもので、列車通過可能になるまで運転係員は之を注視する理である。

本機施設は 1884 年に始まり、爾來今日までにペルの鳴つた事は 3 回で、最近の例は 1930 年 1 月 26 日である。

本機は Hery J. Coles 氏に依つて製作取付けられた。
(内山 實)

19. 隧道

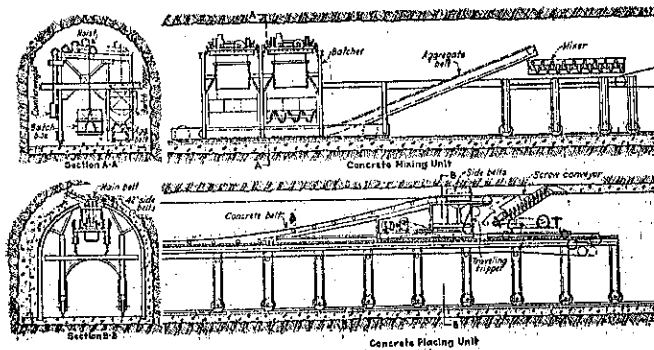
コンクリート隧道に使用せる 舊式連續混合機

(F. Rasmussen, "Old-Time Continuous Mixer Used for Concrete Tunnel Lining" E.N.R. July 11, 1935, p. 49-51.)

40 年以前に使はれた連續機式混合機と最新式の belt conveyor を組合せて、Chicago の水道隧道のコンクリート裏込装置を最も有效適切ならしめた例である。この mixer は 19 世紀の後半には多く用ひられたが現在は殆んど知られてゐない。この 16 呎の限られた作業装置の中に耐車を運ぶためにはこの方法は便利である。又隧道中から出る花崗石を骨材としてセメント 1, 骨材 3 の割合で混合した。水は穿孔を通して測らずに mixer に加へた。それでも可成良質のコンクリートが得られた。28 日目に 2000 封度の強度を要求せられ、試験の結果も 2000-6700 封度の強度が得られた。この試験片は 300 呎間隔に抜取つた。

1. 混合装置 混合装置は 2 基より成る。即ち測合機と混合機である。兩機共に廣軌條上に跨る臺上に乗つてゐて、その下を耐車が通る(第 151 圖)。測合機は 2 つの V 型の底開き漏斗より成り、臺の一側に沿ひて belt-conveyor 上に開くのである。各漏斗は 1 は骨材

第 151 圖 コンクリート測合、混合及填充の裝置圖



用、1 はセメント用で、電氣的高架捲上機で動かされる。セメント、骨材は夫々堅坑から運ばれ、底開箱の中に入れて車で搬入する。これを捲上機が捲上げて横にある漏斗上に底を開く、捲上機は自然に重力で横方向に漏斗上に動くやうになつてゐて、空になると count-weight のために軌條に戻る。漏斗の底の口は belt conveyor 上に落す量を調節する。最初の漏斗からは骨材を出すが、固定板があつてその中央にセメントを入れるべき溝を作る。次に第 2 の漏斗からセメントが落ちる。この conveyor は幅 18 呎、長 65 呎で、一度漏斗の口を調節すれば常に一定の正しい配合が得られる。

2. 連續式混合機 belt で運ばれたコンクリートは混合機の一端に連續的に入れられる。この混合機は移動臺上に高く乗せられ、厚さ 3/8 呎のマンガン鋼より成る直徑 20 呎、長 14½ 呎の U 型の極である。混合するために 50 個の焼刃が軸の周囲についてゐてコンクリートを推進せしめる。これは 1 分間 27-50 回の速度で回轉する。混合したコンクリートは反対側から出て行く。水は作業場の目測で別に量を測らずに管から入る。1 時間約 50 積³ を混合する。機の中には約 1 分間入つてゐる。併し 80 積³ に達せしめることも出来る。

先ず最初に下部の平坦部をコンクリート打する。それ

第 152 圖 填充装置



から數週或ひは數ヶ月後に側壁を打つ。下部コンクリートは混合機から直接に樋その他で打つ。

3. コンクリート填充装置 側壁及拱頂の裏込には belt 式及螺旋搬送機を巧に組合して使用した。mixer から一定量が定期的に出てくる。これも亦移動臺上にあつて測合機混合機と共に移動する。幅 6 呎、長さ 176 呎の belt-conveyor は 320 呎/分の速度で動く(第 152 圖)。

belt は新式搬送車上に連結してゐる。搬

送車は傾斜部を有し移動式構組である。これは移動臺上の軌條の上を縦に動く。

下部及側壁のコンクリートは belt からかき落される。この裝置は belt に直角方向に走る第 2 の 40 吋の短い belt がある。コンクリートは第 1 の 20 吋の belt から側方に移る。横 belt は毎分 250 呪の速度で動き構組上から側壁の位置に達してゐる(第 153 圖)。この裝置は想像以上に效果があつた。

側壁及アーチを填充する間はコンクリートが常に水平に打たれるやうに搬送車は前後に移動する事が出来る。

4. 掘頂部の填充 掘頂部は新奇な方法によつた。即ち搬送車は掘頂面の高さに在るが、コンクリートを打たんとする掘頂に數枚の板を設置し、搬送車をその位置まで前進せしめる。次に belt の前端から漏斗に入れられたコンクリートは傾斜した螺旋式練出機によつて掘頂部に填充される。

最初はこの螺旋式練出機にある壓力を加へてコンクリートを填充せしめんとしたが不可能のため、單に頂部に送つた後、手扱固めによつて填充を行つた。

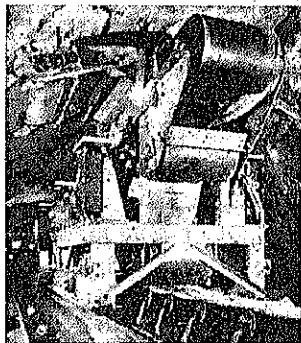
こゝに述べた裝置は 16 呪の本線と 13 呪の枝線に使用したが、10 呪の枝線には空間限界上使用出来ず、belt conveyor の填充裝置の代りに空氣填充機を使用した。

5. 鋼柵 標準型断面の鋼柵の長さは 97 呪である。これは 2 枚の剛な板で、兩側壁及掘頂を除く掘半部に達してゐる。この柵はコンクリート填充裝置を移動する臺と同じ臺上に在つて、hand winch によって組立取除が出来る。掘頂部の柵は最後のコンクリート打の際に取付ける。

柵を取除き運搬し組立ててコンクリートを填充するまでに 8 時間を要する。その微少くも 12 時間はそのまま放置して置く、取除きから組立までに 2 時間を要し、長さ 97 呪のコンクリート量 320 磅² が 6 時間に側壁及アーチ部に打たれた。

(傍島 游)

第 153 圖
填充裝置の搬送車



Chicago 市に於ける下水隧道

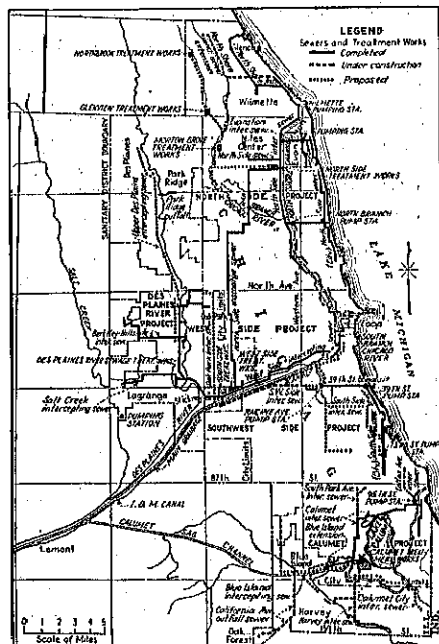
“Sewer Tunnels Reduce Pollution in Chicago Drainage Canal” E. N. E., June 18, 1935, p. 831~835.

Chicago 市全下水計畫は Calumet, 北部, 西部及び西南部の 4 地區に分割したものであつて、4 處分場、遮集渠及び附屬設備も併せてその工費は 212 000 000 磅を超過するものである。この中 Calumet 及び北部の處分場は既に完成し使用されつゝあるのであつて、目下處分場 2 個所の新設、Calumet 處分場の擴張並に遮集下水隧道即ち西部處分場に屬する 20.6 呪と新 Calumet 處分場に導く 6.6 呪の開鑿中である。

1. 土質 遮集渠路線は約 2 呪の幅に達する岩石の下層脈を横断する。この區間を除くと地盤は獨特の Chicago 青粘土を主とする粘土、砂、泥炭及びローム等の雜多の不規則層から成る土壤である。この地域は有名な大火の際に焦土と化した所で、大火に依る多量の石屑が市街に堆積し市街の地盤を 10 町也高めた。この有孔性石屑から成る表土及び下層の土質に依てこの區域の大部分の隧道開鑿に壓縮空氣を使用するに至つた。隧道は概ね河筋に接近してゐて地下水位より遙かに低い。

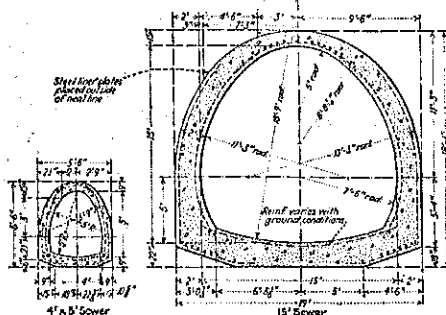
2. 隧道の設計 隧道は凡て曲リインパートを有する

第 154 圖
既設 Chicago 下水施設に対する現在並に將來計畫の關係



筋コンクリート馬蹄型を採用した。大きさは横幅と高さとの比は概して一定である。巻厚及び筋筋量は勿論土質に依て異なる。標準断面は第 155 図の通りである。

第 155 図 隧道断面

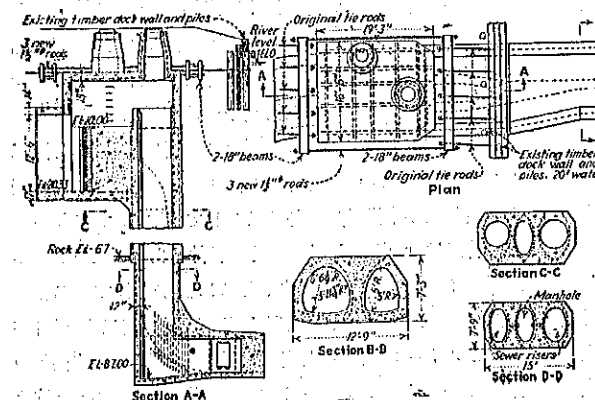


本設計は本質的に弾性環であつて他の断面型に先んじて選択したものであった。即ち本断面に於ては、浮動基礎上にある附近の重量建物に依て水平並に揚圧力を生ずる土壓の全ての想定状態に對し理論的抵抗線を包絡する。標準筋筋は理論最大の $1/3$ 乃至 $1/2$ であるが、單に必要な筋筋を増加することに依て容易に餘分の強さを持たすことが出来る。この補助筋筋は地下道の如き未設構造物が土壓を變化せしむるかも知れないと豫想される箇所に置かれる。

遮集渠は大部分急屈曲の多い街路に隨行する。概して隧道は深いので地下工作物と錯綜すること少く、僅かに若干の水道隧道と私設地下鐵道を迎接する廣汎な Chicago 貨物隧道系統を例外とするのみである。下水渠が既設水道隧道の上に来る箇所には特別の防水處置を施し、下水渠にコンクリート打の前、羊皮紙を挿入した。

3. サイホン河川横断 西部遮集渠は河をサイホンで

第 156 図 Chicago 河横断箇所に於ける堅坑構造



3箇所横断する。Taylor St. に於ては水面下 85 呎の硬岩中を 2 筒で Chicago 河南支流を横断する。大きい 3 筒サイホンは Kinzie St. に於ける Chicago 河北支流を横断するのに必要となつたもので、此處では 2 系統の遮集渠が河を横断するために合流してゐる。第 3 の横断は Cortland St. に於ける水面下 48 呎で、コンクリート巻の 30 吋鋼管 2 本から成つてゐる。サイホンの上室には下水渠の伸縮作用に應ずるストップロッギ装置を備付けてある。第 156 図は Taylor サイホンの西堅坑を示したものである。

サイホンは 2 つ乍ら鋼管堅坑から壓縮空氣を使用せずに築造した。Kinzie St. に於ては横断 3 堅坑は接合樹の床から掘下げ、3 獨立筒は堅坑の底部から開鑿した。Taylor St. に於ては 2 つの昇掘堅坑及び筒の全面積は 1 本で岩石を通して掘鑿し、筒及び昇掘堅坑は筒々にコンクリートで築造した。尙 Chicago 市の築造にかかる既設大幹線渠は、遮集渠に於ける雨水を調節する自動門扉を裝置した接合樹に依て遮集隧道に連絡している。

カウンターウェートを備付け、如何なる程度の雨水に對しても自由に調節せられる自動門扉は衛生地區技術の考案にかかるものである。これ以外の新特色としては遮集渠に連結した樹で操作し、隧道中の水深に應じて流入量を調節する浮子操作、落下のエネルギーを消散する門扉室と遮集渠との落下接合がある。

4. コンクリート示方書 コンクリートは嚴正な示方書に依て混合され、施工軟度が適當で水密コンクリートが出来上る様に混合した。細粗骨材 7 に對するセメント 1 を使用した場合、壓縮強さが材齢 7 日に於て 2400lb/in^2 以上、28 日に於て 3000lb/in^2 以上となつてゐる。水

セメント比はセメントの袋當り 4 gal. 以上 7 gal. 以下、混合時間は少くとも 1 分間、又コンクリートは混合後 45 分以内に型枠内に持込むことに規定してある。

5. 火災に依る工法の變更 1931 年 4 月 18 日に不幸なる火災が 3 號副坑の導坑に起り 11 人の犠牲者を出した。この火災の結果隧道掘鑿法に變更を來たし、多くの安全豫防策が講ぜられるに至つた。

火災に對する檢屍陪審官の勧告に從て、土留板及び木材突眼の使用が中止されて鋼鉄ライニングが之に代り、防水電話を堅坑底部及び導坑に備付け堅坑箇所及び事務所と連絡せしめた。尙この他

の豫防策としては、地下從業員に足るガスマスクを各導坑に備付けた。又安全燈を導坑の前面に點け放し、この小さな燈の助照を以て絶えず危険なガスの発生の警戒とした。

就中最も重要な安全方法は各交代從業員に對し最小7人の救助員としての訓練である。現在迄に113人救助訓練の免狀を持つてゐる。之等救助員用の2時間 McCannガスマスクは豎坑の頂部に近い硝子箱の中に備へてある。消火器は隧道内外の要所々々に置いてある。その他空氣壓縮器、安全減壓器、空氣安全瓶等に對する規定も設けられてある。

(玉置 廉)

Chicago 青粘土に於ける下水隧道の開掘

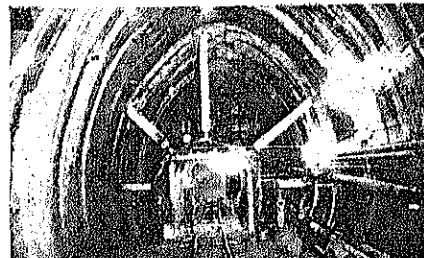
"Driving Sewer Tunnels Through Chicago's Blue Clay" E.N.R.
June 20, 1935, p. 881~886.

目下工事中の Chicago 市 27哩遮集下水隧道計畫に於ては土質の關係から獨特の隧道工法が考案された。土質は不同な粘土中にある硬質石灰石乃至微砂の區間を除くと、大部分堅さに變化ある獨特の Chicago 青粘土である。本工事に於ける特色としては優秀に設計された3種類のライニング鋼板並に最高級の效力と安全部を以て使用された needle beam 及び radial jack 突張が挙げられる。

1. 壓縮空氣 岩石區間に其の外一部分を除く外は全ての導坑に 5~9lb. の壓力ある壓縮空氣が必要となつた。大部分の斷面が小さかつたので幾多の興味ある裝置が氣間に考案された。3及び4號請負(17呎坑)に於ては、長さ 40呎の 6呎圓筒がコンクリート隧道ライニング中に造つた 1箇所のコンクリート分壁を通して設置されてゐる。閉鎖に於て消費される空氣を保持するために、第 6 斷面(9呎 4吋×11呎 8吋)の請負者は補強筋材の無いボルト締の隧道ライニング鋼板から 6呎圓筒を考案し、鋼扉を取付けた 2箇所のコンクリート分壁の間に設置した。鋼板と出来上り隧道壁との間隙にはパッフル粘土を堅く填充した。斷面の小さい所の氣閘は單なる鋼扉を設けた鋼若くはコンクリート製分壁であるが閘室としての役目を完全に果してゐる。

非常閘は 1 時に最少 40 人收容出来る様に設計されてゐて、隧道から逃避し若くは救助員が隧道に近付き得る様 3 つの扉を備付けてある。3 號請負に於ける閘室は隧道の高い假構上に設けた鋼製圓筒で非常豎坑の底

第 157 圖
鋼板ライニング及び needle beam 突張
に依る隧道拘盤支保工



部と水平に連絡している。普通の非常閘は隧道の中心から一寸離れた垂直豎坑も横坑に依て隧道と直接連絡したものである。

2. 一般工法 獨特の Chicago 青粘土の拘盤は他に例のない方法で行はれる。この粘土は普通の拘盤器具では取扱ひが不可能で、手動者くは揚卸機で操作する U型ナイフに依て水平面及びベンチを切取らねばならない。或る種類のこの粘土は、特に坑の小さい場合、支保工なしに持ち附へるが、大部分は絶へず支保工を必要とする。之に對してライニング鋼板が必要な箇所に支保工として使はれてゐる。構造用筋材の間に組立てた鋼板を頂部及び側壁部の支保工として用ふることもあるが、普通は radial jack 突張を取付けた needle beam が鋼ライニングの崩壊を防ぐために使用されてゐる。

簡単に云ふと、凡ての軟質土壤の隧道開掘は先づ拘盤するとライニング鋼板で土壤を支保し、1日(24時間)の作業で拘盤とコンクリート打の出来る距離まで導坑を

進行する。掘鑿が了ると鋼筋を組立てコンクリートをインパートに打ち、壁、拱に注入し、かくてコンクリート作業の後 1 日程経つて拱へ充分にモルタル注入を施し、コンクリートとライニング鋼の間及び鋼環の外側の空隙を填充する。そして最後に曲りインパートの薄いコンクリート仕上げを行ふ。

3. 開掘工法 小さい坑になると場所が狭いので、直徑 7 呪より小さい隧道には needle beam を使用しない。大きい坑に於ては第 1 工作として 2×4 乃至 3×5 呪の大きさの導坑を前面より約 30 呪先に進める。monkey hole と呼ばれるこの坑は屢々或種の突張及び支柱を必要とし、單に needle beam を受容るために据られる。之等の beam は長さ 30 呪で 2 本の 12 呪若くは 10 呪 I 型鋼と角形木積材をボルト締にしたものである。

needle beam の前端は monkey hole の底部に於て木片で支へられ、後端は豫め打つたインパートのコンクリートの上から立てた支柱で支へられてゐる。monkey hole の掘鑿は通常前區間のコンクリート打の間に進められ、コンクリート打が終了したら直ちに本掘鑿にかかる様にする。needle beam の据付けが了ると直ちに粘土ナイフ若くはエア・スペードで頂部導坑の掘鑿が始まる。頂部導坑の進捗に連れてライニング鋼及びその支保肋材を据付ける。8 乃至 4 呪毎に 1 組の 5~7 本の radial jack が needle beam の下部若くは上部突緣及び鋼と肋材に續いて置いた短い貫材に對して緊張して組立てられる。頂部導坑の掘鑿が monkey hole の終端まで達すると、他の組がベンチを平坦に掘鑿する。然し長さ約 6 呪のベンチは monkey hole の次の進行からの崩を受けるために導坑前面にその儘残される。

4. 粘土の掘鑿 掘鑿は大部分手に依て行はれる。頂部導坑に於ては手ナイフが主要な器具である。導坑の前面は通常 2 人の者が 2 本の柄のある U 型ナイフを

上から下へ垂直に使つて薄片に削り取る。ベンチの掘鑿は粘土ナイフを縦横に引くことが出来る、而して粘土の堅さが許す場合にはナイフを導坑前面から隧道に向つて空氣揚鉤機に依て引くことが出来る。

5. 鋼板支へ 請負者は、凡て I 形鋼肋材に累結した 3 種類の鋼板を使用しつゝある。1 つは厚さ $1/8$ 若くは $3/16$ 呪、大きさ 16×37 呪の波形の commercial plate で周囲に鋸をとつたものである。も 1 つは幅 24 呪の波形の Chicago Tunnel Sheathing plate で、波形のところへ部分的に鋸接し、肋材へのボルト締用に短い折返しを付けた $2 \times 1\frac{1}{2} \times \frac{3}{16}$ 呪横山形鋼を取付けたものである。第 3 のものは幅 12 若くは 24 呪の波形の Youngstown plate で、周囲に鋸を付け且つ 4 枚の鋼の交切點に於てダイアモンド型の孔が出来る様に角を切り取つたものである。モルタル注入管はこの孔に挿入するが、他の鋼の場合にはモルタル注入接管をその 1 部に設けた孔に取付ける。尚 3, 4 若くは 5 呪 I 形鋼の肋材は鋼添接に備へて部分組立が出来る様に接ひである。

6. 岩石工 3 號請負は自下工事中の全 27 哩の内、唯一の岩石隧道として西部系統で有名である。延長 5000 呪に對しては岩石は坑の下部に見出され、上部は粘土で岩石線が全延長に對しインパートから拱頂に走行してゐる。導坑西端の最後の 500 呪は岩石のみである。

岩石線が隧道の中心より下部にあつた場合には、粘土部分の導坑は一時に 8 乃至 10 呪進行した。鋼板ライニングは粘土若くは岩石のベンチに肋材を支持して据付け、次いで岩石面を盤岩機で開削した。隧道開削方法は岩石のみの隧道になつてから變更し底部に 10×14 呪の嚙導坑を開削した。嚙導坑の完成と同時に前面の開削を續行し、盤岩機に依て岩石を坑内に切崩した。

(玉置 嶽)